

Optoelectronică

Curs 9

2017/2018

Disciplina 2017/2018

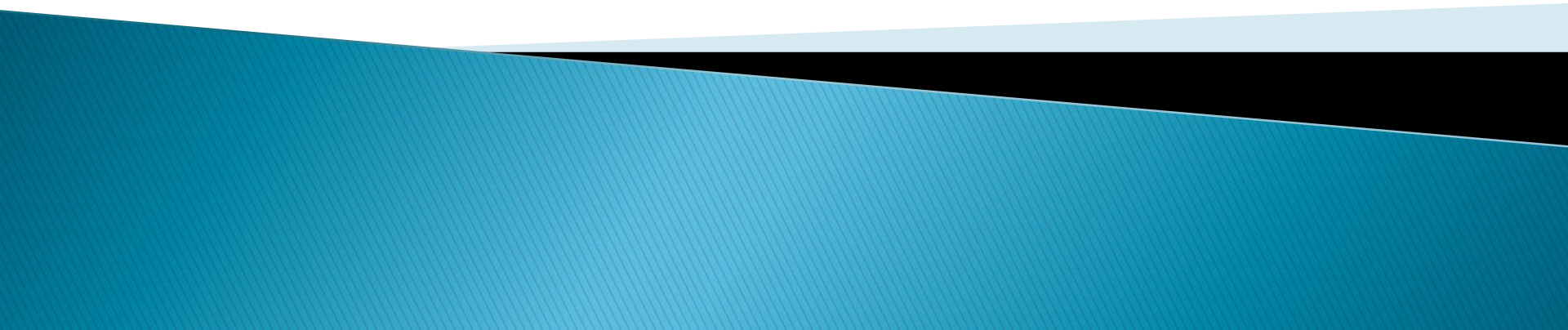
- ▶ 2C/1L Optoelectronicaă **OPTO**
- ▶ **Minim 7 prezente curs + laborator**
- ▶ Curs – **conf. Radu Damian**
 - an IV μE
 - Vineri 8–11, P5
 - E – 70% din nota
 - **20% test la curs**, saptamana 4–5?
 - probleme + (? 1 subiect teorie) + (2p prez. curs)
 - **toate materialele permise**
- ▶ Laborator – **sl. Daniel Matasaru**
 - an IV μE, an IV Tc
 - Joi 14-16 par/impar
 - L – 15% din nota
 - C – 15% din nota

Orar 2017/2018

► Curs

- Vineri 8-11, P5
- **2C ⇒ 3C**
 - $14 \cdot 2 / 3 \approx 9.33$
 - 9÷10 C

Recapitulare



Reprezentare logaritmică!!!

$$\text{dB} = 10 \cdot \log_{10} (P_2 / P_1)$$

$$\text{dBm} = 10 \cdot \log_{10} (P / 1 \text{ mW})$$

$$0 \text{ dB} = 1$$

$$+ 0.1 \text{ dB} = 1.023 (+2.3\%)$$

$$+ 3 \text{ dB} = 2$$

$$+ 5 \text{ dB} = 3$$

$$+ 10 \text{ dB} = 10$$

$$-3 \text{ dB} = 0.5$$

$$-10 \text{ dB} = 0.1$$

$$-20 \text{ dB} = 0.01$$

$$-30 \text{ dB} = 0.001$$

$$0 \text{ dBm} = 1 \text{ mW}$$

$$3 \text{ dBm} = 2 \text{ mW}$$

$$5 \text{ dBm} = 3 \text{ mW}$$

$$10 \text{ dBm} = 10 \text{ mW}$$

$$20 \text{ dBm} = 100 \text{ mW}$$

$$-3 \text{ dBm} = 0.5 \text{ mW}$$

$$-10 \text{ dBm} = 100 \mu\text{W}$$

$$-30 \text{ dBm} = 1 \mu\text{W}$$

$$-60 \text{ dBm} = 1 \text{ nW}$$

$$[\text{dBm}] + [\text{dB}] = [\text{dBm}]$$

$$[\text{dBm}/\text{Hz}] + [\text{dB}] = [\text{dBm}/\text{Hz}]$$

$$[x] + [\text{dB}] = [x]$$

Recapitulare

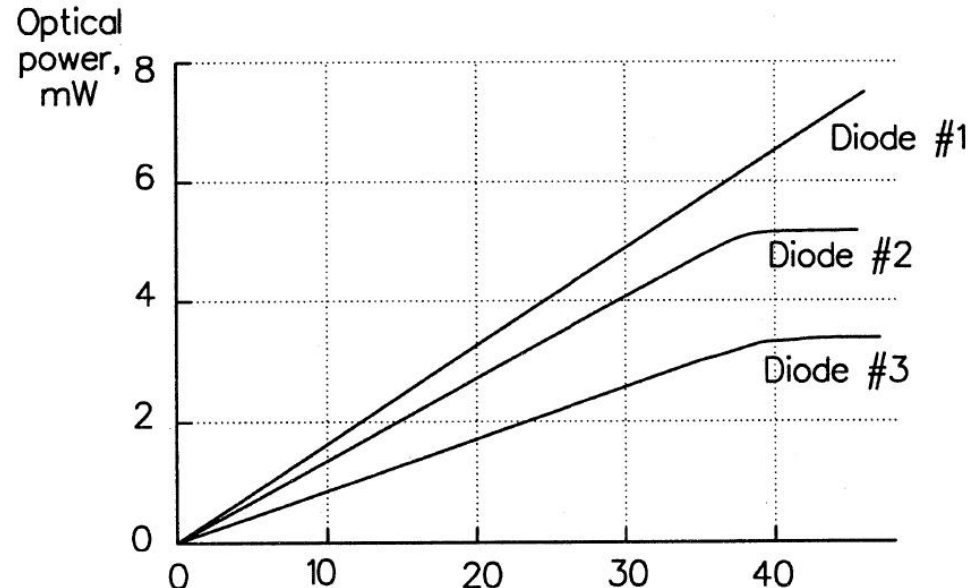
Curs 8

Caracteristica de raspuns a LED-urilor

- ▶ Caracteristica putere optica emisa functie de curentul direct prin LED este liniara la nivele mici ale curentului.
- ▶ Nu exista curent de prag
- ▶ La nivele foarte mari puterea optica se satureaza
- ▶ Rezonabilitatea

$$r = \frac{P_o}{I} \quad \left[\frac{W}{A} \right]$$

- ▶ Tipic $r=50\mu W/mA$



Caracteristica de raspuns a DL

- ▶ Amorsarea emisiei stimulate necesita pomparea unei anumite cantitati de energie – curent de prag

$I < I_{th}$ regim LED

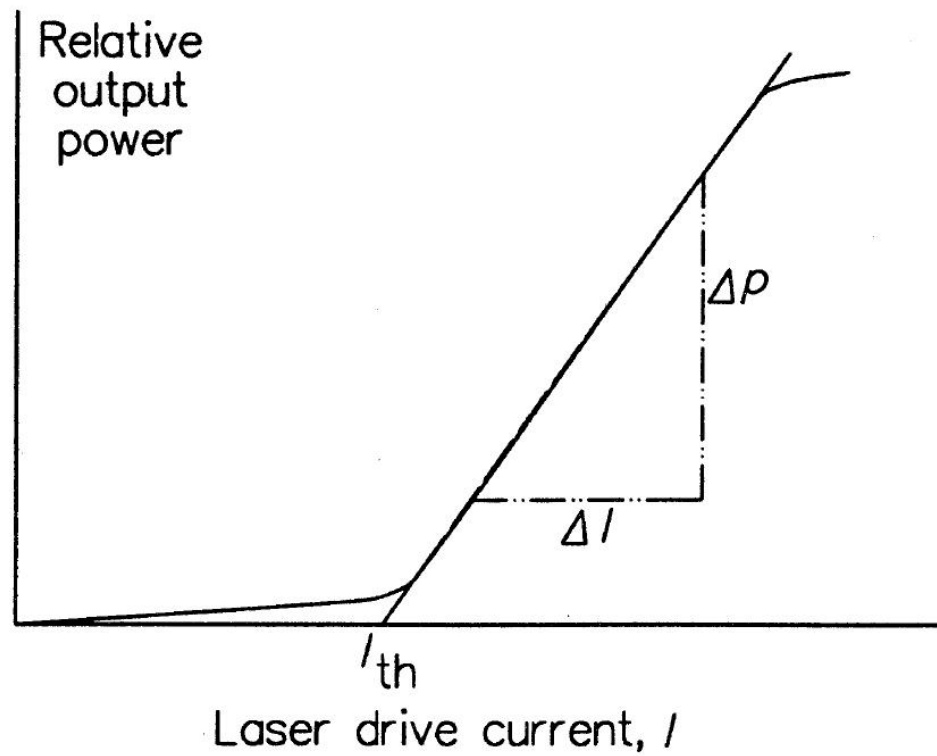
ineficient!, $P_o \approx 0$

$I > I_{th}$ regim LASER

$$r = \frac{\Delta P_o}{\Delta I} \left[\frac{W}{A} \right]$$

$$P_o = r \cdot (I - I_{th})$$

Apare saturare la nivele mari de curent



Fotodioda

Capitolul 9

Detectori optici

▶ Cerinte

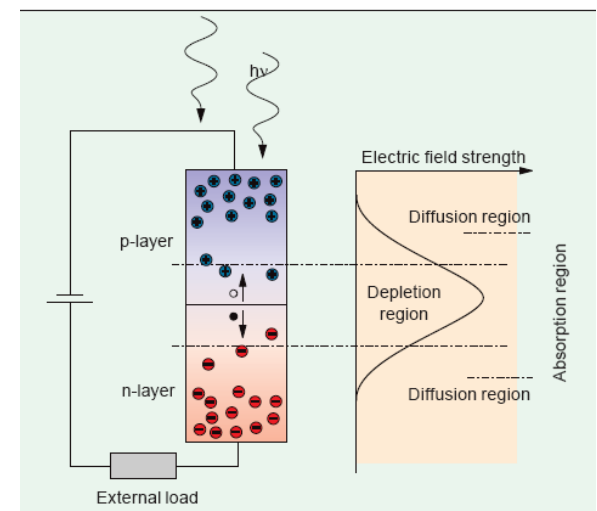
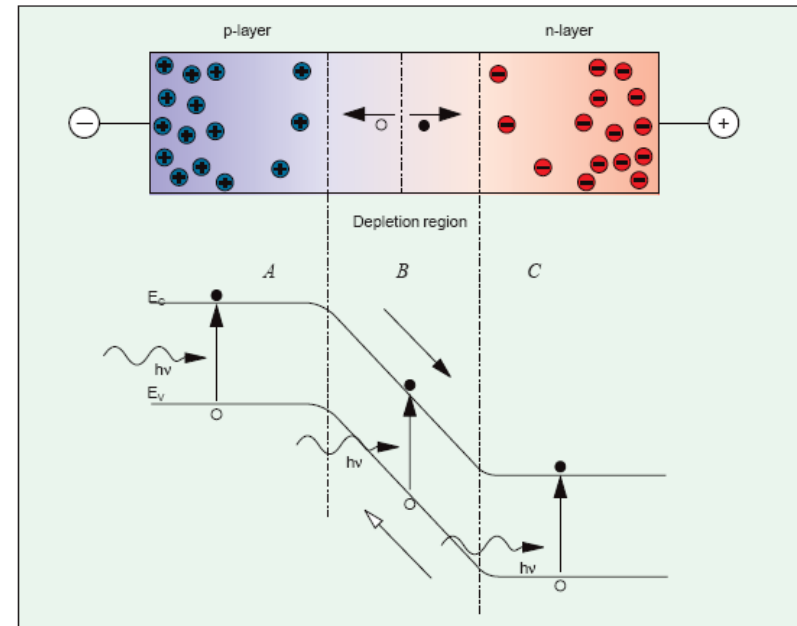
- eficienta crescuta a conversiei optic/electric
- zgomot redus
- raspuns uniform la diferite lungimi de unda
- viteza de raspuns ridicata
- liniaritate

▶ Principii de operare

- fotoconductori $R = R(P_o)$
- fototranzistori $I_B = I_B(P_o)$
- fotodiode $I = I(P_o)$
 - pn
 - pin
 - pin cu multiplicare in avalansa
 - Schottky

Fotodioda – Principiul de operare

- ▶ Jonctiunea pn este polarizata invers
- ▶ Lumina este absorbita in regiunea golita de purtatori, un foton absorbit generand o pereche electron-gol
- ▶ Sarcinile sunt separate de campul electric existent in regiunea golita si genereaza un curent in circuitul exterior



Fotodioda – Principiul de operare

- ▶ Energia necesara pentru eliberarea unei perechi electron gol

$$h\nu = \frac{hc}{\lambda} \geq E_g$$

- ▶ Lungime de unda de taiere

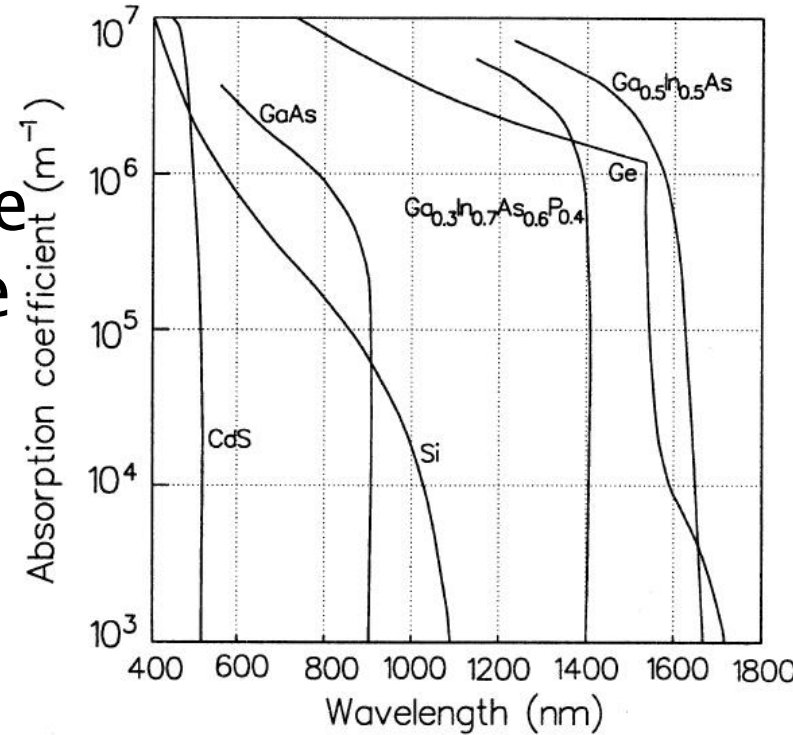
$$\lambda_{\max} = \frac{hc}{E_g}$$

- ▶ Puterea optica absorbita in zona golita de purtatori (w) aflata la o adincime d in interiorul dispozitivului

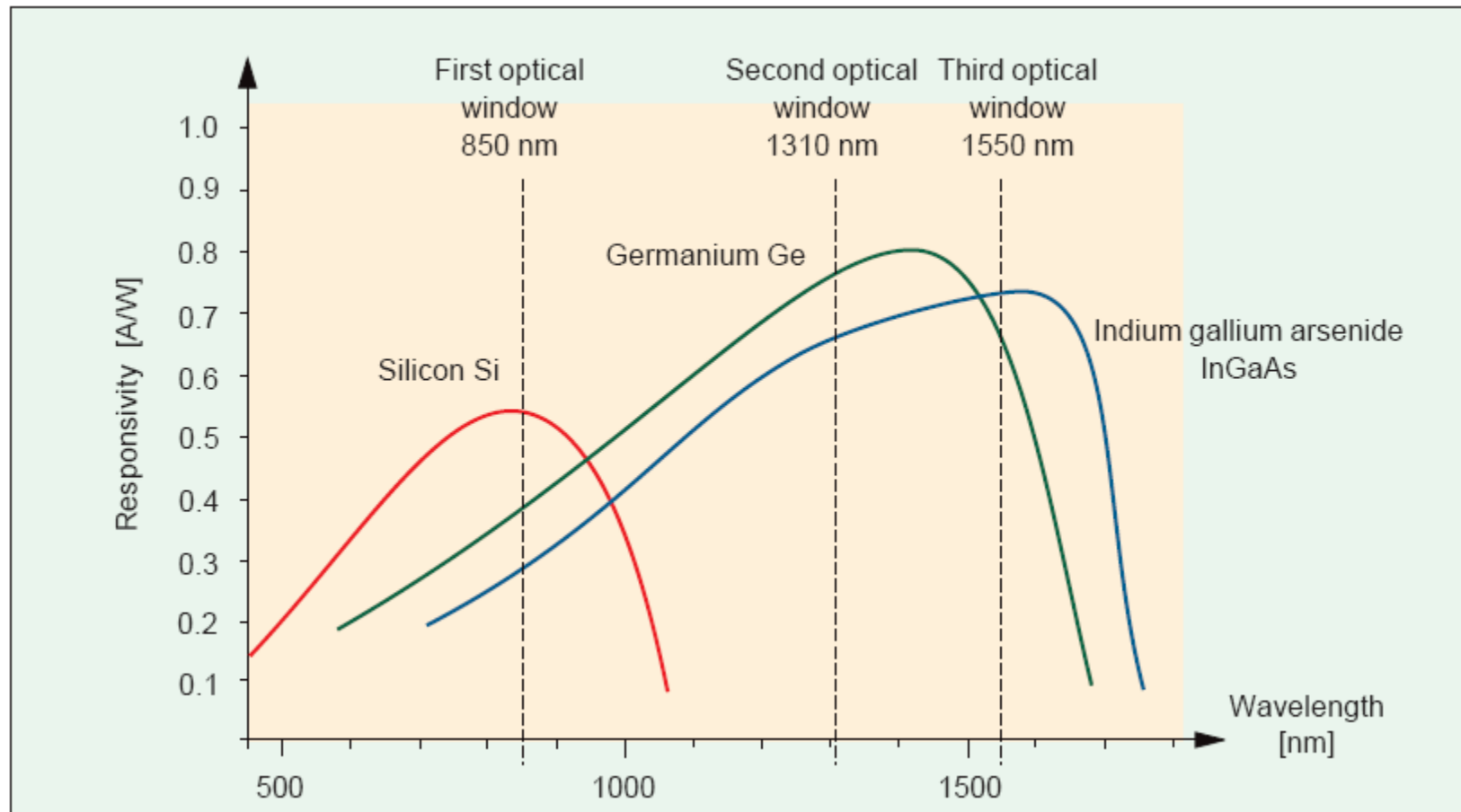
$$P(w) = P_i \cdot e^{-\alpha \cdot d} \cdot (1 - e^{-\alpha \cdot w}) \cdot (1 - R_f)$$

Fotodioda – Principiul de operare

- ▶ Coeficientul de absorbtie pentru materialele uzuale
- ▶ Valoarea mare a coeficientului de absorbtie la lungimi de unda reduse implica scaderea rezponsivitatii
- ▶ Ca urmare comportarea **tuturor** materialelor este de tip trece banda



Materiale utilizate pentru fotodiode



Fotodioda – Marimi caracteristice

- ▶ Eficiența cuantica – raportul dintre numărul de perechi electron–gol generate și numărul de fotoni incidenti

$$\eta = \frac{n_e}{n_f}$$

- ▶ În unitatea de timp numărul de fotoni depinde de puterea optică, iar numărul de electroni impune curentul generat

$$\eta = \frac{I/e}{P/h\nu}$$

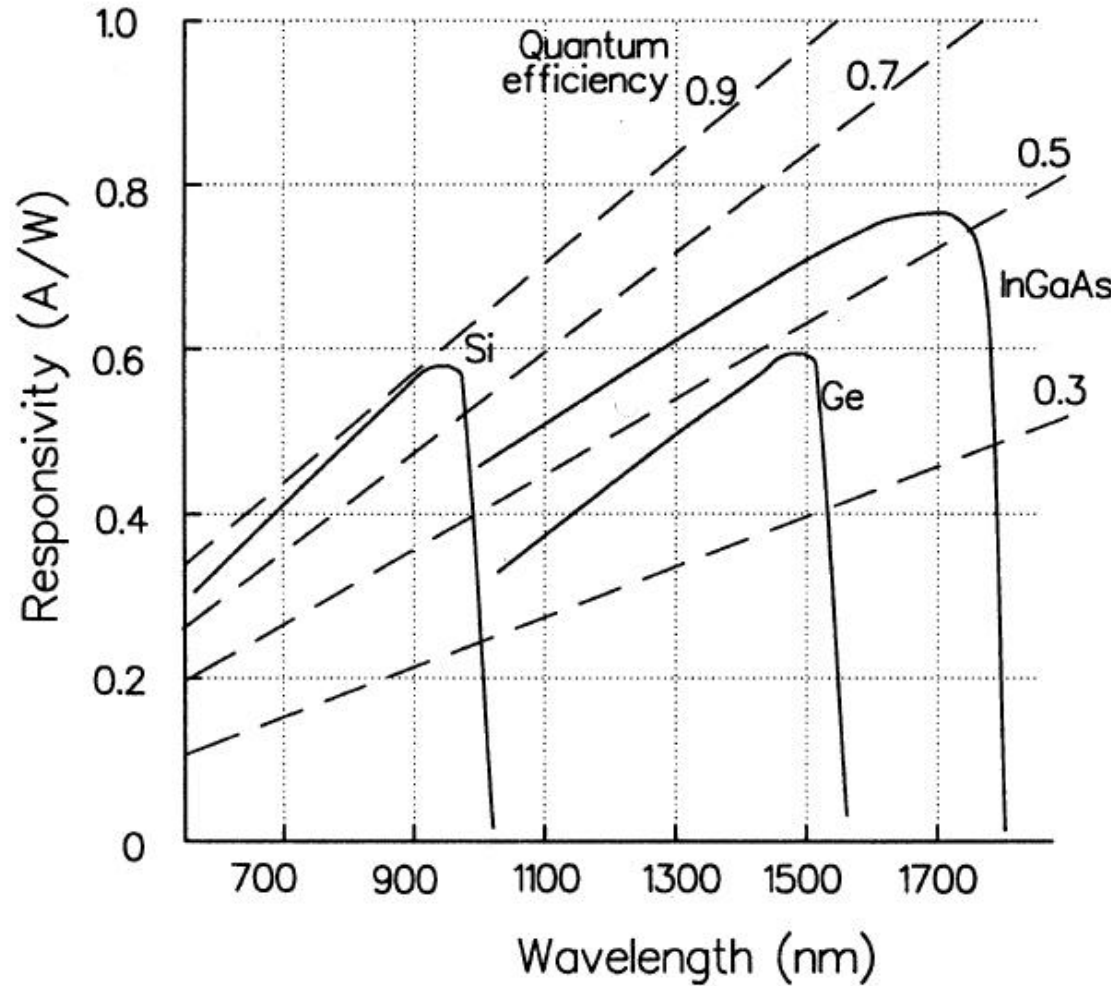
- ▶ Rezonanța

$$R = \frac{I}{P_o} = \frac{\eta \cdot e \cdot \lambda}{hc}$$

$$R = 0.8 \cdot \eta \cdot \lambda [\mu m] \quad \left[\frac{A}{W} \right]$$

Fotodiode – marimi karakteristice

$$R = \frac{I}{P_o} = \eta \cdot \frac{e}{hc} \cdot \lambda$$



Materiale utilizate pentru fotodiode

Material	λ [μm]	Responsivitate [A/W]	Viteza [ns]	Curent de intuneric
Si	0.85	0.55	3	1
Si	0.65	0.4	3	1
InGaAs	1.3–1.6	0.95	0.2	3
Ge	1.55	0.9	3	66

- Dezavantajul major pentru Ge este curentul de intuneric mare

Material	Eg (eV)
GaAs	1.43
GaSb	0.73
GaAs _{0.88} Sb _{0.12}	1.15
Ge	0.67
InAs	0.35
InP	1.35
In _{0.53} Ga _{0.47} As	0.75
In _{0.14} Ga _{0.86} As	1.15
Si	1.14

Current de intuneric

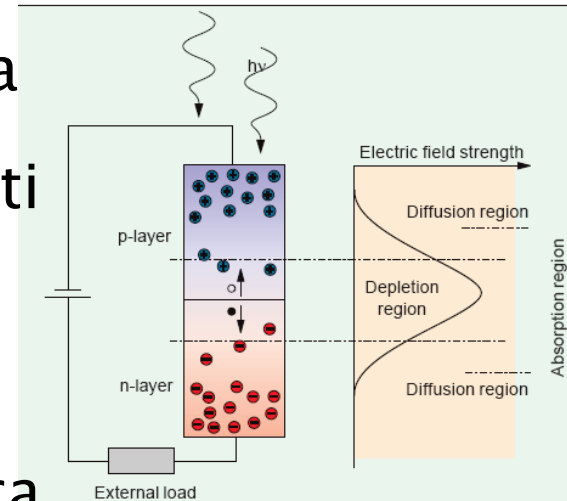
- ▶ Currentul invers al jonctiunii p–n, datorat agitatiei termice, prezent in absenta iluminarii
- ▶ Constituie o importanta sursa de zgomot (limiteaza aplicatiile Ge)

$$I_D = I_S \approx \frac{\beta \cdot kT}{eR_0}$$

- β – coeficient de idealitate $\beta=1\div 2$
- R_0 – rezistenta la intuneric a diodei (invers proportionala cu aria diodei)

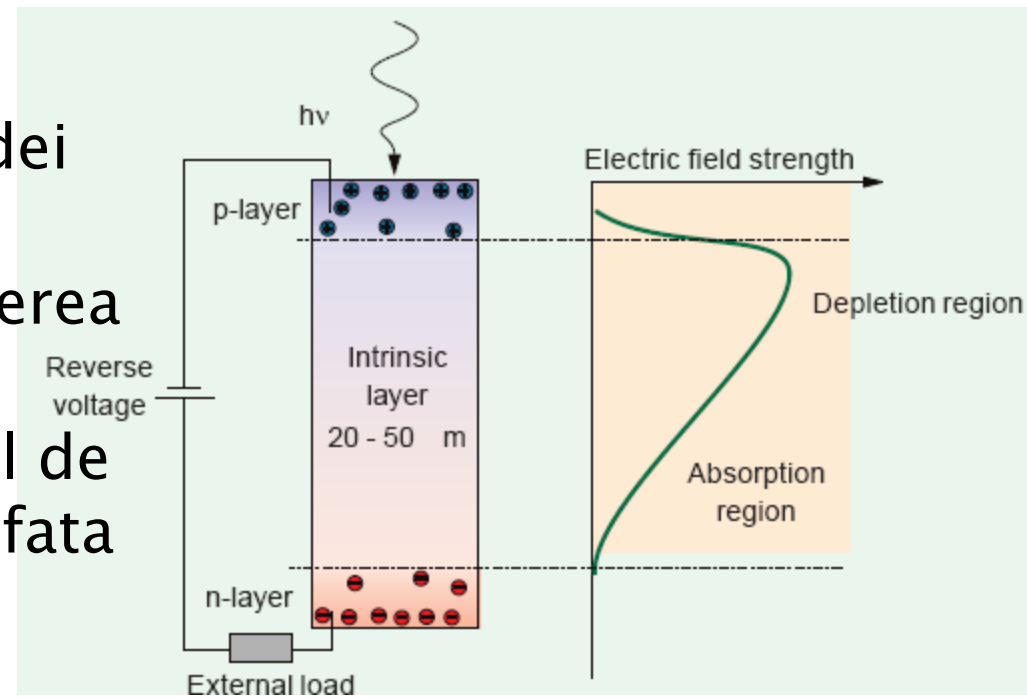
Fotodioda PIN

- ▶ Existenta campului electric in regiunea golita de purtatori face ca eventualii purtatori generati optic sa fie accelerati spre terminale pentru constituirea photocurentului
- ▶ Problemele utilizarii diodei pn polarizate invers ca fotodetector sunt generate de adancimea extrem de mica a zonei golite (w)
- ▶ Puterea optica absorbita in interiorul acestei zone e in consecinta redusa
- ▶ Purtatorii generati inafara zonei de golire ajung eventual in zona golita si vor fi accelerati spre terminale, dar viteza fenomenului este prea redusa pentru aplicatii in comunicatii



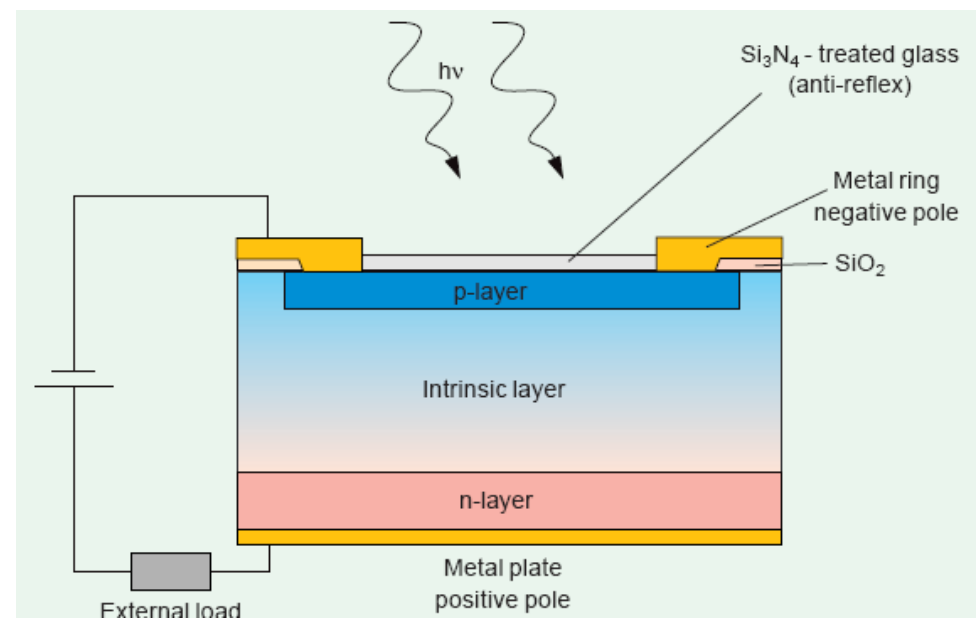
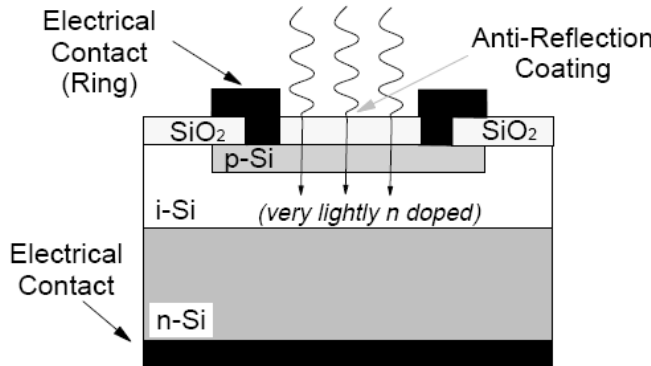
Fotodioda PIN

- ▶ Solutia consta in introducerea unui strat foarte slab dopat (intrinsec) intre cele doua zone ale diodei
 - creste volumul de absorbtie deci creste sensibilitatea fotodiodei
 - capacitatea jonctiunii scade ducand la cresterea vitezei
 - este favorizat curentul de conductie (mai rapid) fata de cel de difuzie



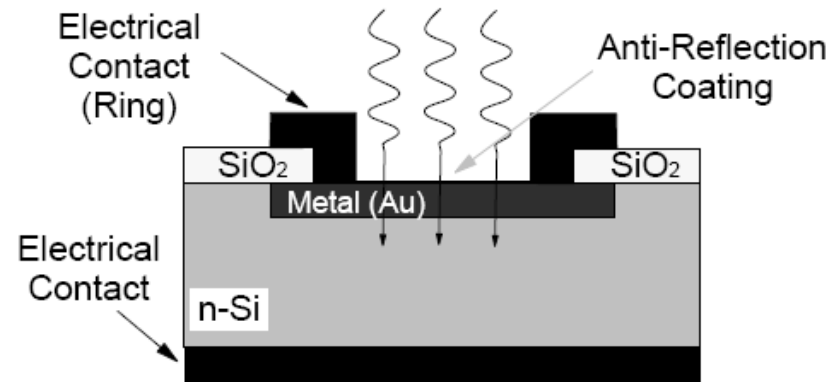
Structura fotodiodei PIN

- ▶ tipic, adancimea stratului intrinsec este de $20\text{--}50\mu\text{m}$
- ▶ cresterea suplimentara a adancimii ar duce la cresterea timpului de tranzit
 - $w=20\mu\text{m} \rightarrow T_{tr} \approx 0.2\text{ns}$



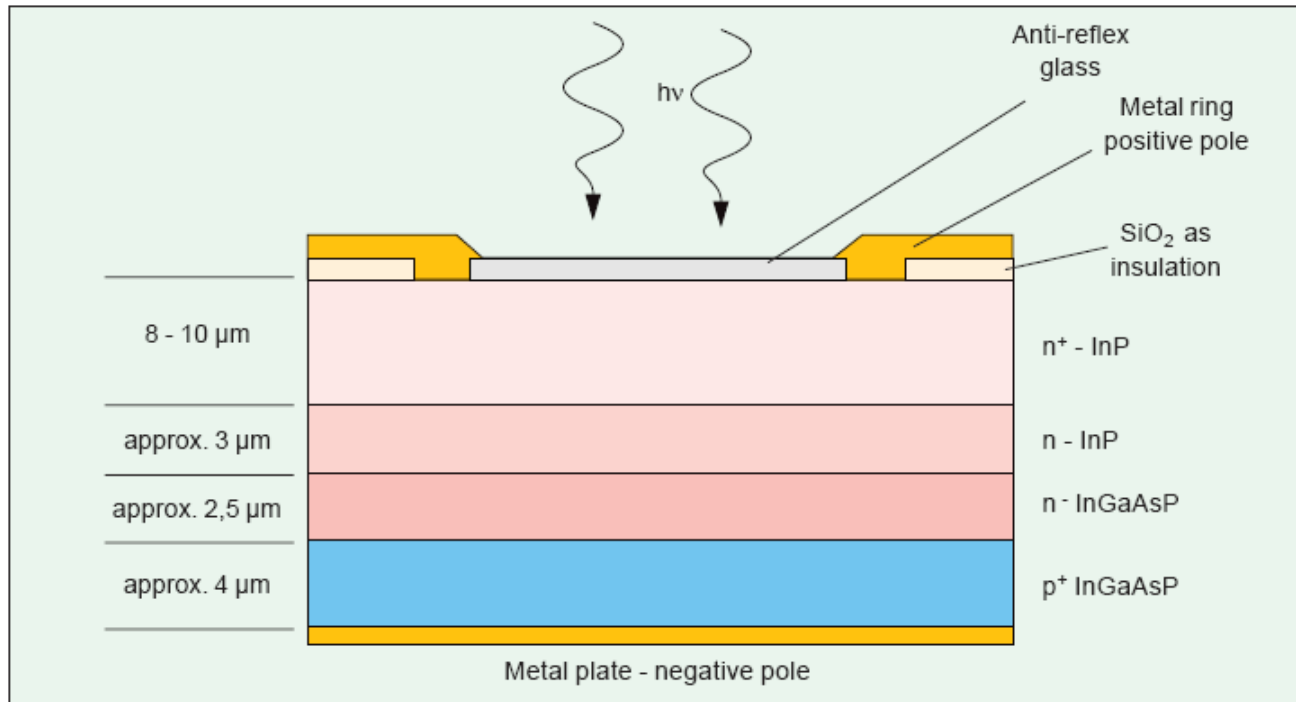
Structura fotodiodelor Schottky

- ▶ se bazeaza pe jonctiunea metal semiconductor
- ▶ vitezele de lucru sunt mult mai mari, metalul fiind un bun conductor realizeaza evacuarea mult mai rapida a purtatorilor din jonctiune
- ▶ permite utilizarea unor materiale cu eficienta mai mare dar care nu pot fi dopate simultan p
si n pentru utilizare in PIN
- ▶ modulatie cu 100GHz posibila



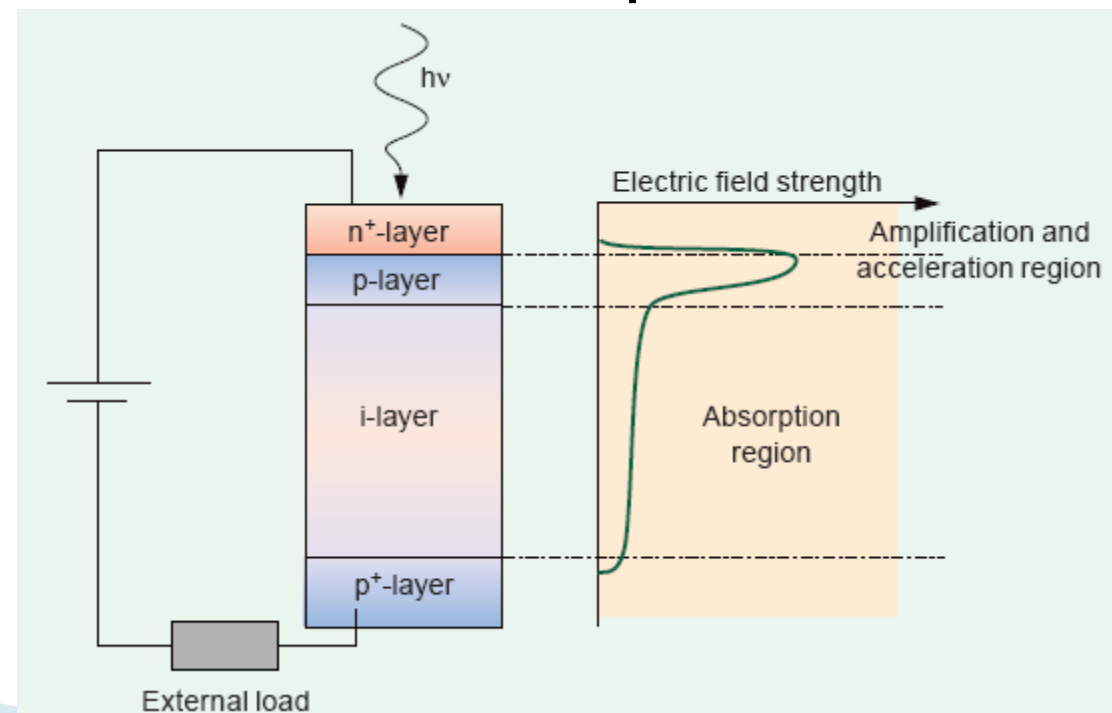
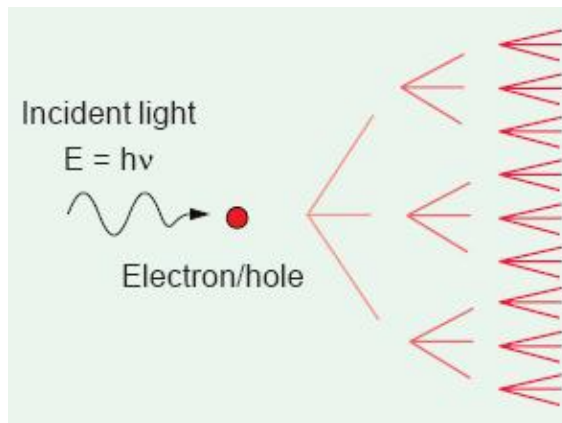
Fotodioda PIN pentru lungimi de unda crescute (1550nm)

- ▶ se utilizeaza tipic
 - InGaAsP pe substrat InP
 - GaAlAsSb pe substrat GaSb



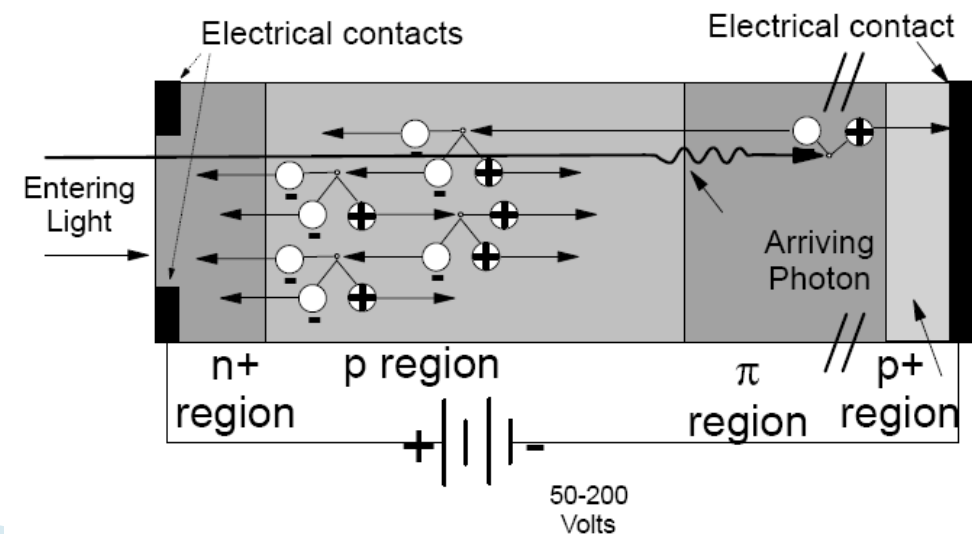
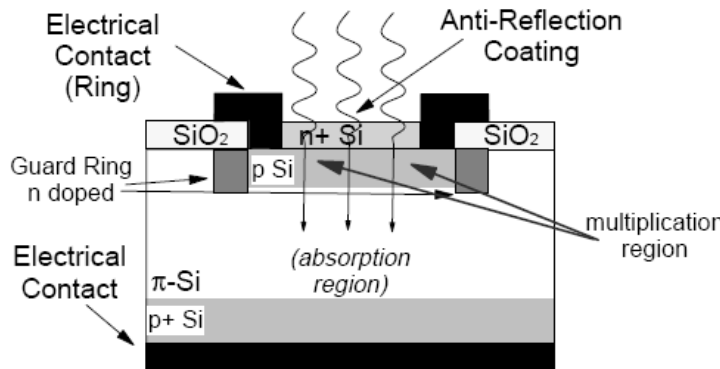
Fotodioda PIN cu multiplicare in avalansa

- ▶ daca viteza purtatorilor este suficient de mare genereaza noi perechi electron/gol prin ionizare de impact
- ▶ amplificarea are loc in acelasi timp cu detectia

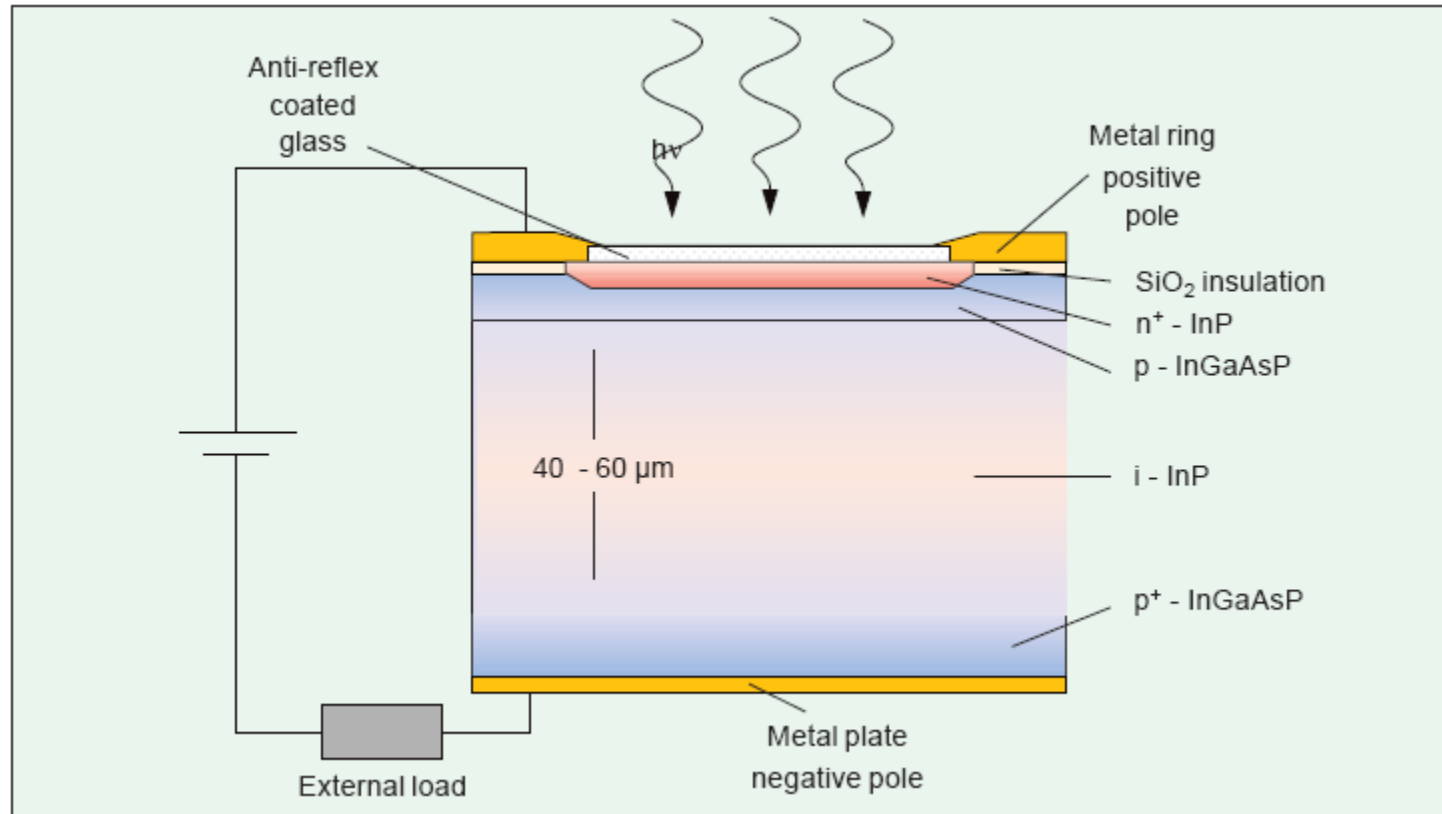


Functionarea fotodiodei cu multiplicare in avalansa

- ▶ campuri electrice de ordinul minim: 3×10^5 V/m, tipic: 10^6 V/m sunt necesare
- ▶ aceste campuri sunt generate de tensiuni inverse de polarizare de ordinul 50–300V
- ▶ structura este modificata pentru concentrarea campului in zona de accelerare



Structura fotodiodei cu multiplicare in avalansa



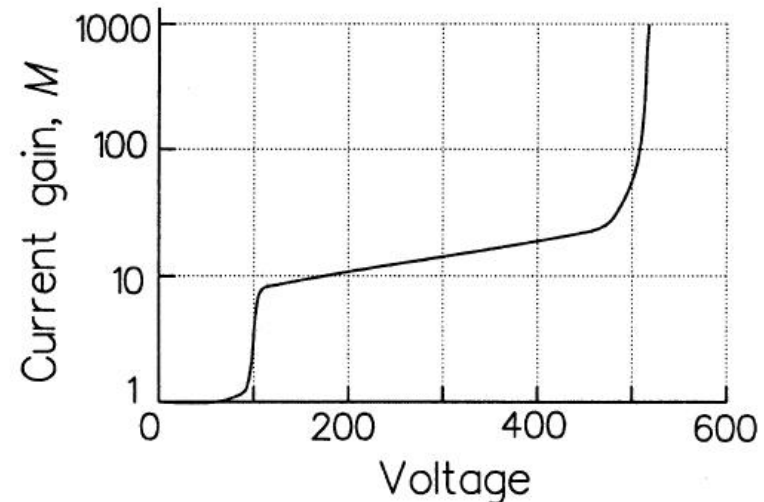
Caracteristicile fotodiodei cu multiplicare in avalansa

- ▶ factorul de multiplicare caracterizeaza amplificarea photocurentului generat

$$M = \frac{I_M}{I}$$

- ▶ Responzivitatea

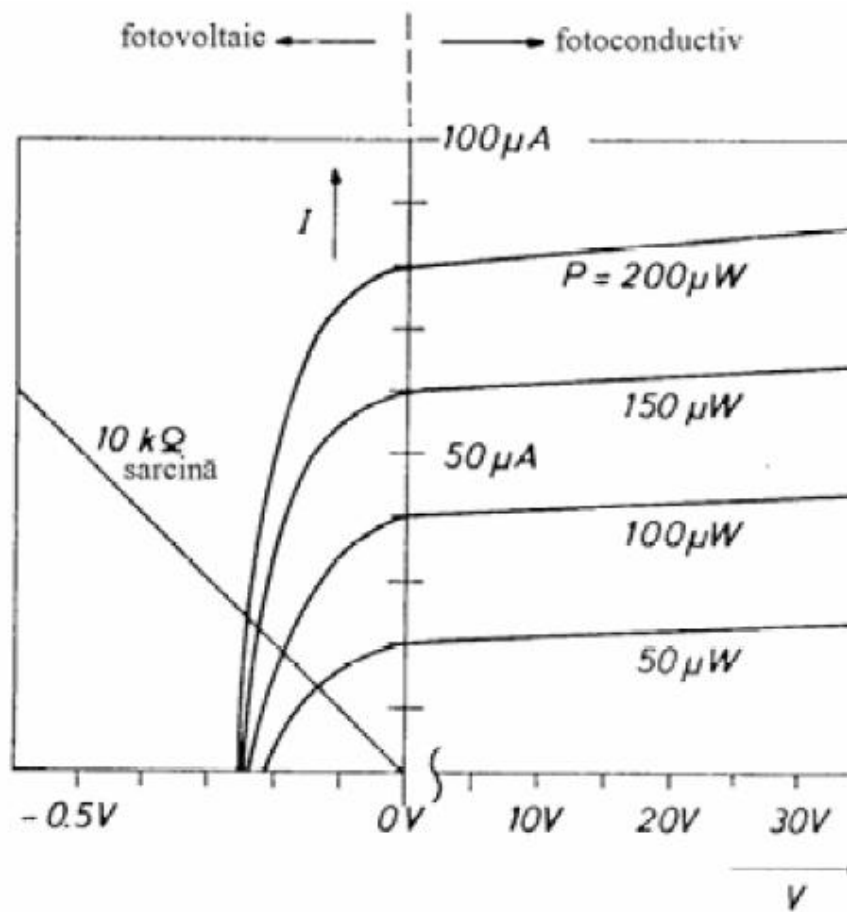
$$R = \frac{I}{P_o} = \frac{\eta \cdot e \cdot \lambda}{hc} \cdot M$$



Dezavantaje

- ▶ tensiuni inverse de polarizare mari cresc complexitatea circuitului
- ▶ diodele cu multiplicare in avalansa sunt intrinsec mai zgomotoase (currentul de zgomot este amplificat de asemenea)
- ▶ factorul de multiplicitate are o componenta aleatorie (zgomot suplimentar)
- ▶ viteza mai redusa (timp de generare al avalansei)

Caracteristici curent/tensiune Fotodioda

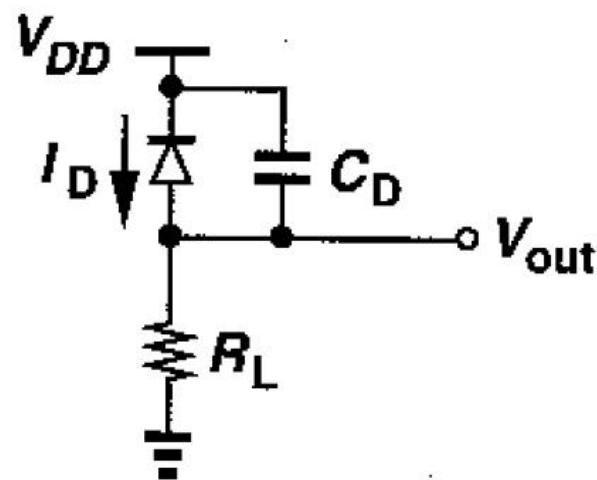


Amplificatoare transimpedanta

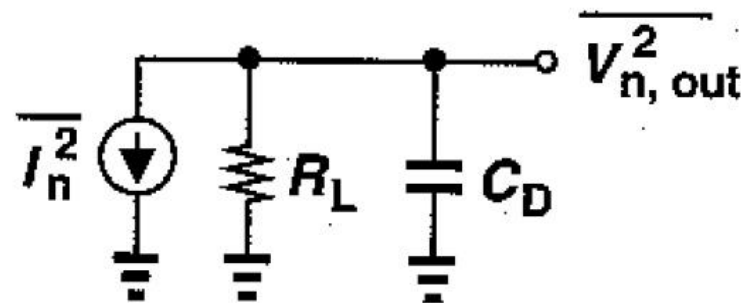
- ▶ Fotodiodele genereaza un curent proportional cu puterea optica receptionata
- ▶ Primul pas necesar este conversia acestui curent la o tensiune
- ▶ Amplificatoarele transimpedanta sunt amplificatoarele atacate in curent si care ofera la iesire o tensiune propotionala cu acesta
- ▶ Amplificarea este masurata in Ω ($k\Omega$)

Amplificatoare transimpedanta

- ▶ Cel mai simplu amplificator transimpedanta este un rezistor



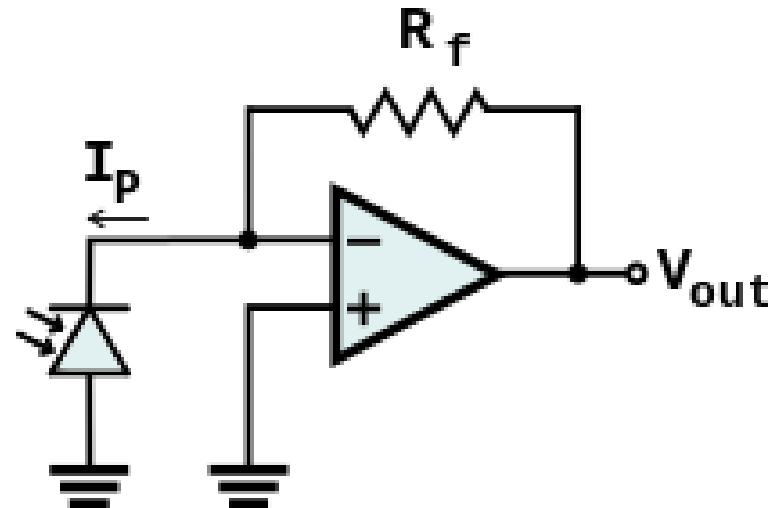
(a)



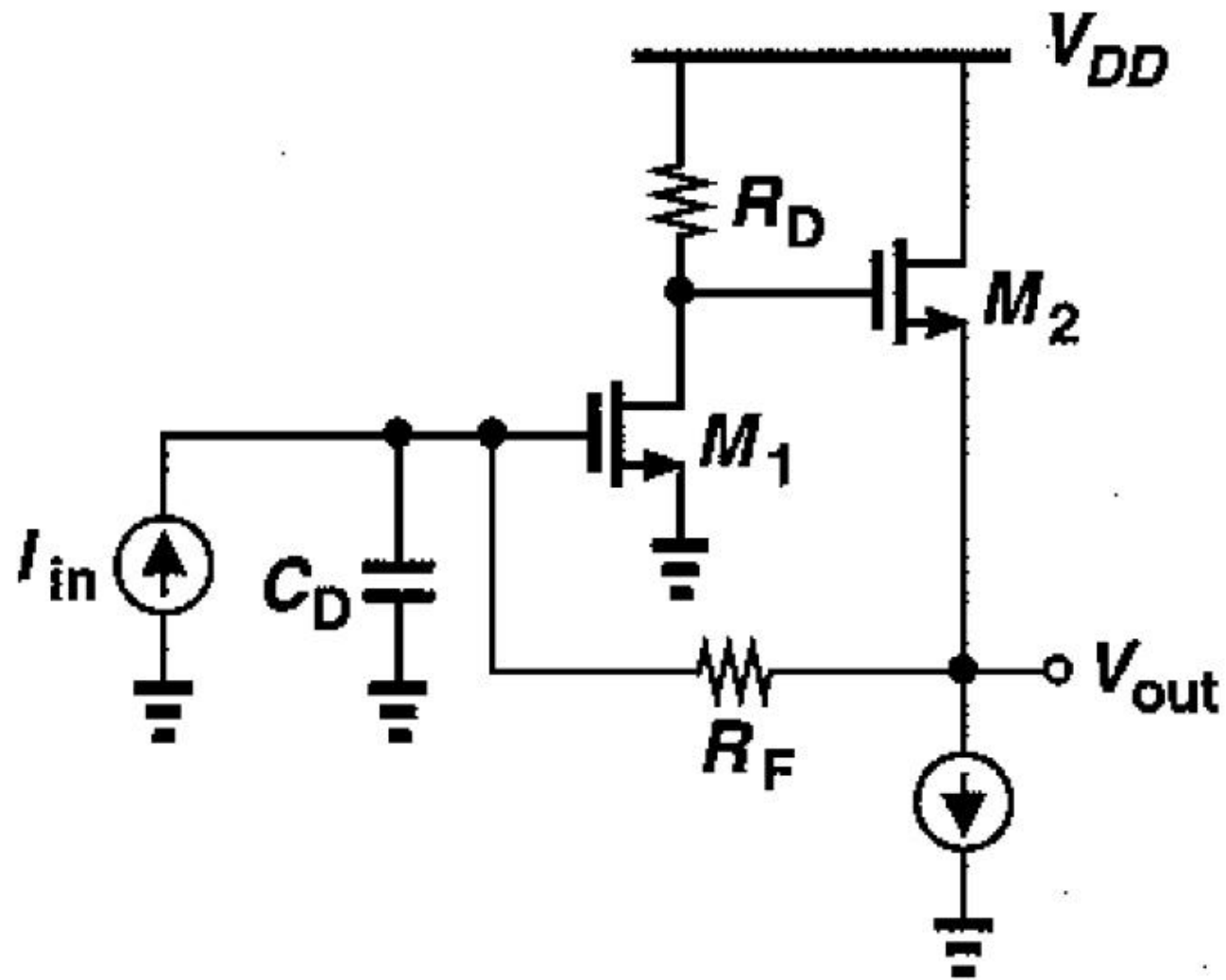
(b)

Amplificatoare transimpedanta

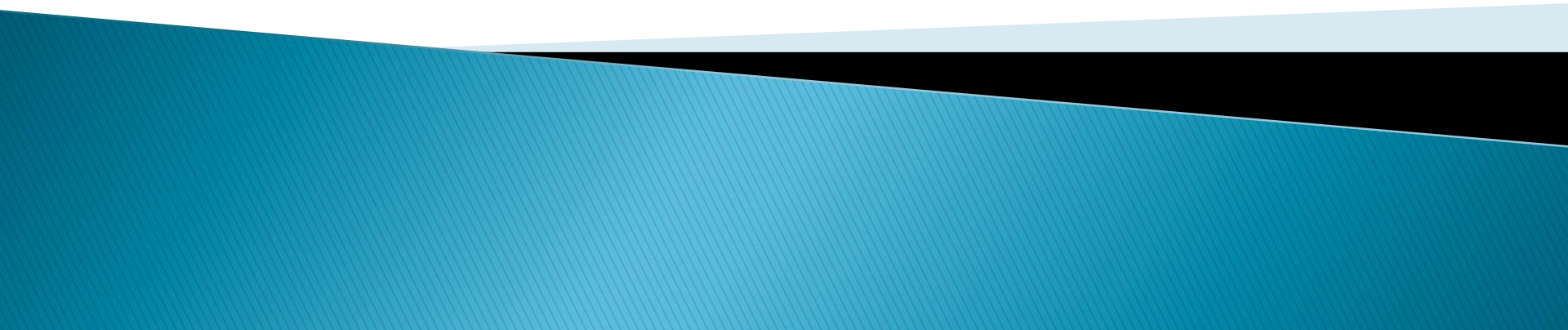
- ▶ Trebuie realizat un compromis intre
 - zgomot
 - castig
 - viteza
- ▶ De obicei sunt realizate cu reactie



Amplificatoare transimpedanta



Zgomotul traductorilor electro-optici



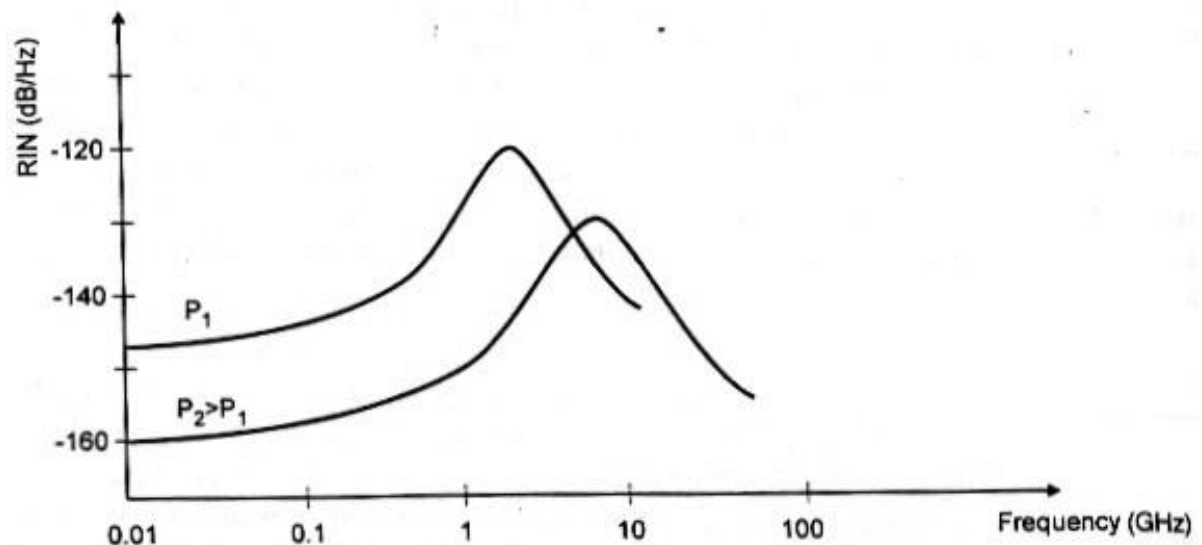
Zgomotul emitorilor optici

- ▶ LED
 - este considerat o sursa lipsita de zgomot
 - nu contamineaza semnalul cu zgomot suplimentar
- ▶ Dioda LASER
 - fluctuatii de faza, determina o largire a spectrului emis
 - fluctuatii de intensitate, determina zgomotul de intensitate introdus de dioda
 - RIN – Relative Intensity Noise

$$RIN[1/Hz] = \frac{\langle P_n^2 \rangle}{\langle P^2 \rangle \cdot BW}$$

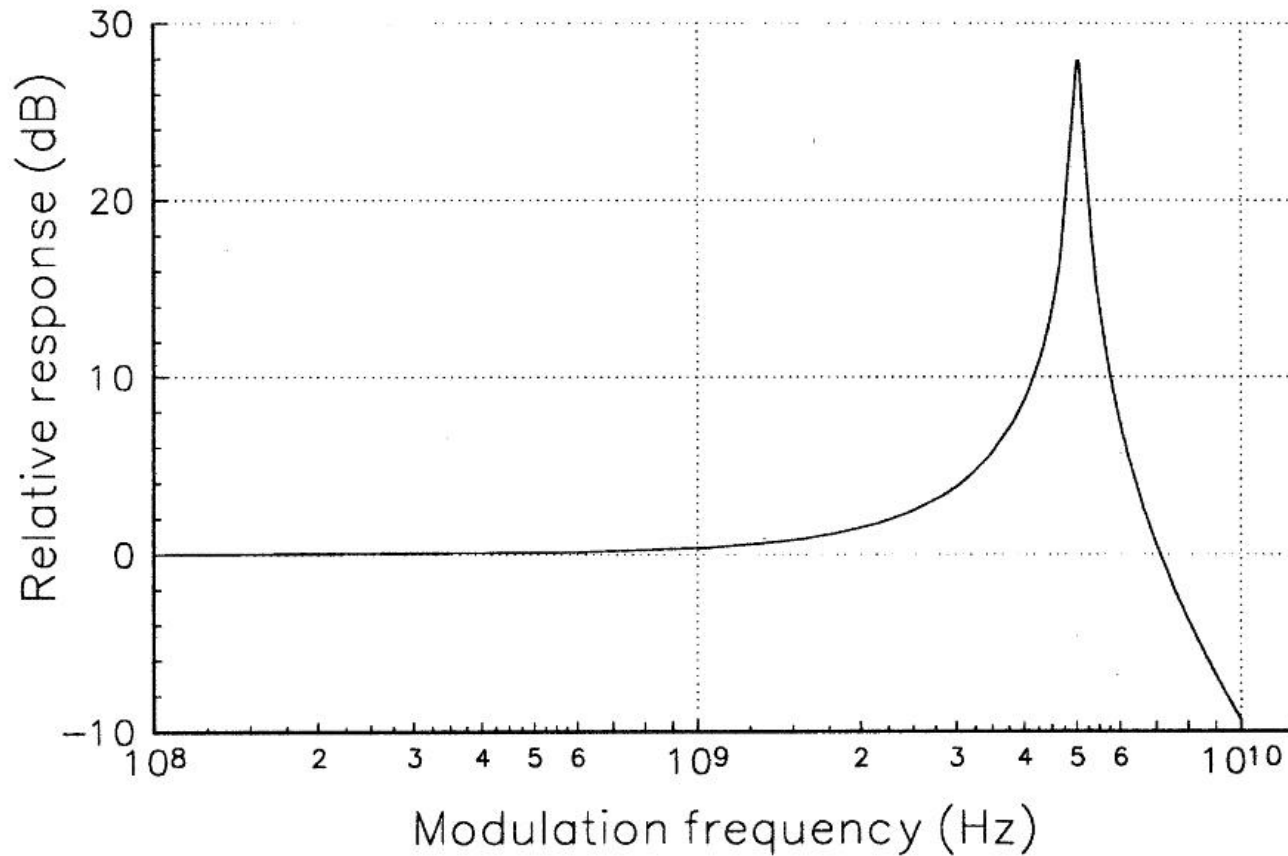
RIN

- ▶ reprezinta o densitate spectrala de zgomot
 - puterea de zgomot depinde de RIN si de banda semnalului
- ▶ Depinde de puterea semnalului
 - P^{-3} la puteri mici, P^{-1} la puteri mari



Raspunsul unei diode laser

- ▶ oscilatii de relaxare - x GHz



EIN

▶ Equivalent Input Noise

- R_i – rezistenta de intrare in circuitul de modulatie a diodei
- Variatiile de putere (zgomot) echivalente unor variatii de curent (zgomot) prin dioda

$$\langle P_n^2 \rangle = r \cdot \langle I_n^2 \rangle$$

$$EIN[W] = R_i \cdot \langle I_n^2 \rangle \quad 1 \text{ Hz banda}$$

$$EIN[W / Hz] = RIN \cdot (I_0 - I_{th})^2 \cdot R_i$$

Zgomotul fotodiodei

▶ NEP

- Noise Equivalent Power
- r – rezonabilitatea diodei

$$NEP[W] = \frac{\int \sqrt{\langle i_n^2 \rangle} df}{r}$$

- r depinde de λ , implica NEP depinde de λ
- În cataloge apare de obicei densitatea spectrală

$$NEP[W / \sqrt{Hz}] = \frac{\sqrt{\langle i_n^2 \rangle}}{r} = \frac{NEP}{\sqrt{BW_{PD}}}$$

Zgomotul fotodiodei

- ▶ NEP
 - cea mai mica putere detectabila

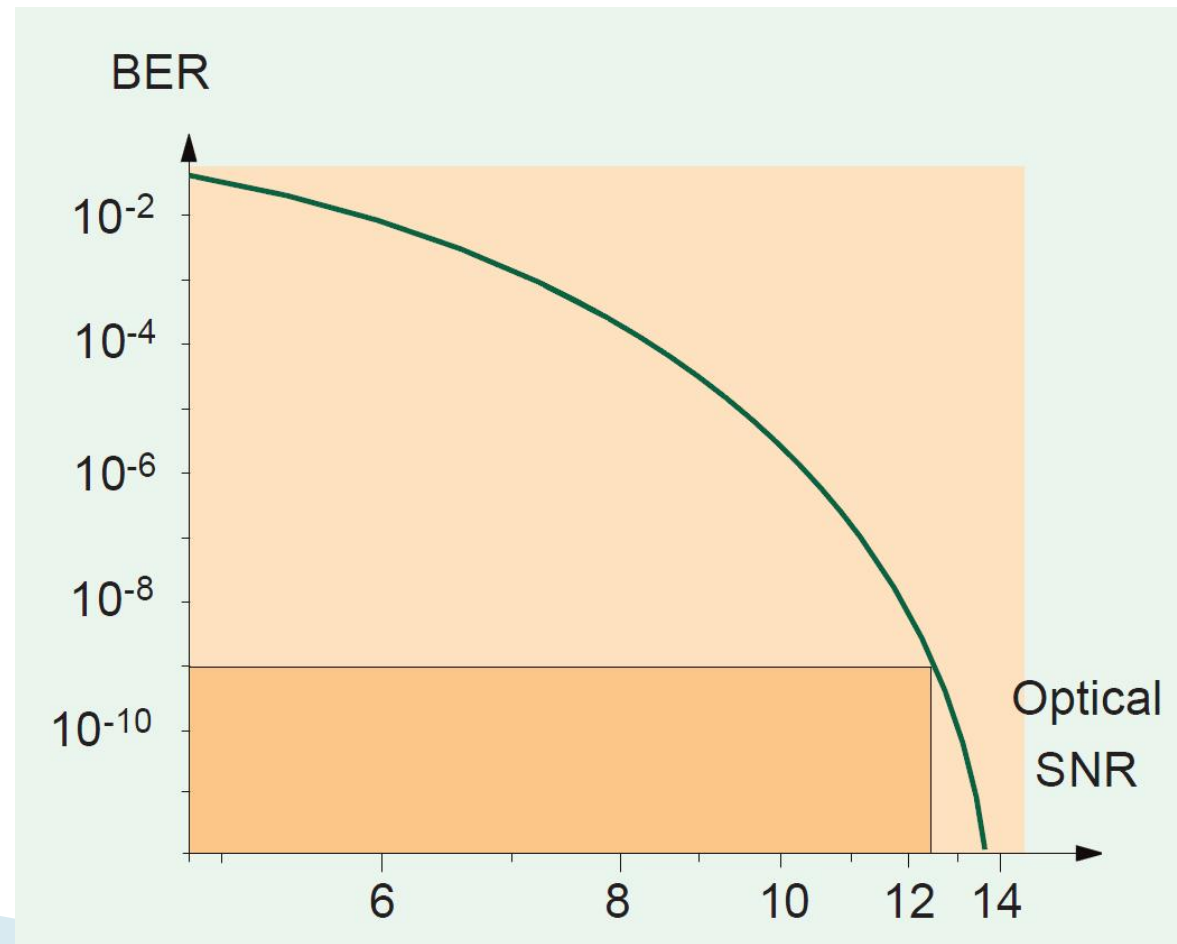
$$\langle i_n^2 \rangle = 2 \cdot e \cdot I \cdot BW_{PD} = 2 \cdot e \cdot (I_S + I_{dark}) \cdot BW_{PD}$$

$$P_{\min} = \frac{\sqrt{\langle i_n^2 \rangle_{\min}}}{r} = \frac{1}{r} \cdot \sqrt{2 \cdot e \cdot I_{dark} \cdot BW_{PD}}$$

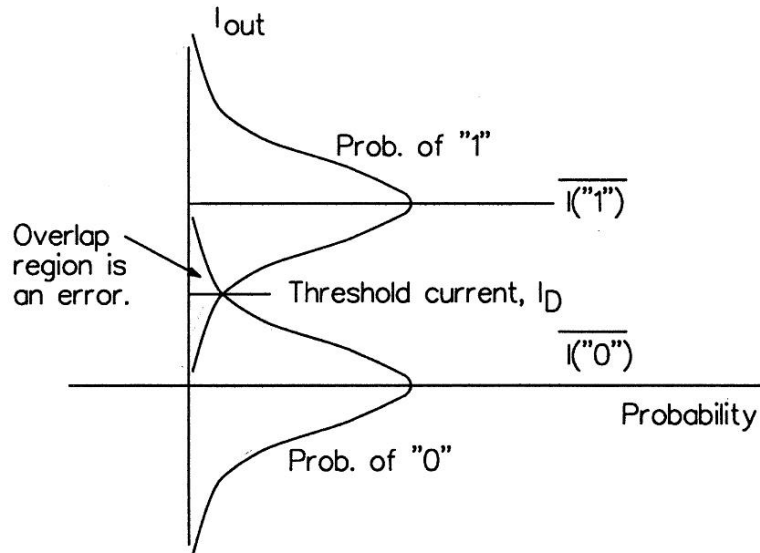
$$NEP[W / \sqrt{Hz}] = \frac{1}{r} \cdot \sqrt{2 \cdot e \cdot I_{dark}}$$

BER

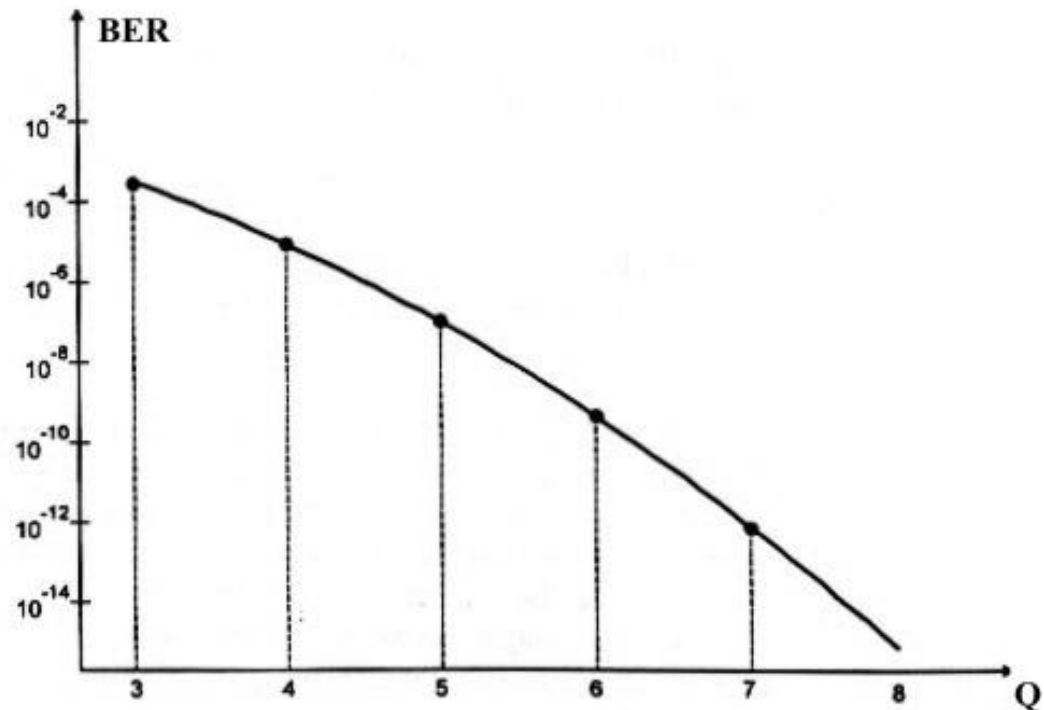
▶ Bit Error Rate



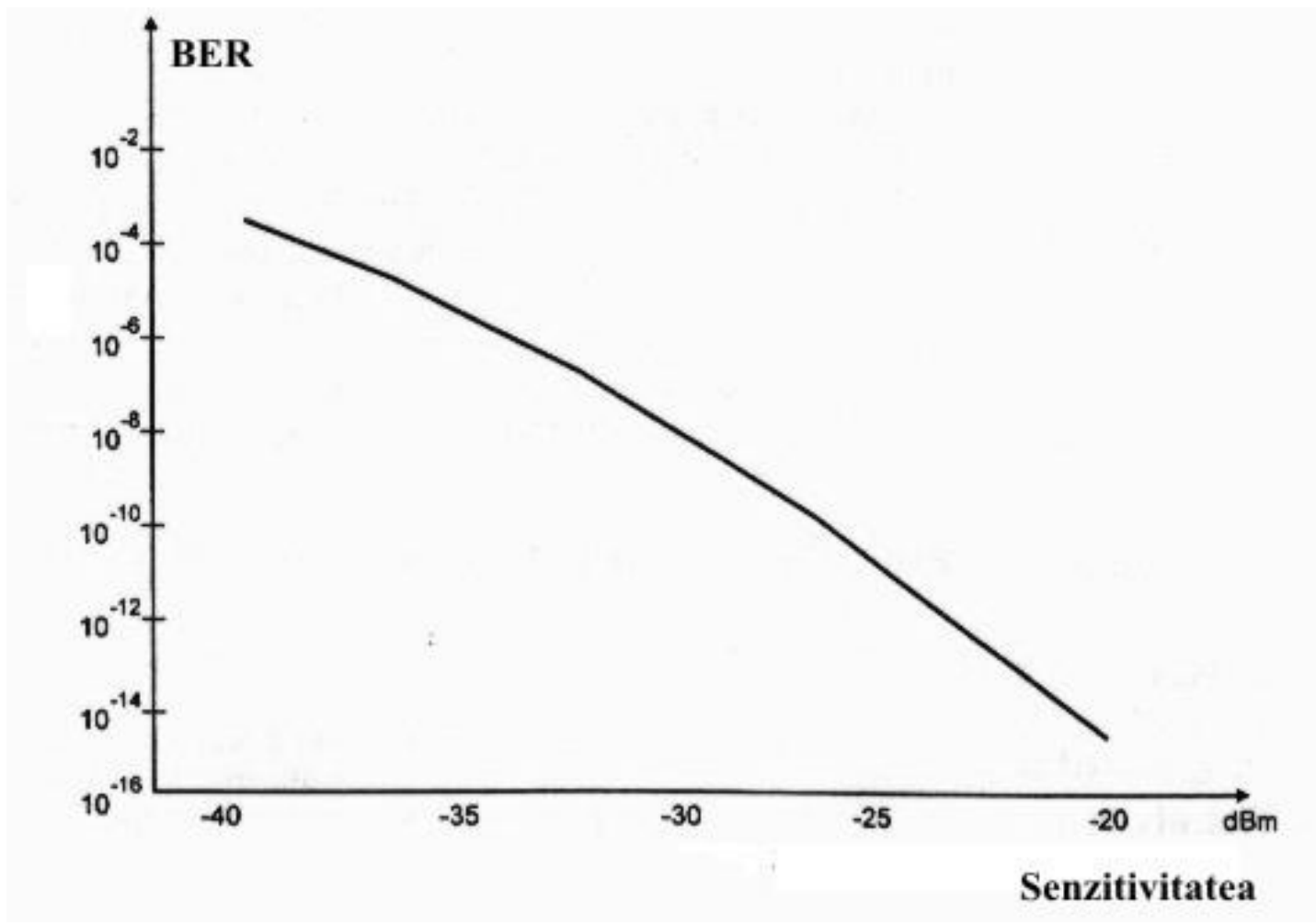
Probabilitate de eroare



$$Q = \frac{\bar{I}(1) - I_D}{\sigma_1} = \frac{I_D - \bar{I}(0)}{\sigma_0}$$



Senzitivitatea unei diode



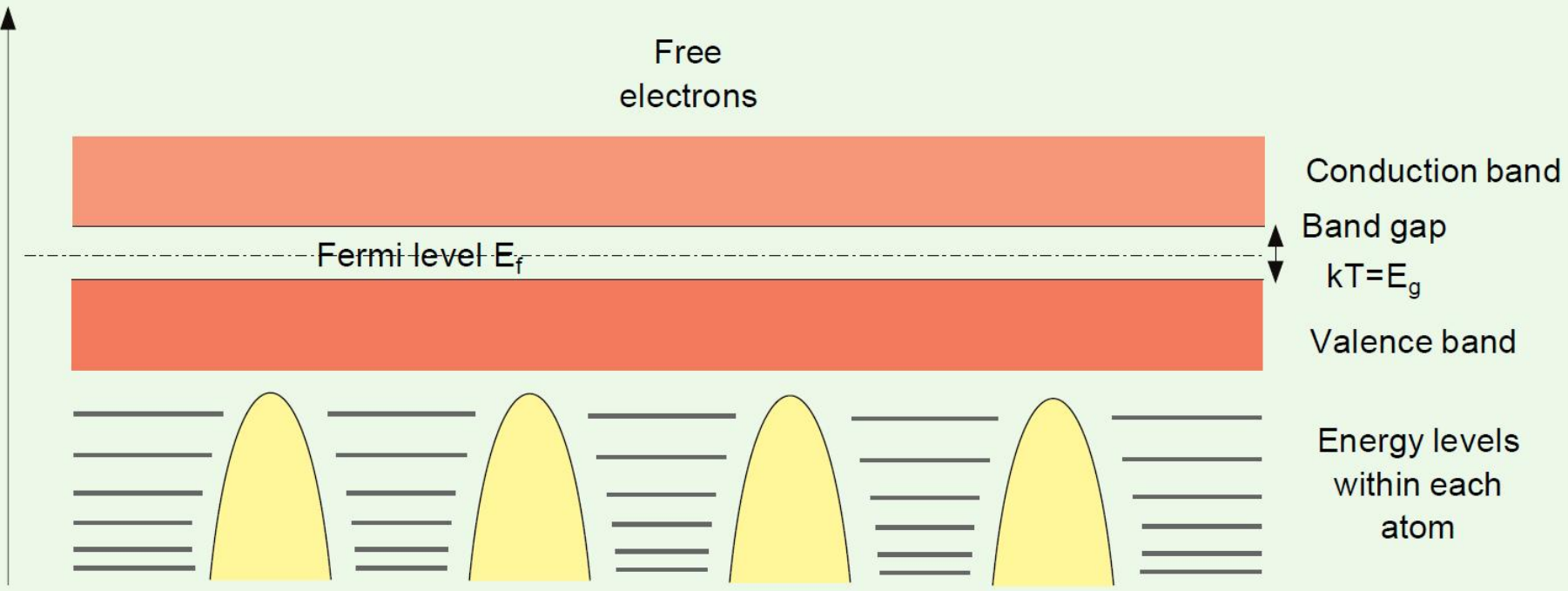
Utilizare celule solare

Capitolul 9

Efect fotovoltaic

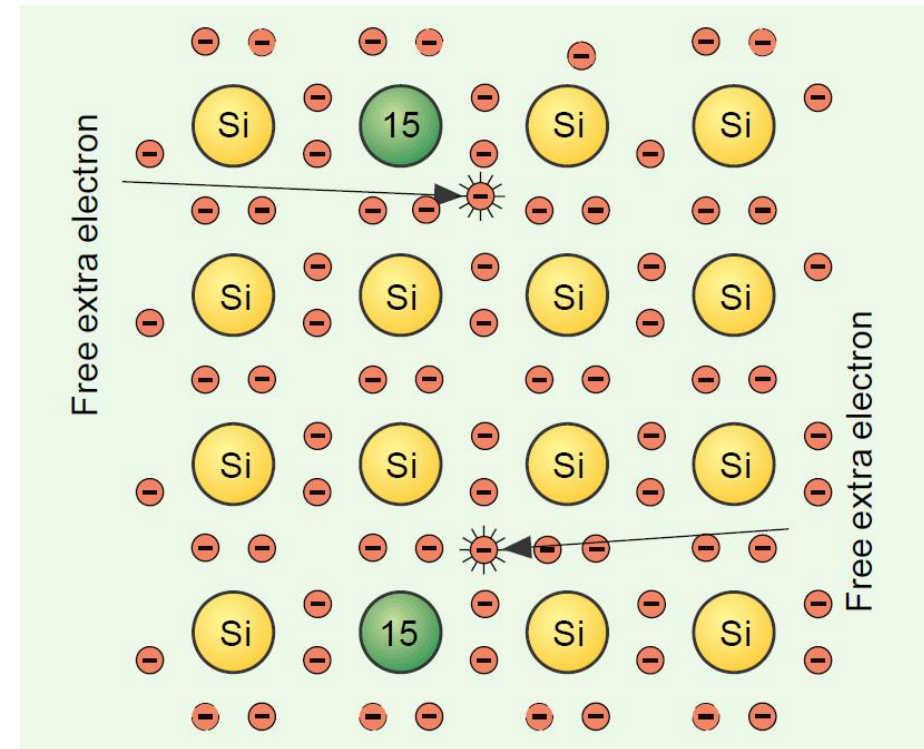
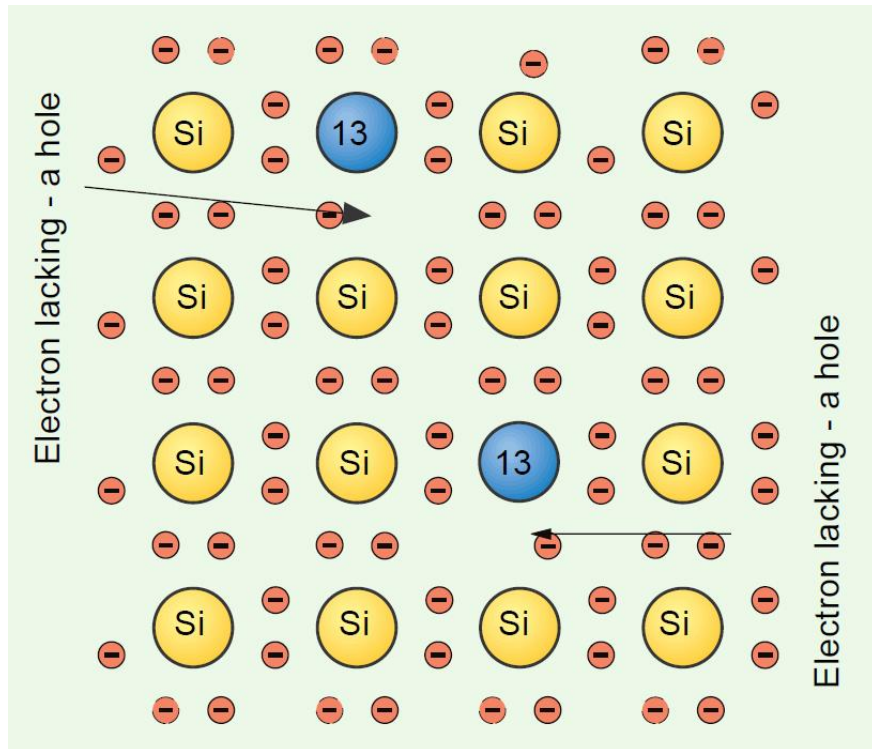
▶ joncțiunea pn

Energy level



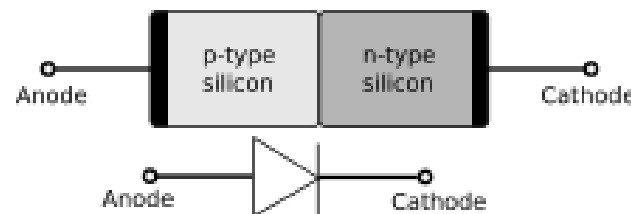
Efect fotovoltaic

► joncțiunea pn

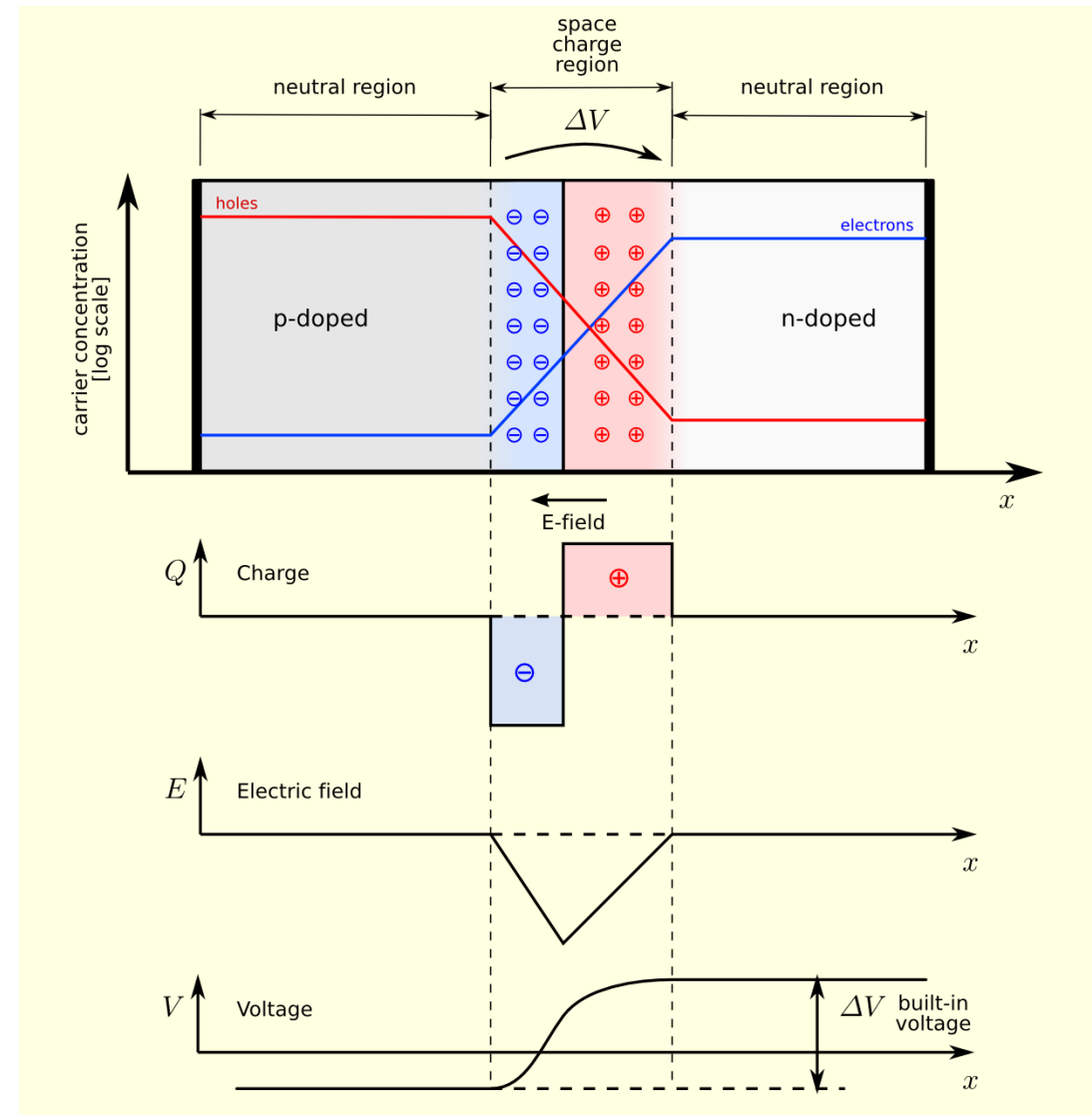


Efect fotovoltaic

▶ joncțiunea pn

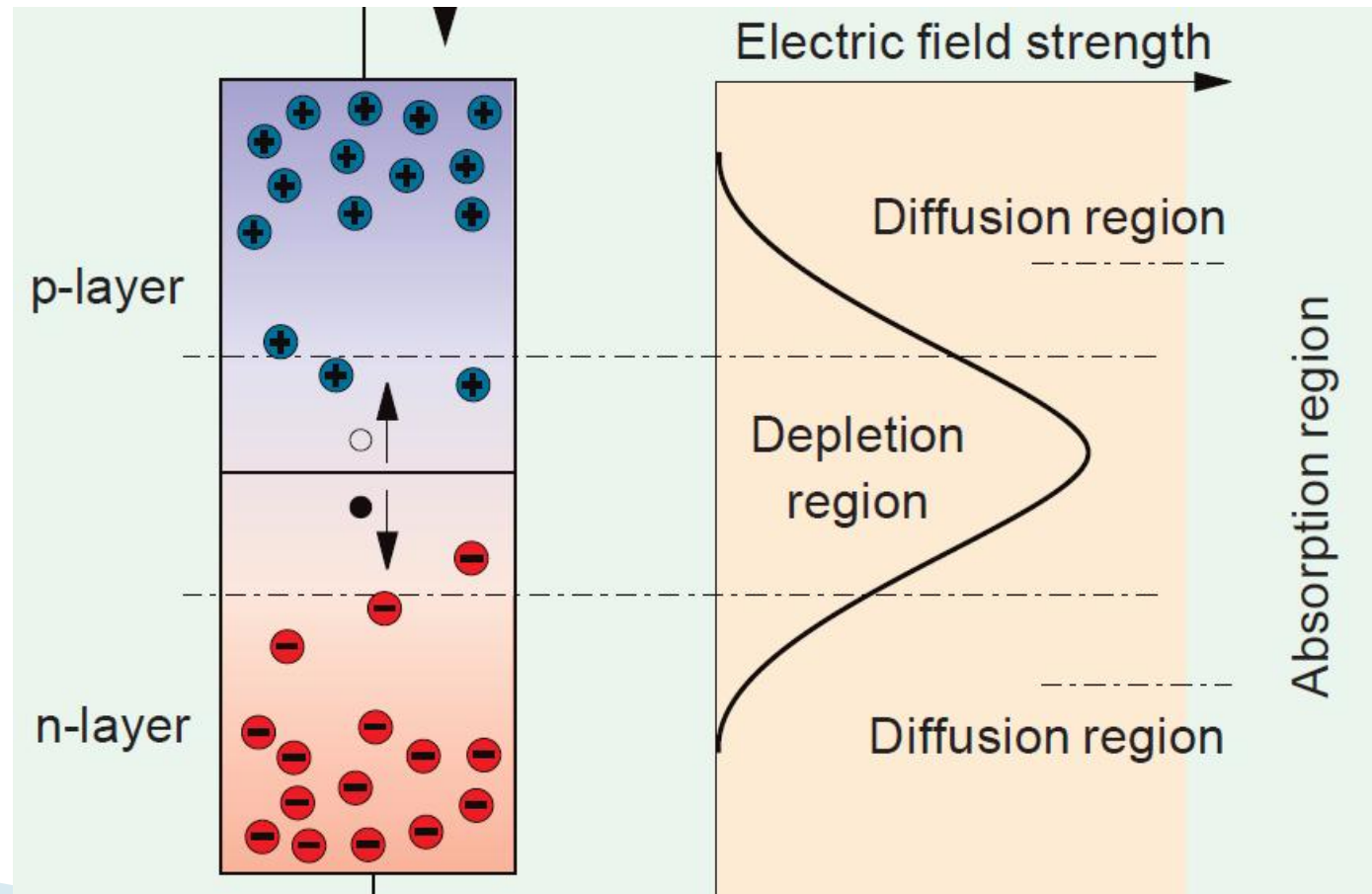


$$V > V_D$$



Efect fotovoltaic

▶ joncțiunea pn / Fotodioda

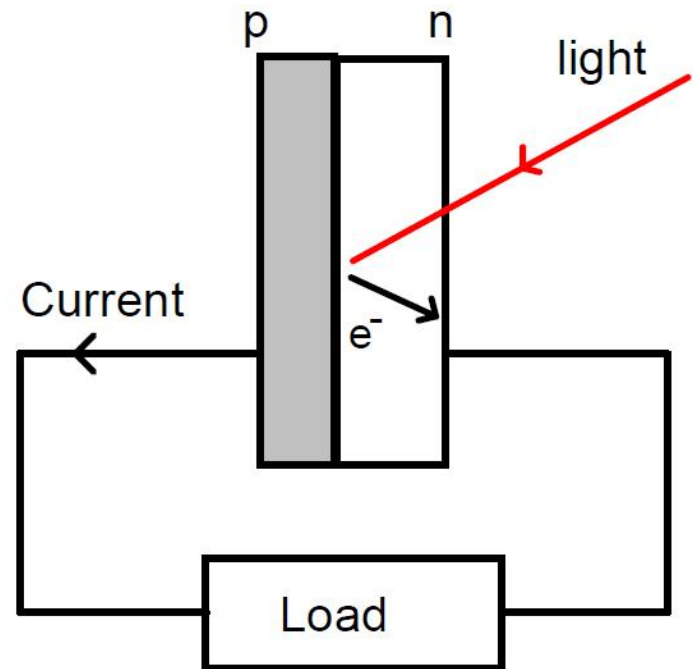
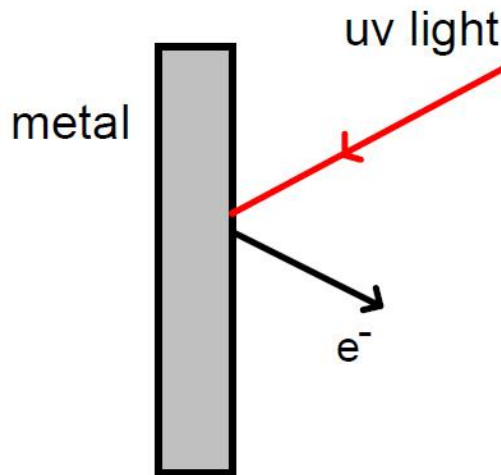


Efect fotovoltaic

- ▶ generarea unei perechi electron/gol in interiorul unui material prin absorbtia energiei fotonilor incidenti si cresterea energiei potentiiale a electronilor
 - urmat de posibilitatea separarii sarcinilor
- ▶ deosebit de conversia:
 - fototermica (energia fotonilor este convertita in caldura – energie cinetica a electronilor)
 - fotochimica (fotosinteza energie potentiala utilizata chimic)
- ▶ duce la aparitia unei tensiuni electromotoare si a unui curent intr-un circuit inchis

Efect fotovoltaic

- ▶ diferit de efectul fotoelectric (cu toate ca este asemanator ca principiu)

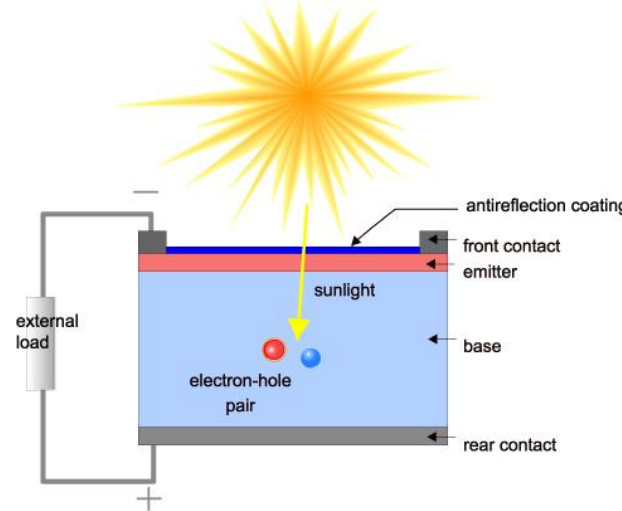


Efect fotovoltaic

- ▶ Separarea fizica a sarcinilor este de obicei realizata prin utilizarea unei jonctiuni pn:
 - campul electric generat de distributia sarcinilor in zona golita de portatori a jonctiunii
- ▶ In principiu o **celula solară** este o **fotodiode** in care:
 - nivelul de semnal optic este ridicat (fortarea prin polarizare inversa externa a extragerii tuturor electronilor generati nu e necesara)
 - viteza de lucru nu e importanta (accelerarea iesirii din dispozitiv a electronilor generati nu e necesara)

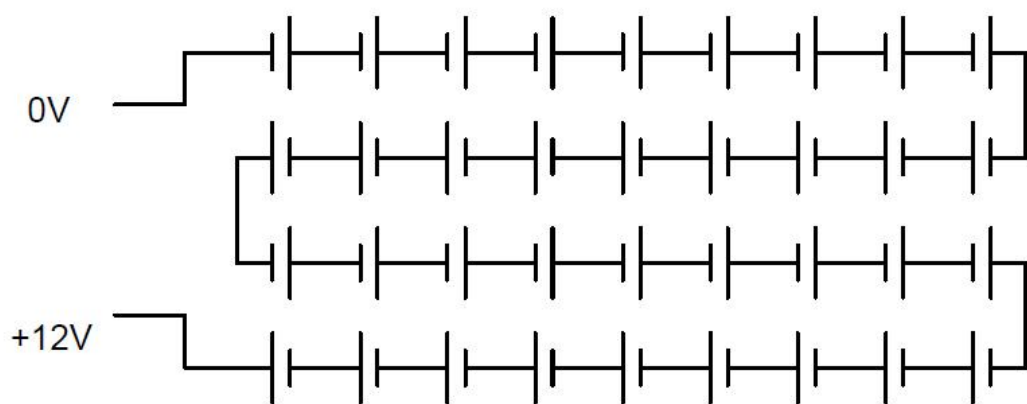
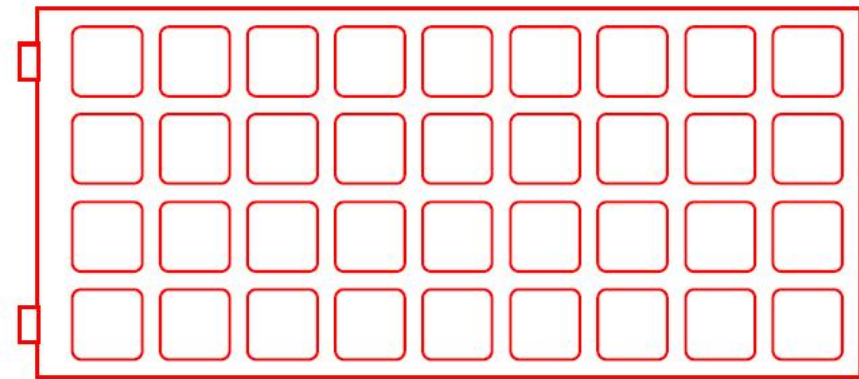
Celula solară (fotovoltaica)

- ▶ în principiu o dioda
 - cu arie mare ($\sim 100\text{cm}^2$)
 - cu suprafață tratată antireflectorizant
 - generează o tensiune electromotoare de $0.5\div 1\text{V}$
 - generează curenti de scurtcircuit de $x0 \text{ mA/cm}^2$



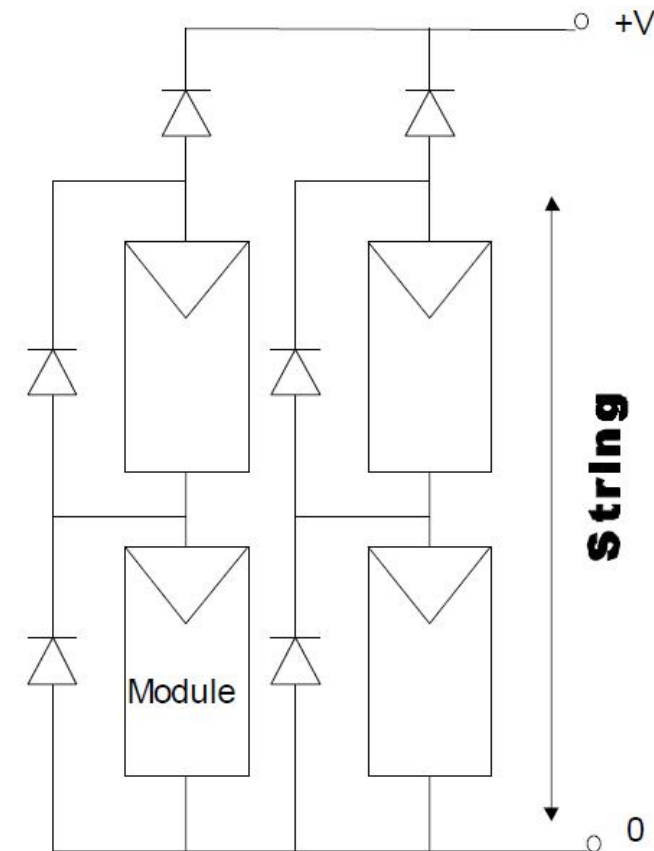
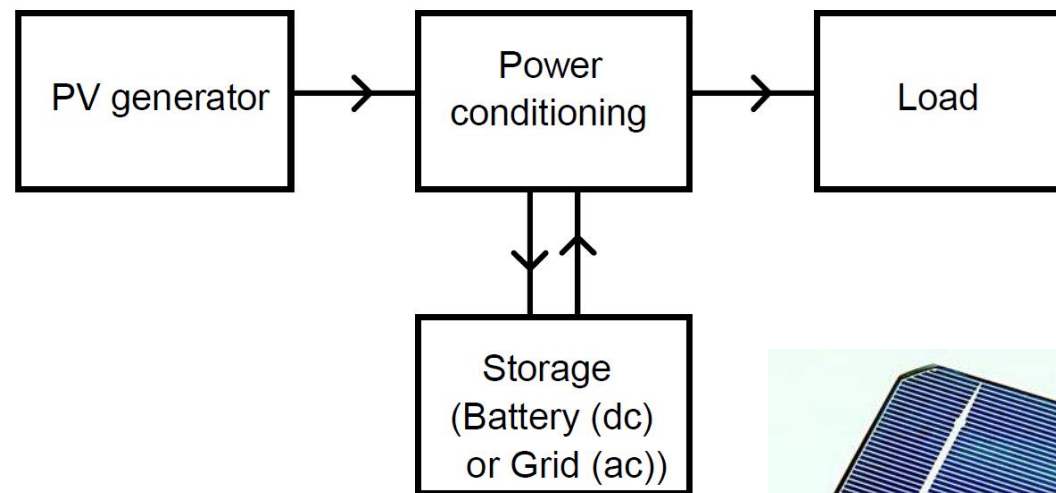
Celula solară (fotovoltaica)

- ▶ pentru utilizare în practică
 - module de 28 – 36 de celule conectate în serie
 - crește tensiunea la 12V (tipic)



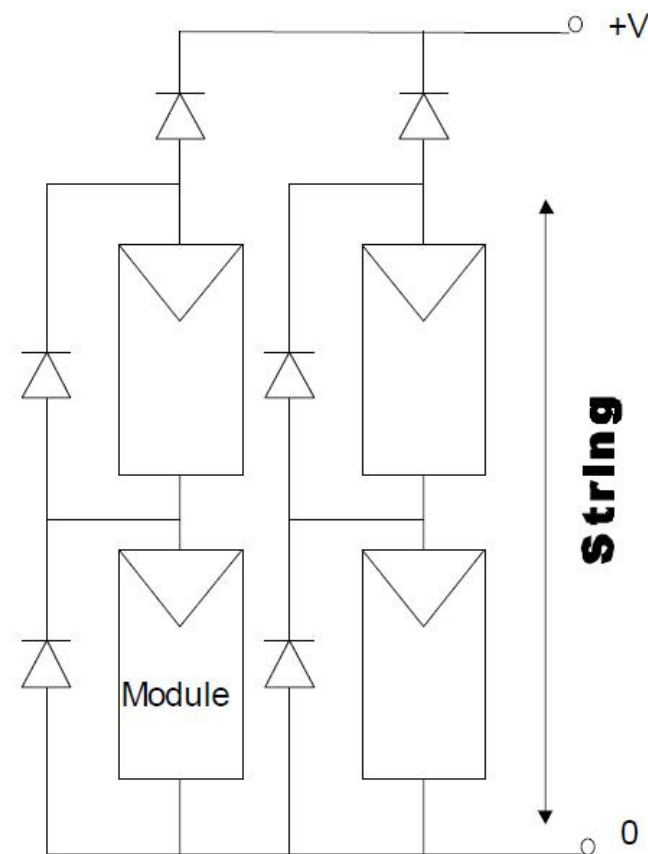
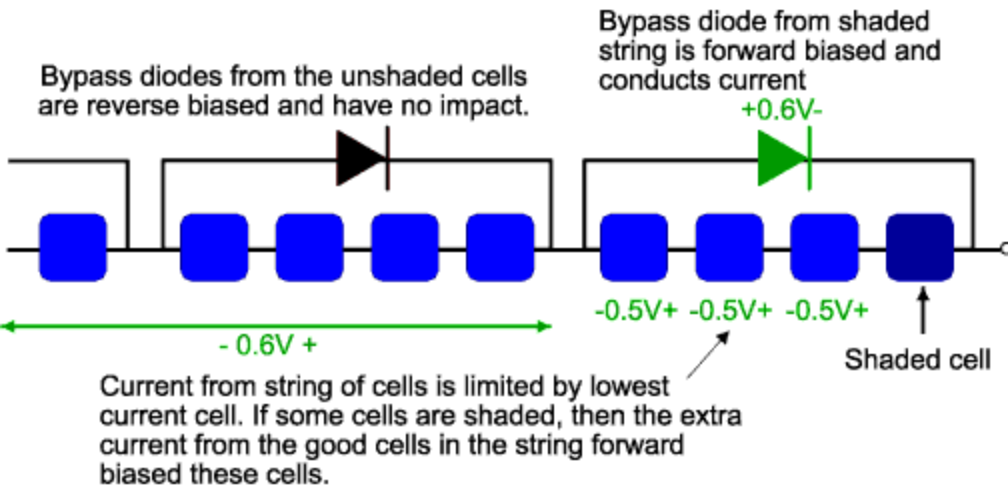
Celula solară (fotovoltaica)

- ▶ pentru utilizare în practică
 - modulele sunt conectate în serie și/sau paralel pentru obținerea tensiunilor/curenților necesari pentru aplicatie



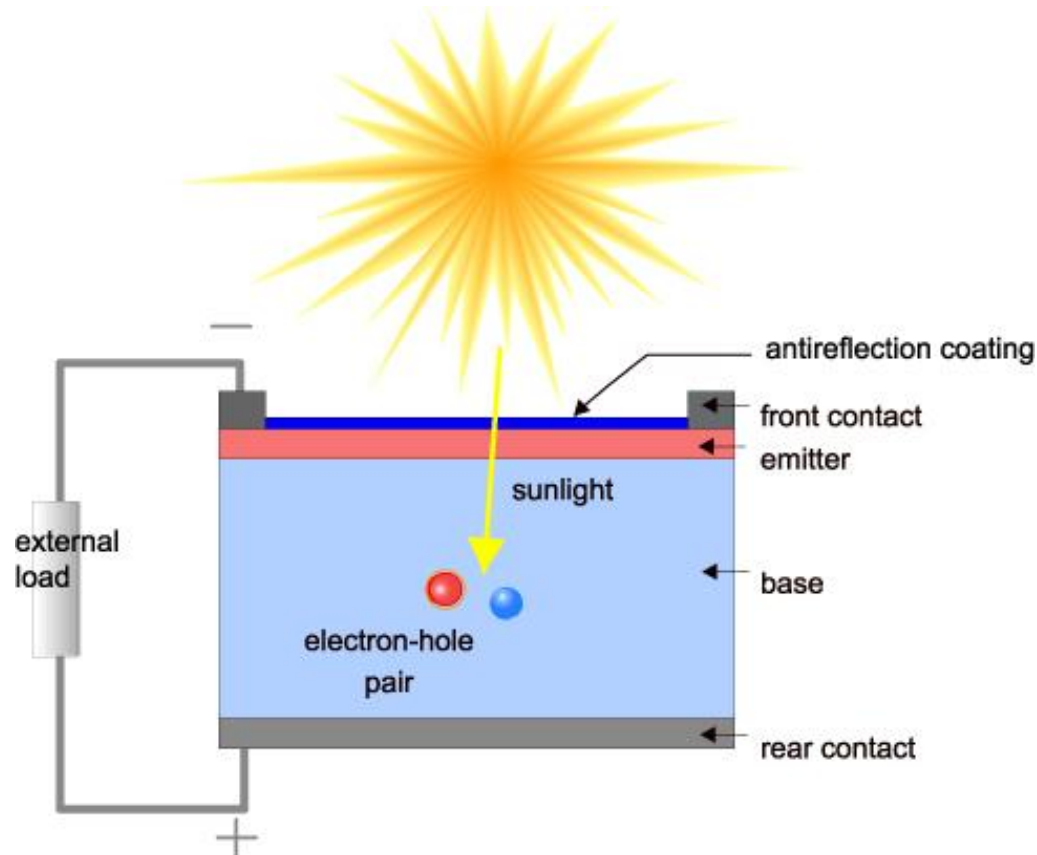
Celula solară (fotovoltaica)

- ▶ pentru utilizare în practică
 - diode pentru flexibilitate



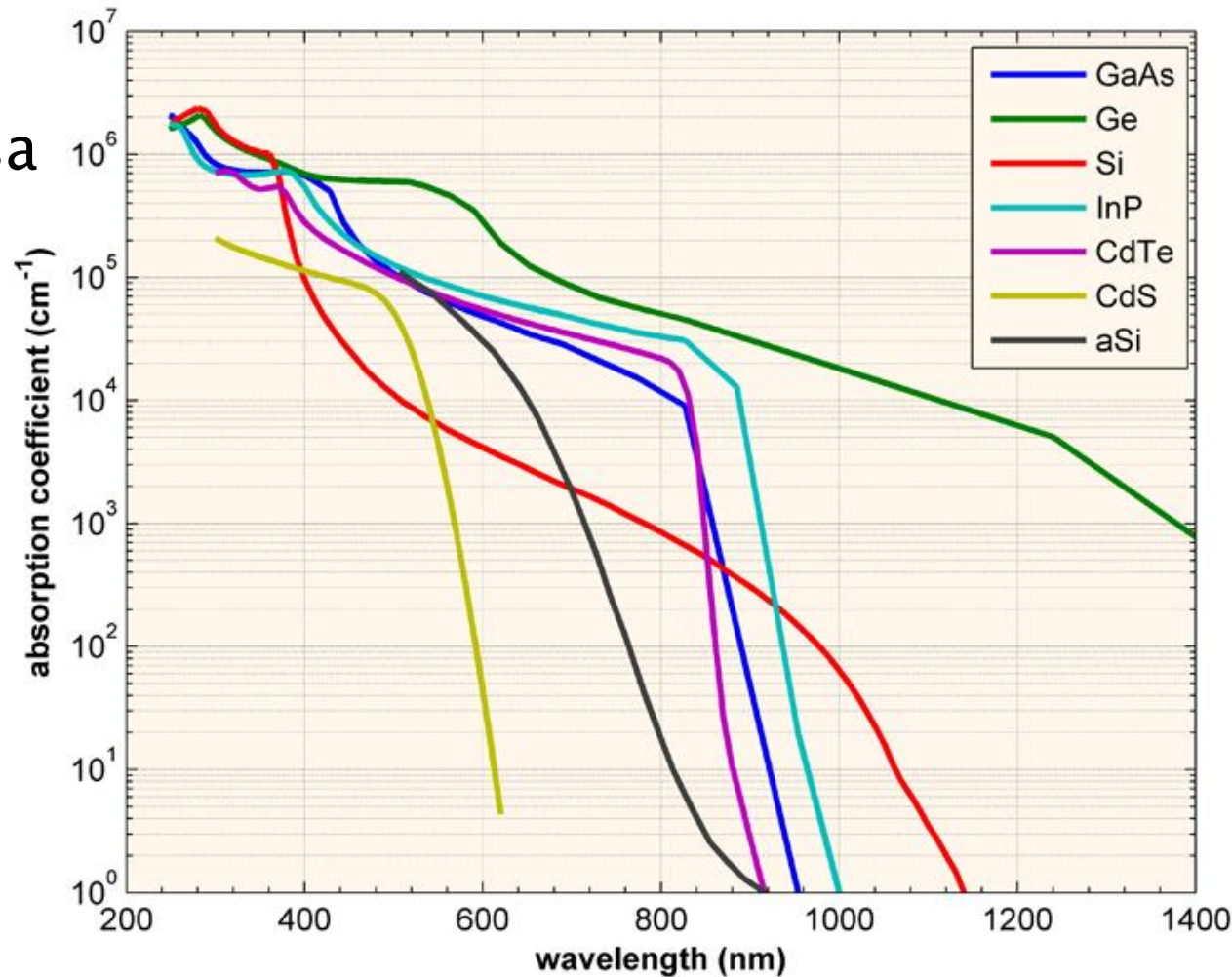
Celula solară (fotovoltaica)

- ▶ în principiu o dioda



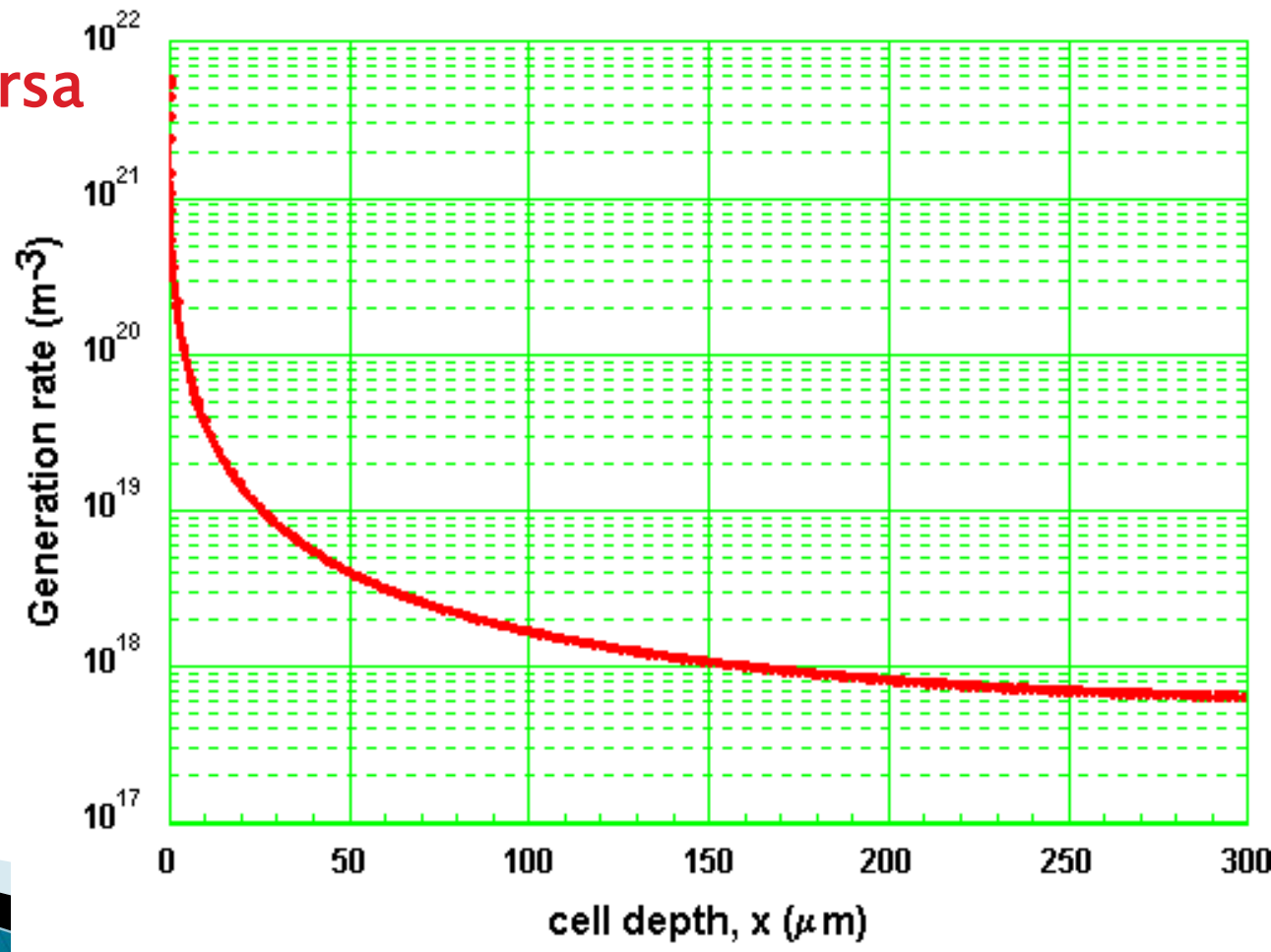
Celula solară

- ▶ probabilitate de generare a purtatorilor depinde de
 - **material**
 - distanța parcursă



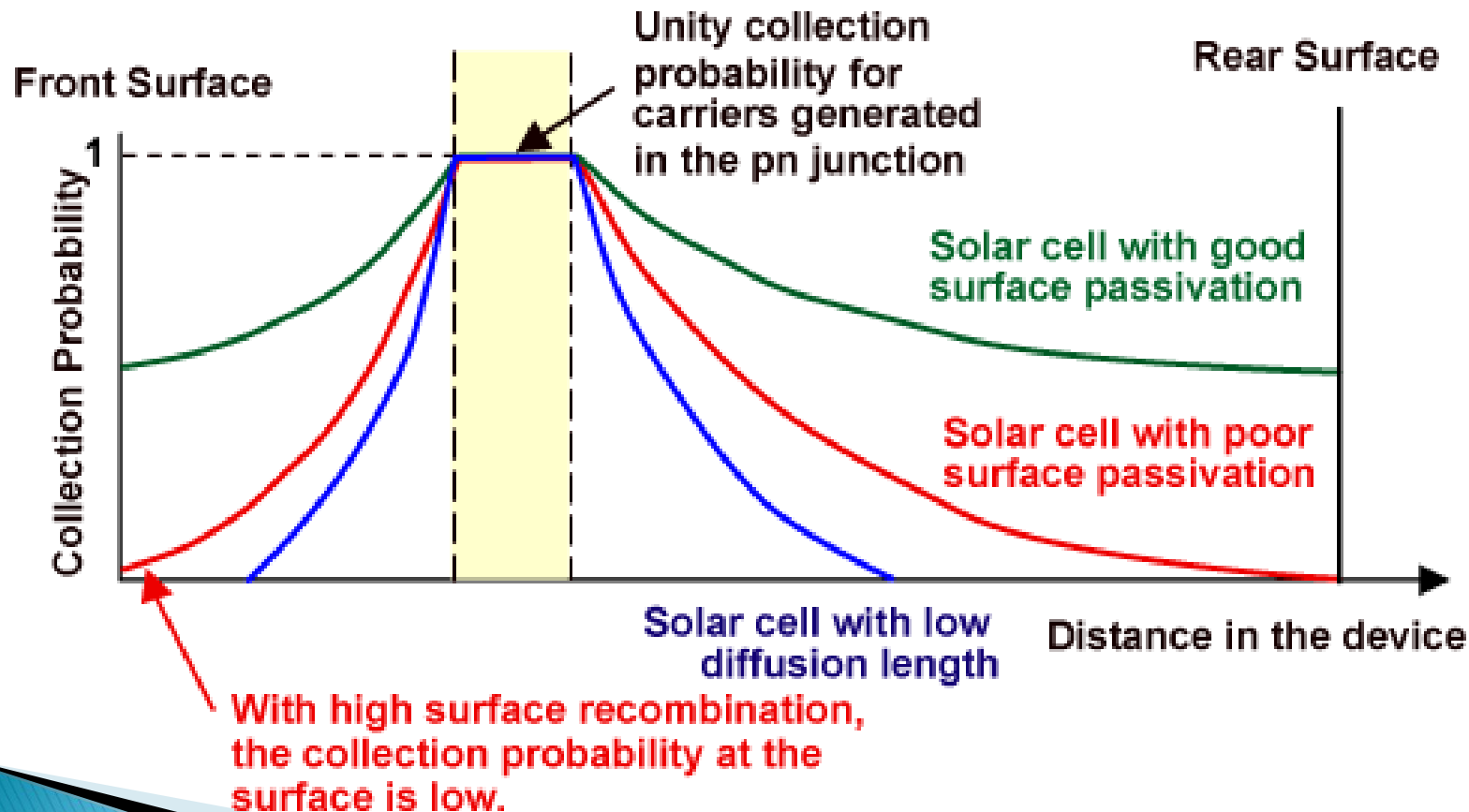
Celula solara

- ▶ probabilitate de generare a purtatorilor depinde de
 - material
 - **distanța parcursă**



Celula solara

- ▶ probabilitate de captura a purtatorilor



Celula solară/Fotodioda

- ▶ Energia necesara pentru eliberarea unei perechi electron gol

$$h\nu = \frac{hc}{\lambda} \geq E_g$$

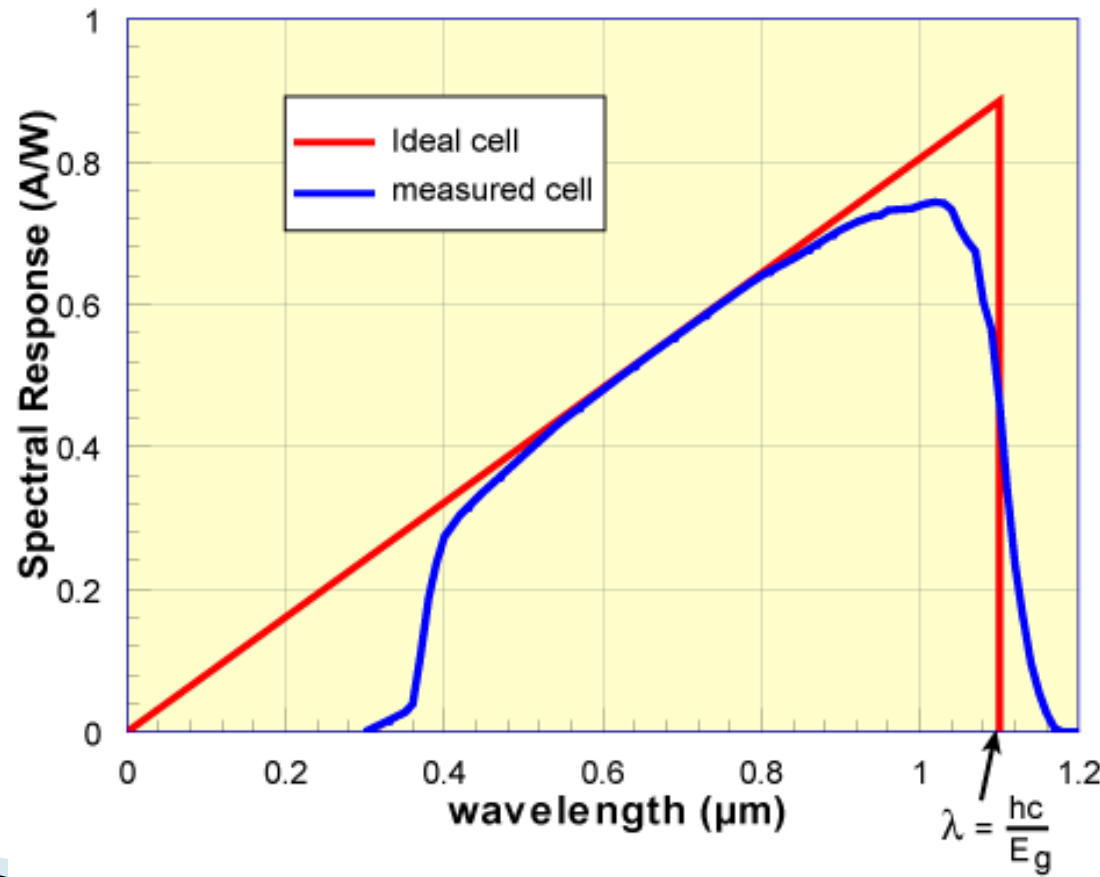
- ▶ Lungime de undă de taiere

$$\lambda_{\max} = \frac{hc}{E_g}$$

- ▶ Coeficientul de absorbtie are valoare mare la lungimi de undă reduse
- ▶ Ca urmare comportarea **tuturor** materialelor este de tip trece banda

Celula solară

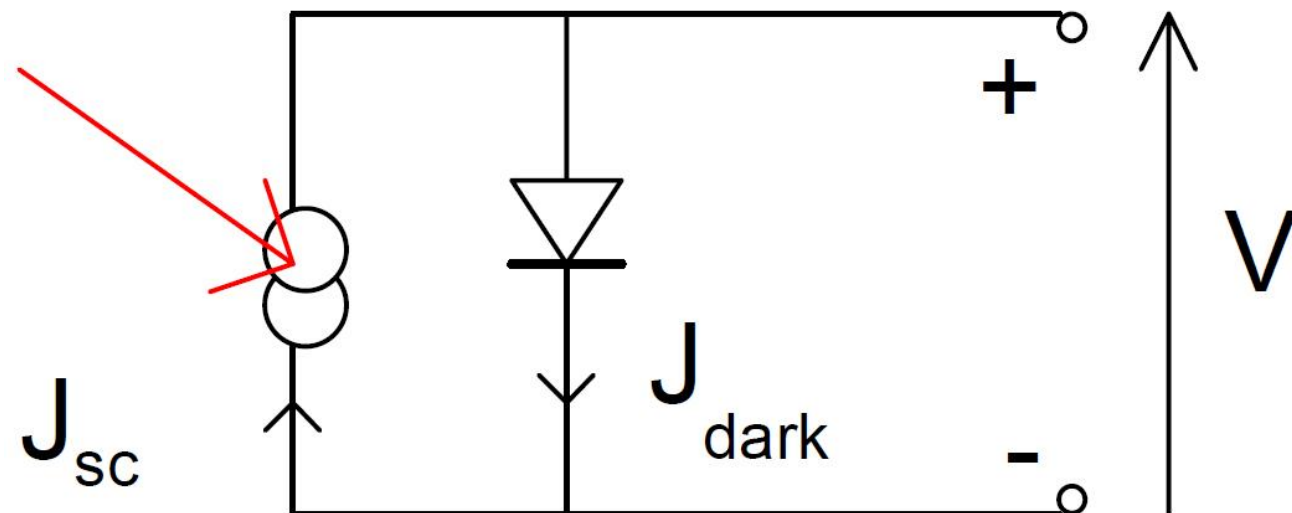
- ▶ raspuns spectral



Celula solară

▶ Schema echivalentă

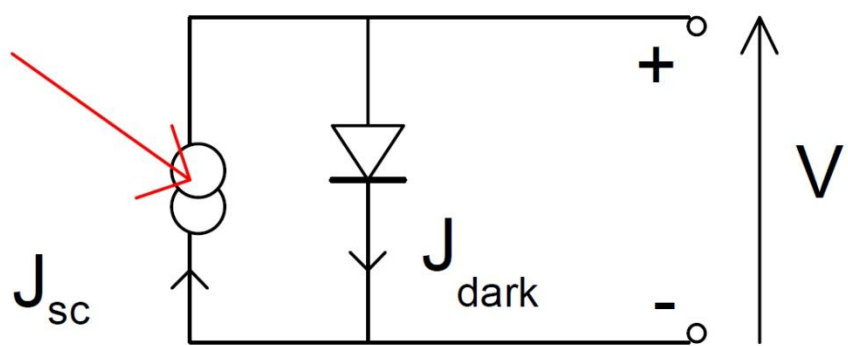
- dioda
- sursa de curent generat de fluxul de fotoni incident



Celula solara

▶ Schema echivalenta

- dioda
- sursa de curent generat de iluminarea energetica incidenta
 - curent de intuneric



$$I_d(V) = I_0 \cdot (e^{eV/KT} - 1)$$

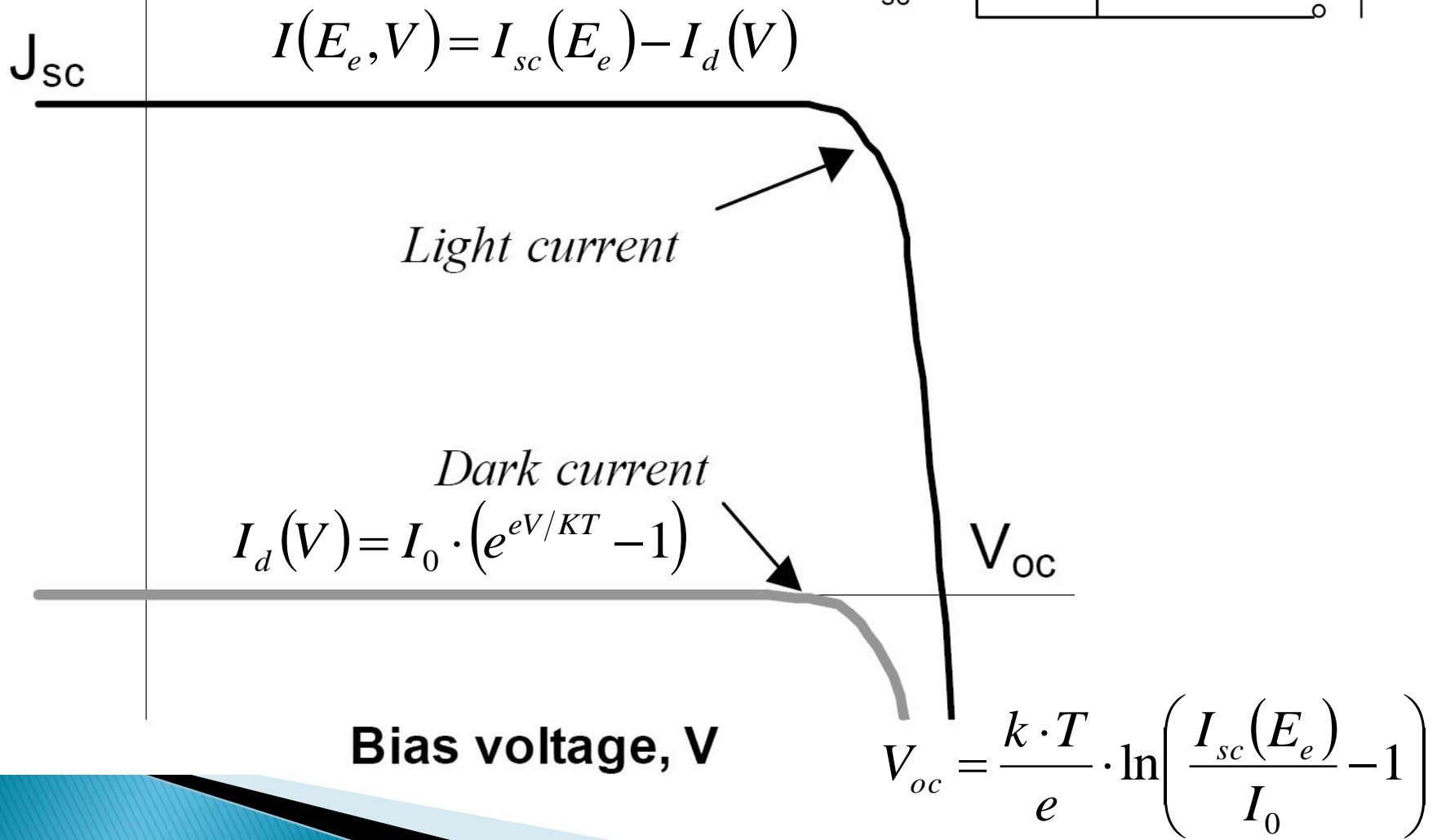
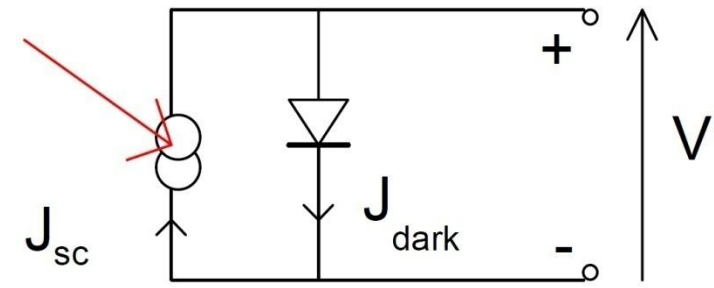
- adaugarea curentului generat de fotoni

$$I(E_e, V) = I_{sc}(E_e) - I_d(V)$$

- tensiunea in gol

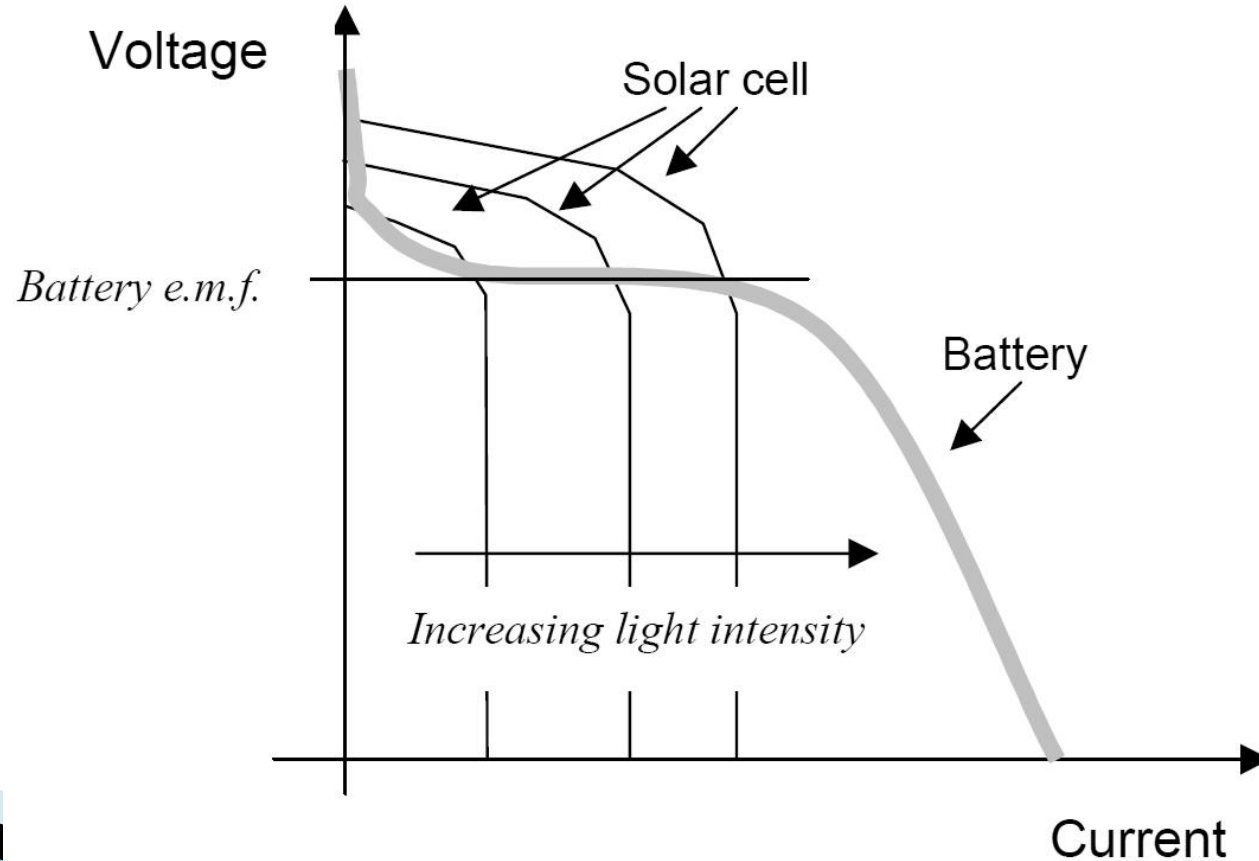
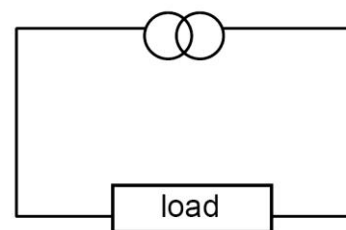
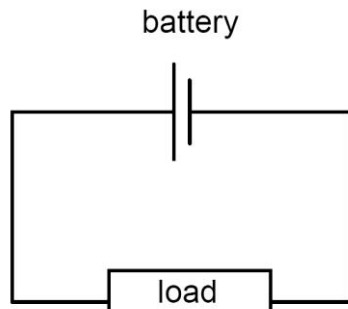
$$V_{oc} = \frac{k \cdot T}{e} \cdot \ln \left(\frac{I_{sc}(E_e)}{I_0} - 1 \right)$$

Celula solară



Celula solara

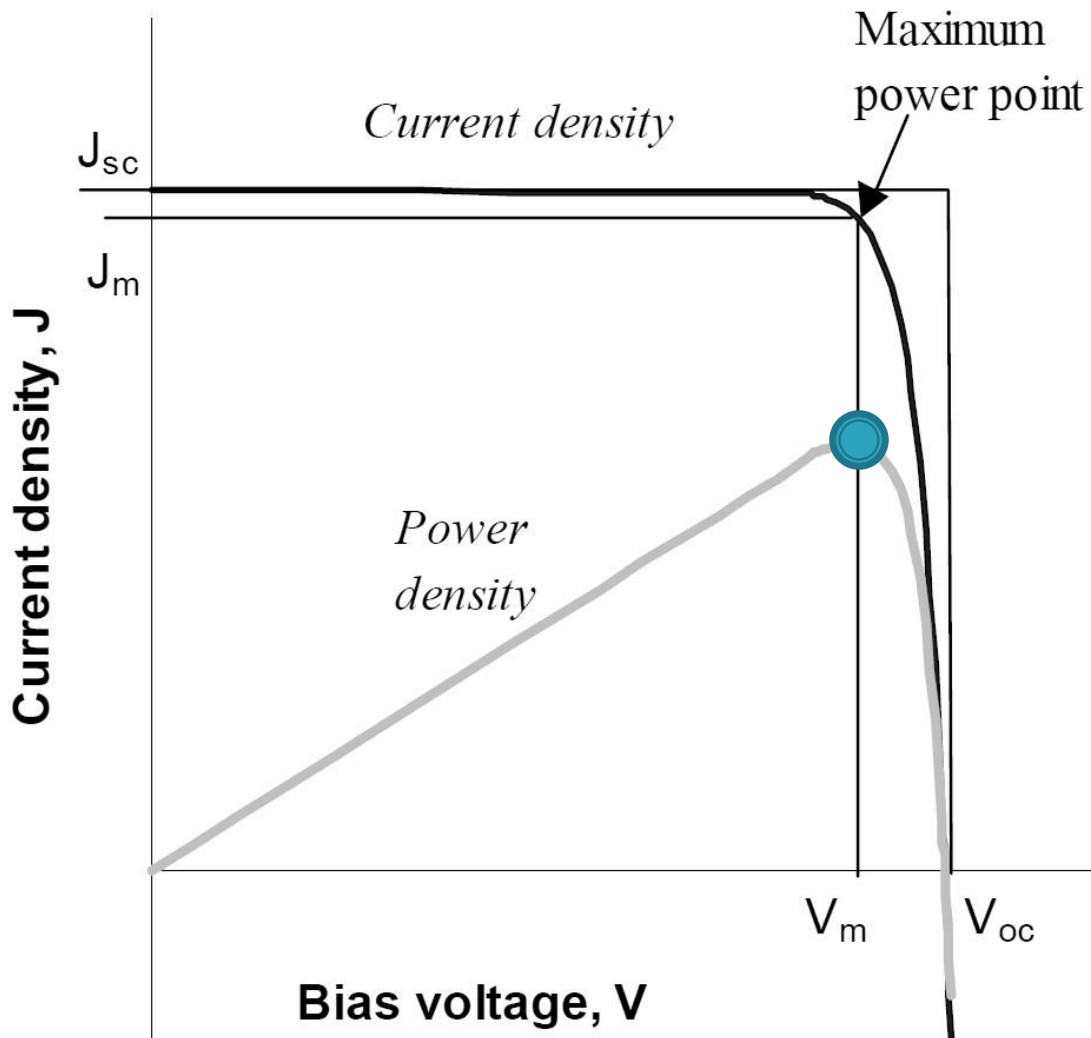
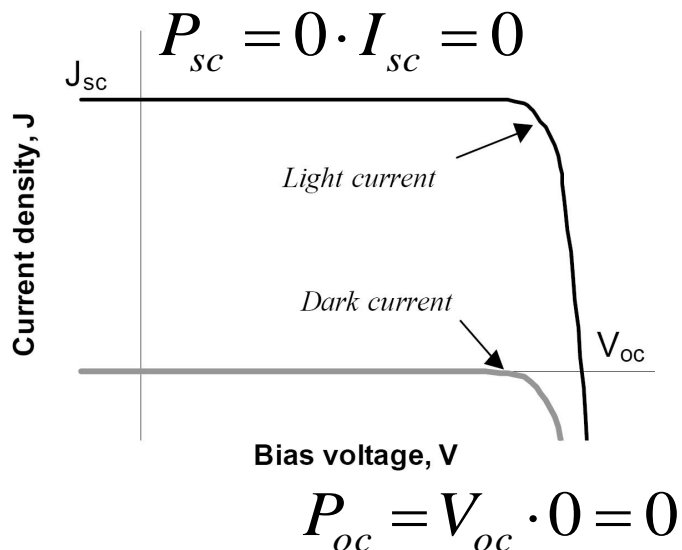
- ▶ poate fi folosita in loc de baterie intr-un circuit electric
 - cu anumite diferente



Celula solară

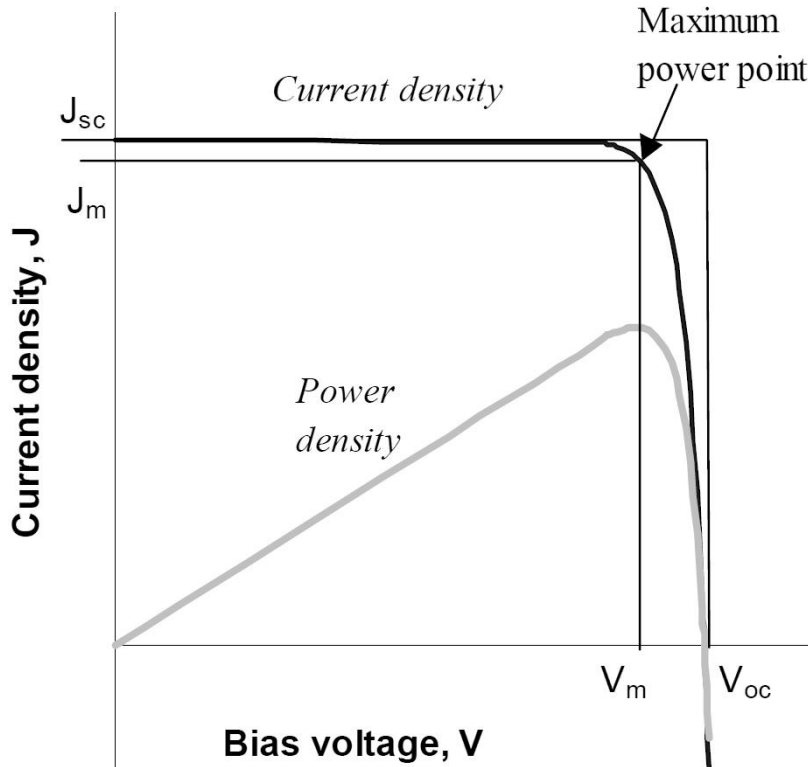
▶ Putere generată

$$P = V \cdot I$$



Celula solara

▶ Putere generata



$$P_m = V_{pm} \cdot I_{pm}$$

▶ Valorile de curent si tensiune pentru putere maxima sunt date de catalog, circuitul de conditionare care urmeaza dupa celule poate fi **optimizat** sa functioneze la aceste valori

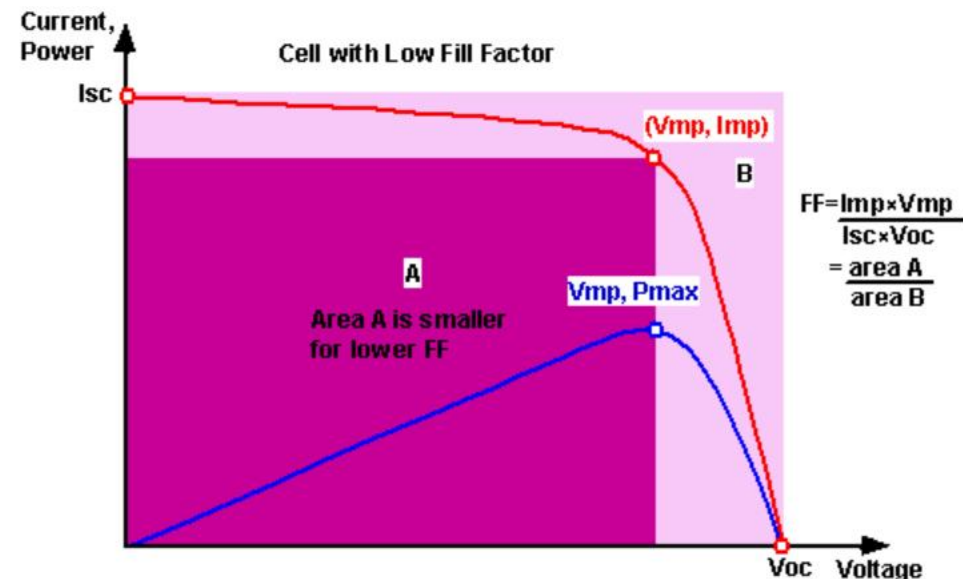
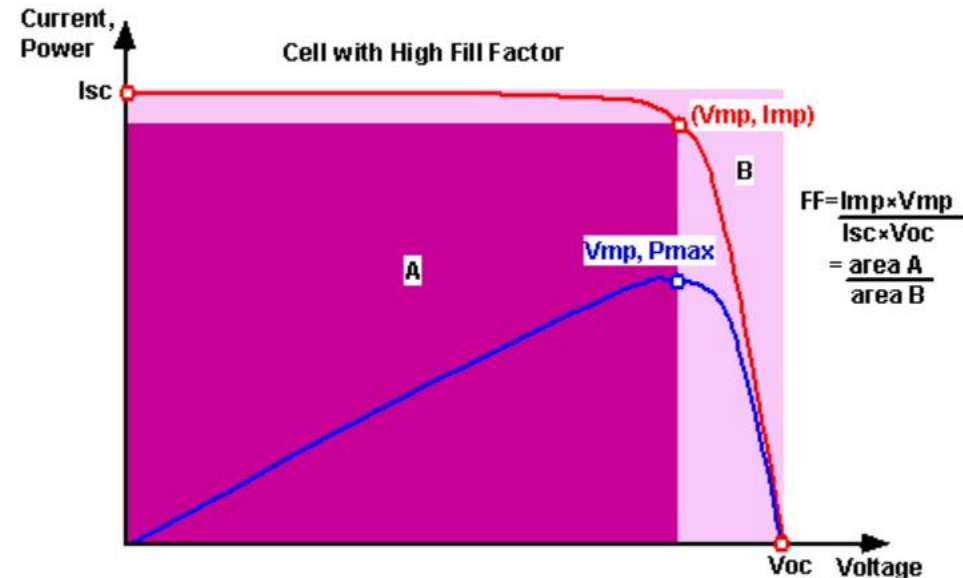
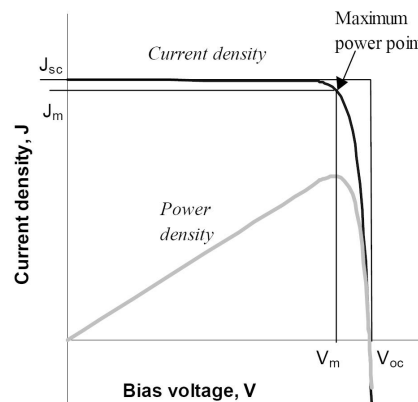
Celula solară

- ▶ Factor de umplere

$$FF = \frac{V_{pm} \cdot I_{pm}}{V_{oc} \cdot I_{sc}}$$

- ▶ o masură a calității celulei
 - dependent de material

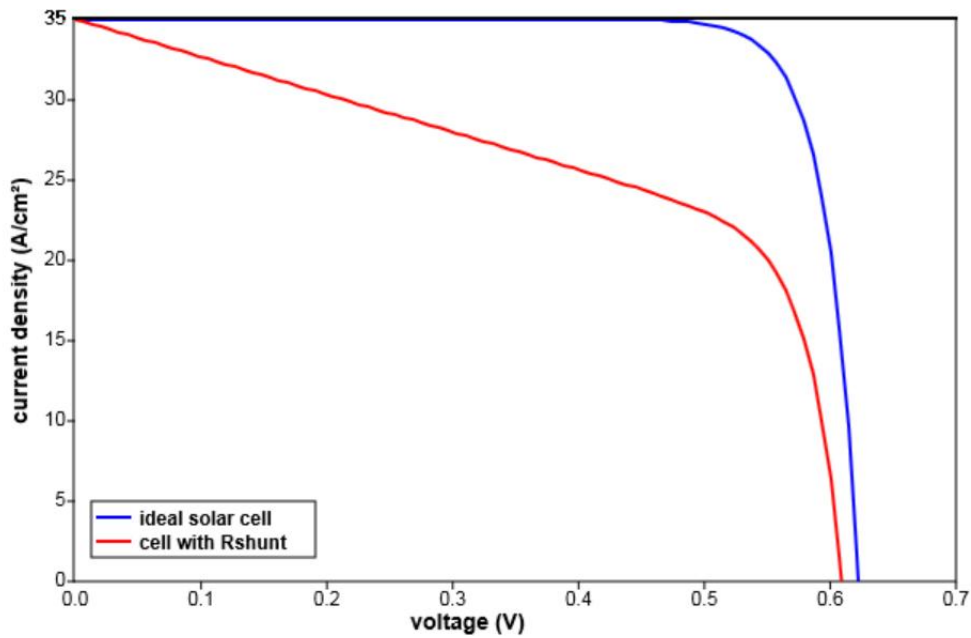
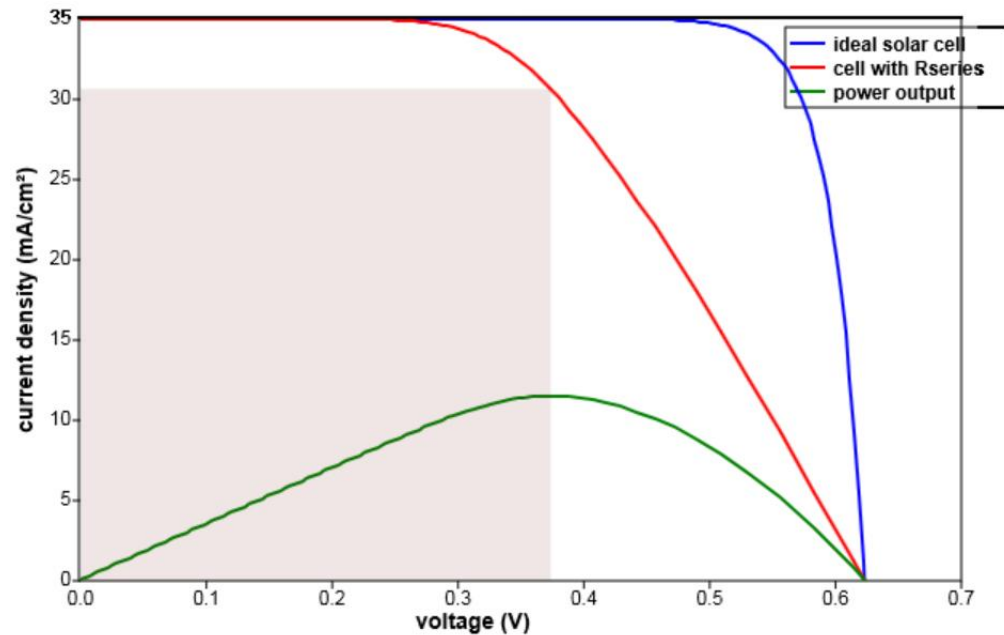
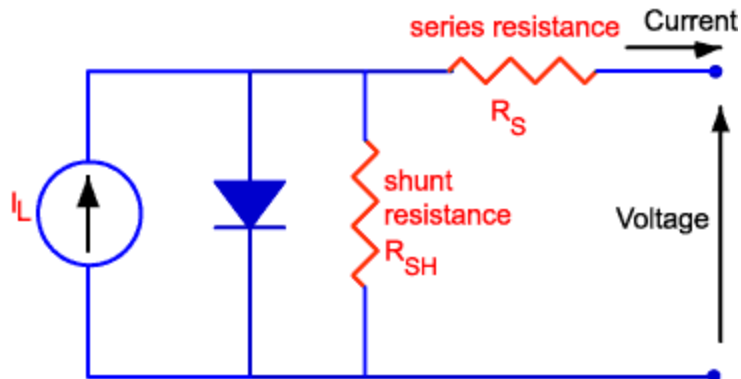
$$P_m = V_{pm} \cdot I_{pm}$$



Efect pierderi

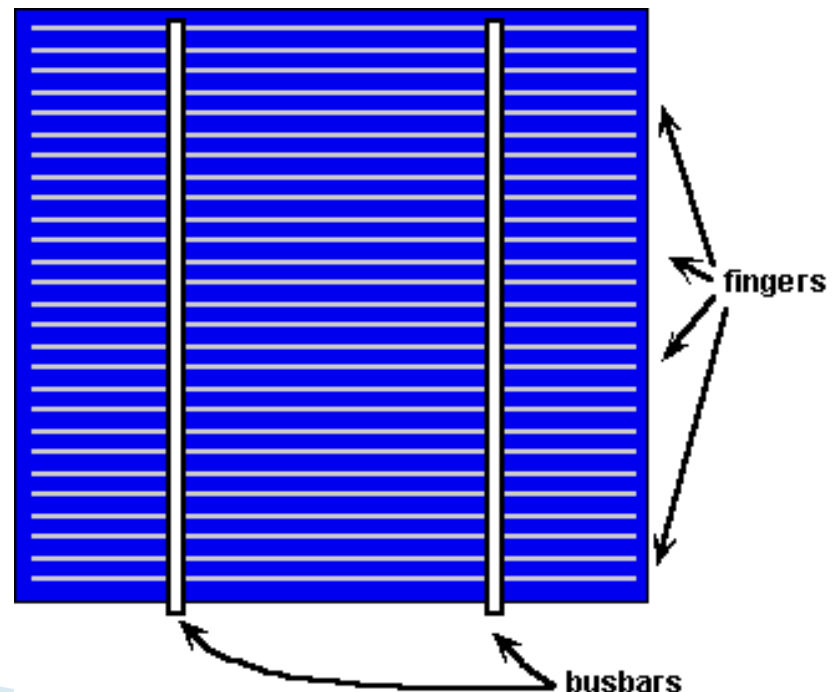
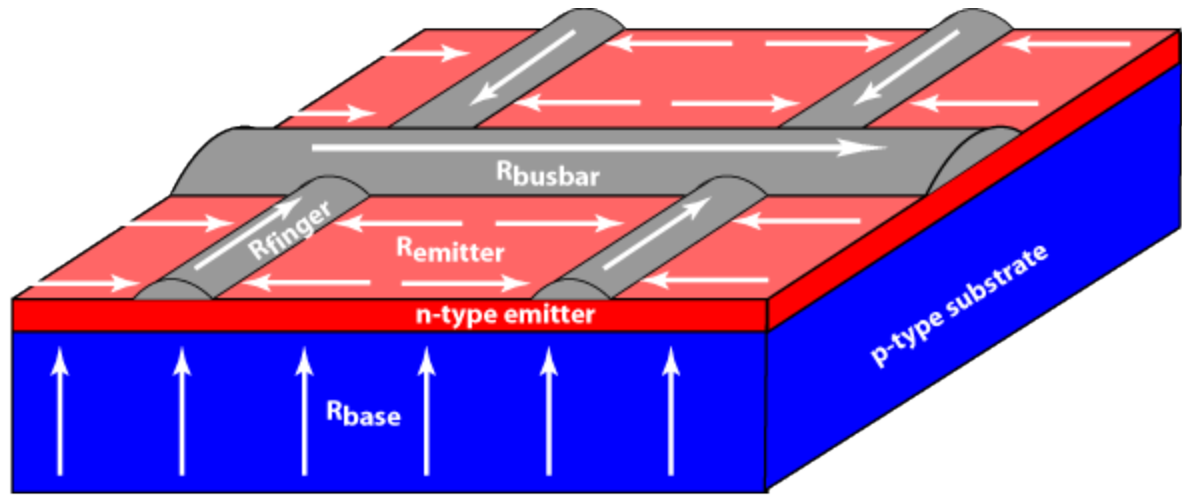
- ▶ Rezistenta serie
 - rezistenta echivalenta a semiconductorului utilizat
 - rezistenta jonctiunilor metal/semiconductor
 - rezistenta contactului metalic al anodului si colectorului
- ▶ Rezistenta paralel
 - generata de defecte de fabricatie

Efect pierderi



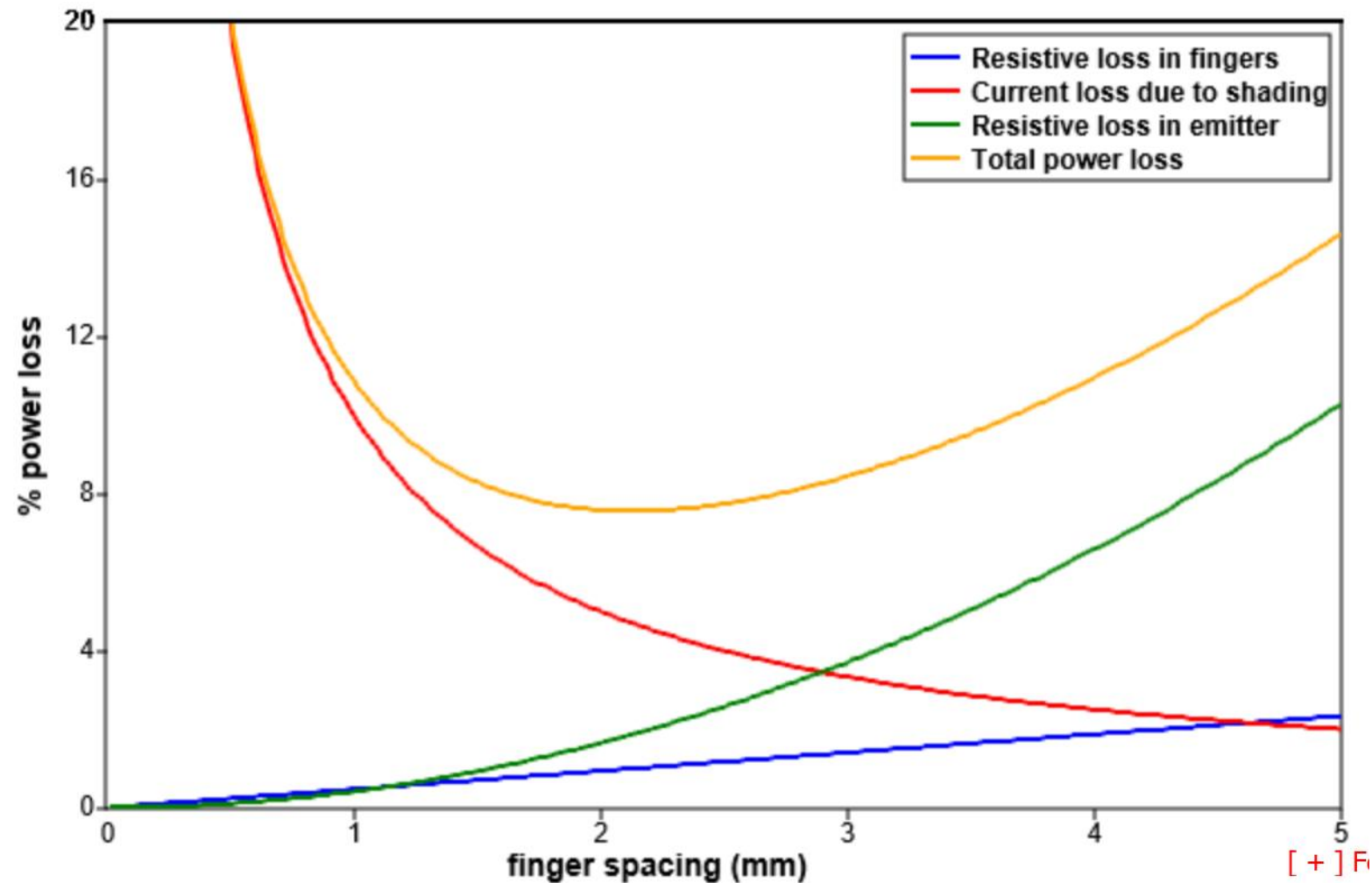
Rezistenta serie

- ▶ Minimizare R_s
 - bare colectoare
 - “degete”
- ▶ Comprimis
 - rezistenta
 - suprafata metalica reflectorizanta



Rezistenta serie

- ▶ Comprimis rezistenta/suprafata metalica



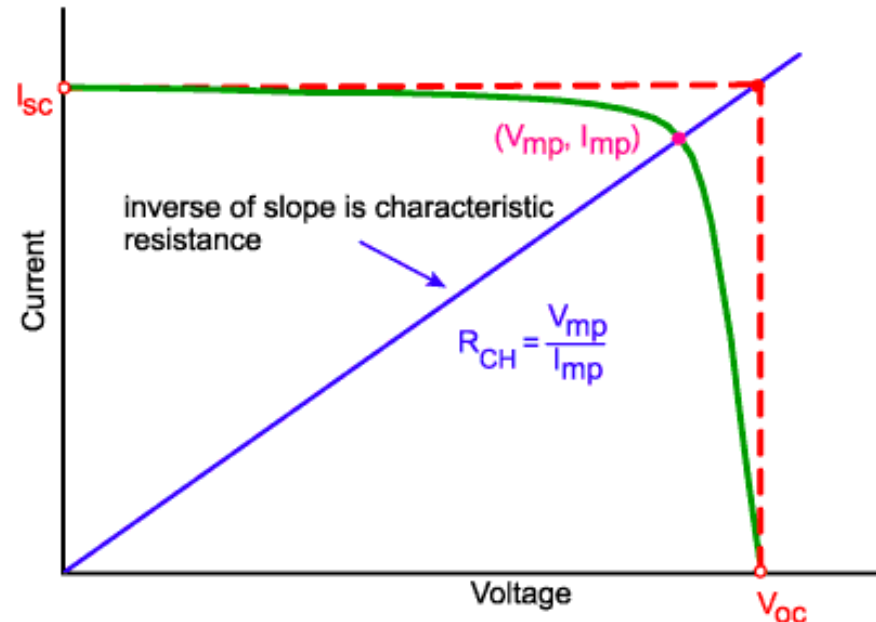
Rezistenta caracteristica

- ▶ Raportul intre V si I cand celula lucreaza la eficienta maxima

$$R_C = \frac{V_{pm}}{I_{pm}} \approx \frac{V_{OC}}{I_{SC}}$$

- ▶ Daca sarcina este egala cu R_C , celula lucreaza la eficienta maxima

- ▶ Tipic, celulele comerciale opereaza la tensiune mica si curent mare
 - ▶ conexiunile la celule trebuie sa aiba rezistente de ordinul $m\Omega$



$$R_C = \frac{0.6V}{9A} \approx 0.067\Omega$$

Eficienta celulei solare

- ▶ raportul dintre puterea electrica generata si puterea optica incidenta

$$\eta = \frac{P_m}{P_o} = \frac{V_{pm} \cdot I_{pm}}{P_o}$$

$$\eta = \frac{P_m}{P_o} = \frac{V_{oc} \cdot I_{sc} \cdot FF}{P_o}$$

- ▶ Puterea optica depinde de fluxul energetic al luminii incidente si suprafata celulei

$$P_o = S \cdot \int_0^{\infty} \Phi_e(\lambda) d\lambda$$

Eficiența celulei solare

- ▶ determină suprafața necesară pentru obținerea unei puteri dorite

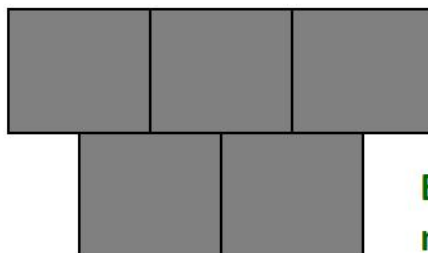
100% efficiency

(impossible to achieve)



20% efficiency

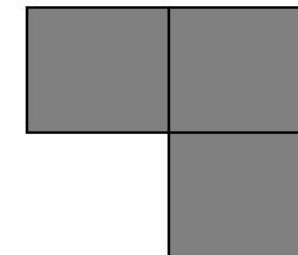
(monocrystalline silicon solar cells)



Expensive material

33% efficiency

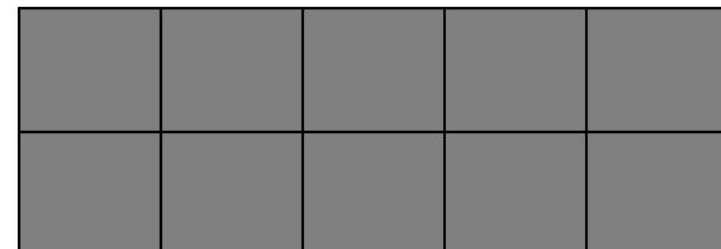
(space-grade solar cells)



Very Expensive material

10% efficiency

(thin film material)



Relatively Inexpensive material

Eficienta celulei solare

- ▶ Există o limită maximă teoretică pentru fiecare material semiconductor
 - fiecare material are o banda spectrală proprie, **mai mică** decât banda spectrală a soarelui
- ▶ valorile nu sunt foarte mari
 - din motive economice, recordurile nu sunt repetate în practică

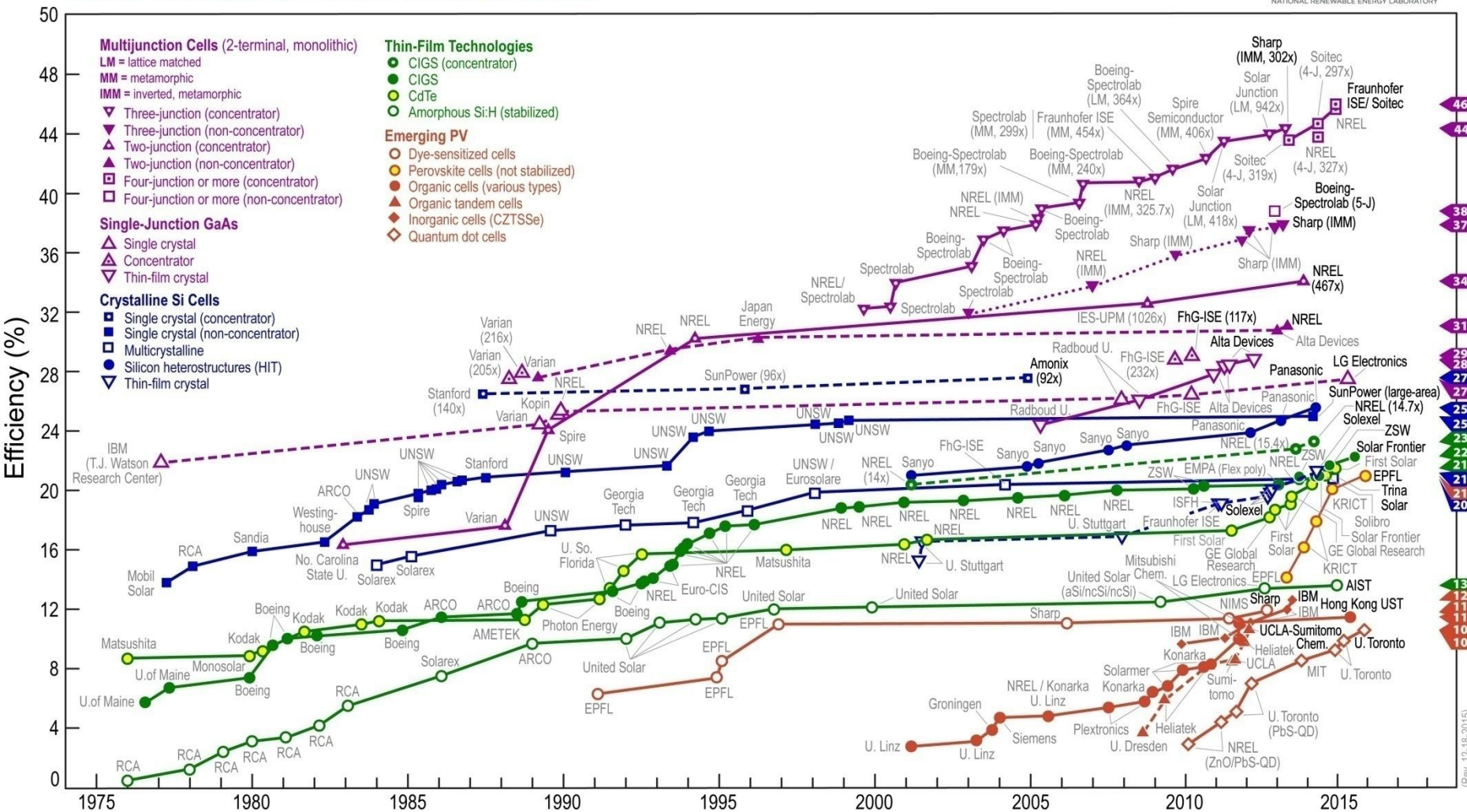
Table 1.1. Performance of some types of PV cell [Green *et al.*, 2001].

Cell Type	Area (cm ²)	V _{oc} (V)	J _{sc} (mA/cm ²)	FF	Efficiency (%)
crystalline Si	4.0	0.706	42.2	82.8	24.7
crystalline GaAs	3.9	1.022	28.2	87.1	25.1
poly-Si	1.1	0.654	38.1	79.5	19.8
a-Si	1.0	0.887	19.4	74.1	12.7
CuInGaSe ₂	1.0	0.669	35.7	77.0	18.4
CdTe	1.1	0.848	25.9	74.5	16.4

Eficienta maxima a celulei solare

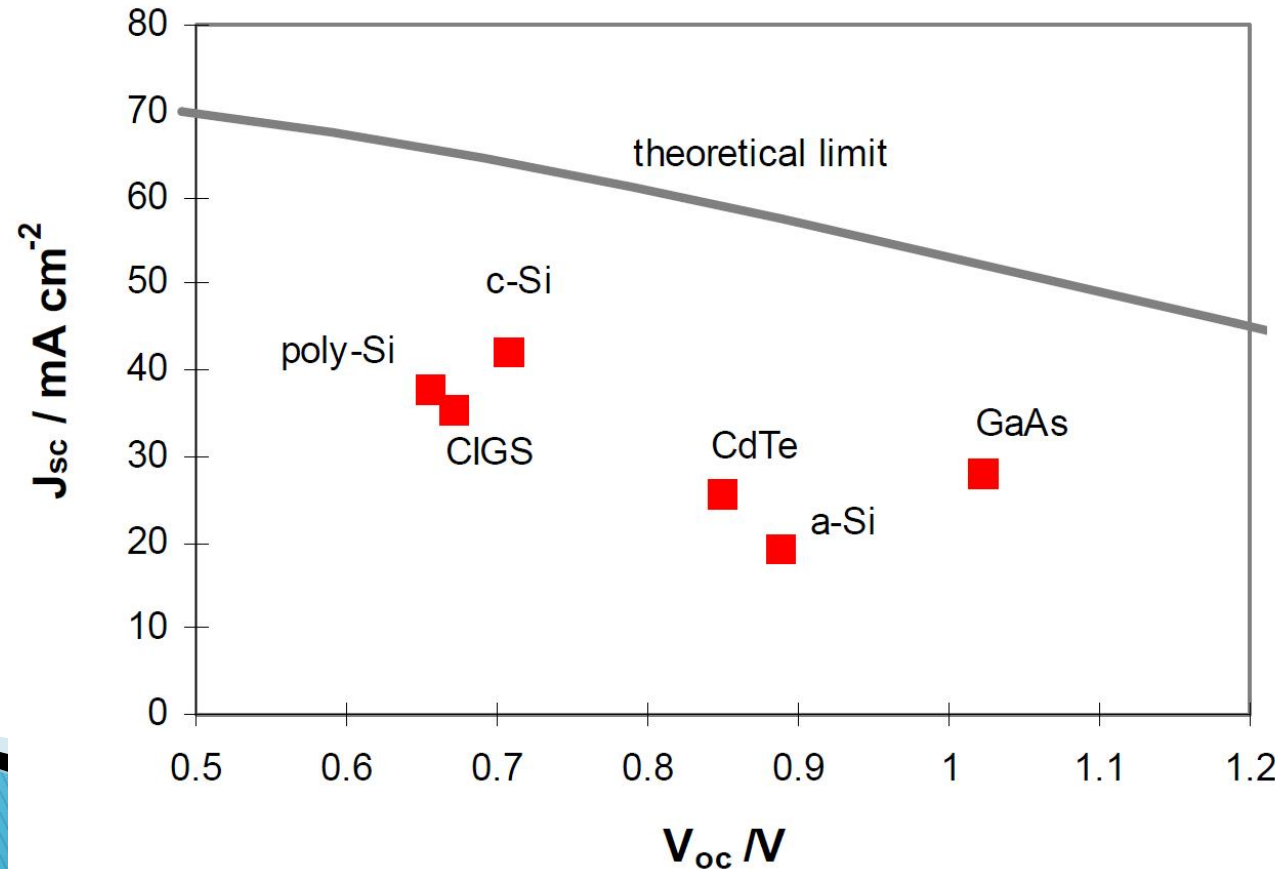
Best Research-Cell Efficiencies

NREL
NATIONAL RENEWABLE ENERGY LABORATORY



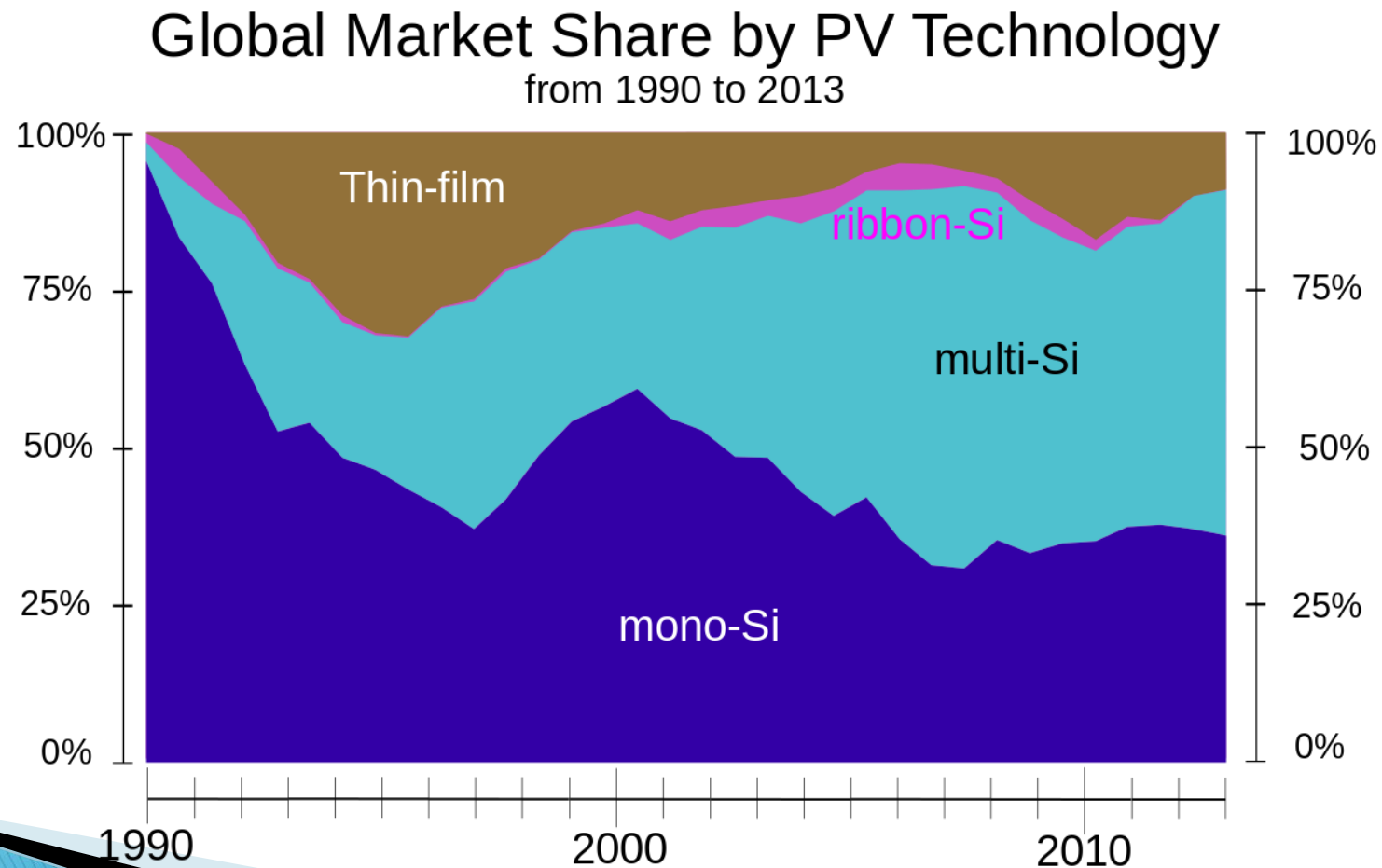
Dependenta de material

- ▶ materialele care ofera tensiuni mari au de obicei curenti mai mici
 - dependent de latimea benzii interzise



Realizari practice

- ▶ materialul preferat este Si



Tipic

80 WATT

POWERFUL PERFORMANCE. SHARP RELIABILITY.

POLY-CRYSTALLINE SILICON PHOTOVOLTAIC MODULE WITH 80W MAXIMUM POWER

Sharp's NE-80EJA photovoltaic modules offer industry-leading performance, durability, and reliability for a variety of electrical power requirements. Using breakthrough technology perfected by Sharp's 45 years of research and development, these modules incorporate an advanced surface texturing process to increase light absorption and improve efficiency. Common applications include cabins, solar power stations, pumps, beacons,



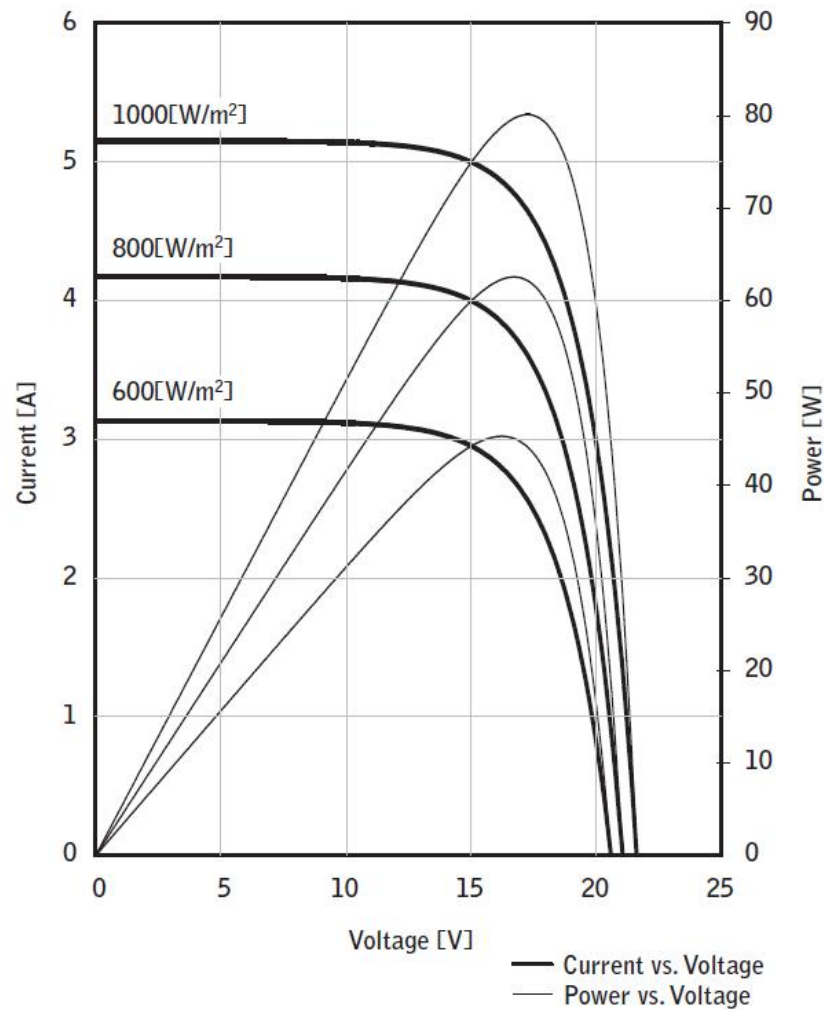
Tipic

ELECTRICAL CHARACTERISTICS

Cell	Poly-crystalline silicon
No. of Cells and Connections	36 in series
Open Circuit Voltage (Voc)	21.6V
Maximum Power Voltage (Vpm)	17.3V
Short Circuit Current (Isc)	5.16A
Maximum Power Current (Ipm)	4.63A
Maximum Power (Pmax)*	80W (+10% / -5%)
Module Efficiency (η_m)	12.40%
Maximum System Voltage	600VDC
Series Fuse Rating	10A
Type of Output Terminal	Junction Box

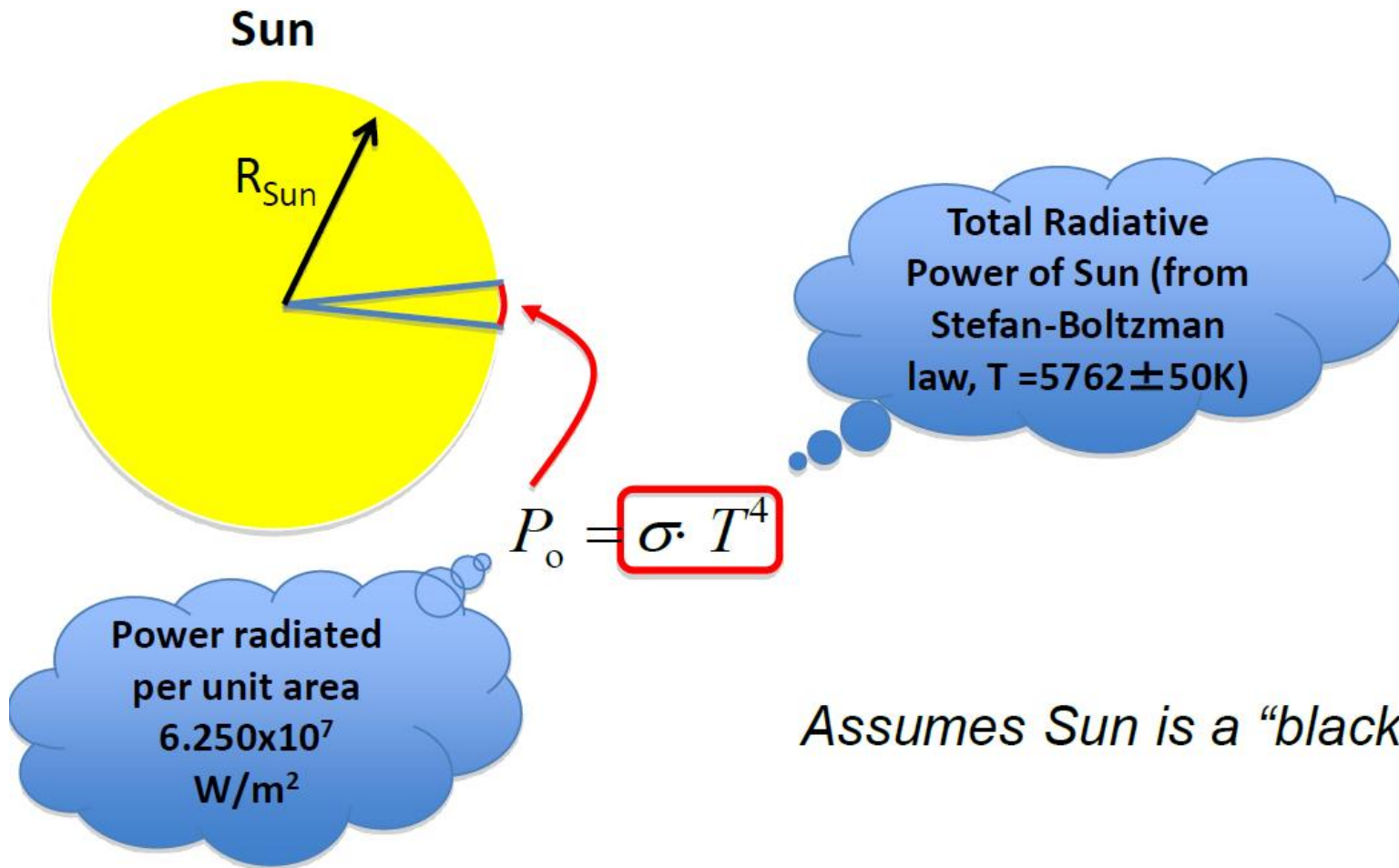
IV CURVES

Cell Temperature: 25°C



Current, Power vs. Voltage Characteristics

Energia solară disponibilă



Energia solara disponibila

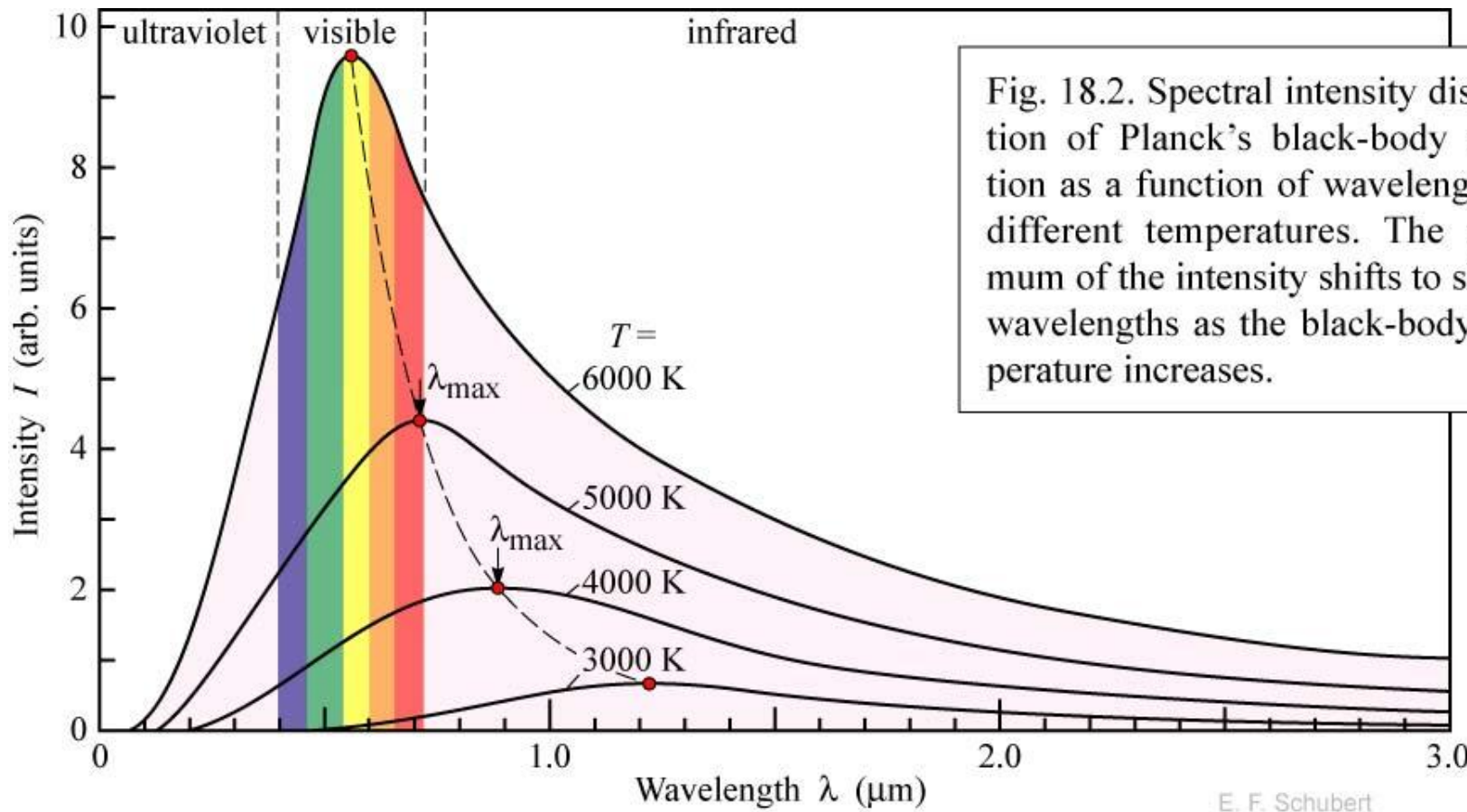
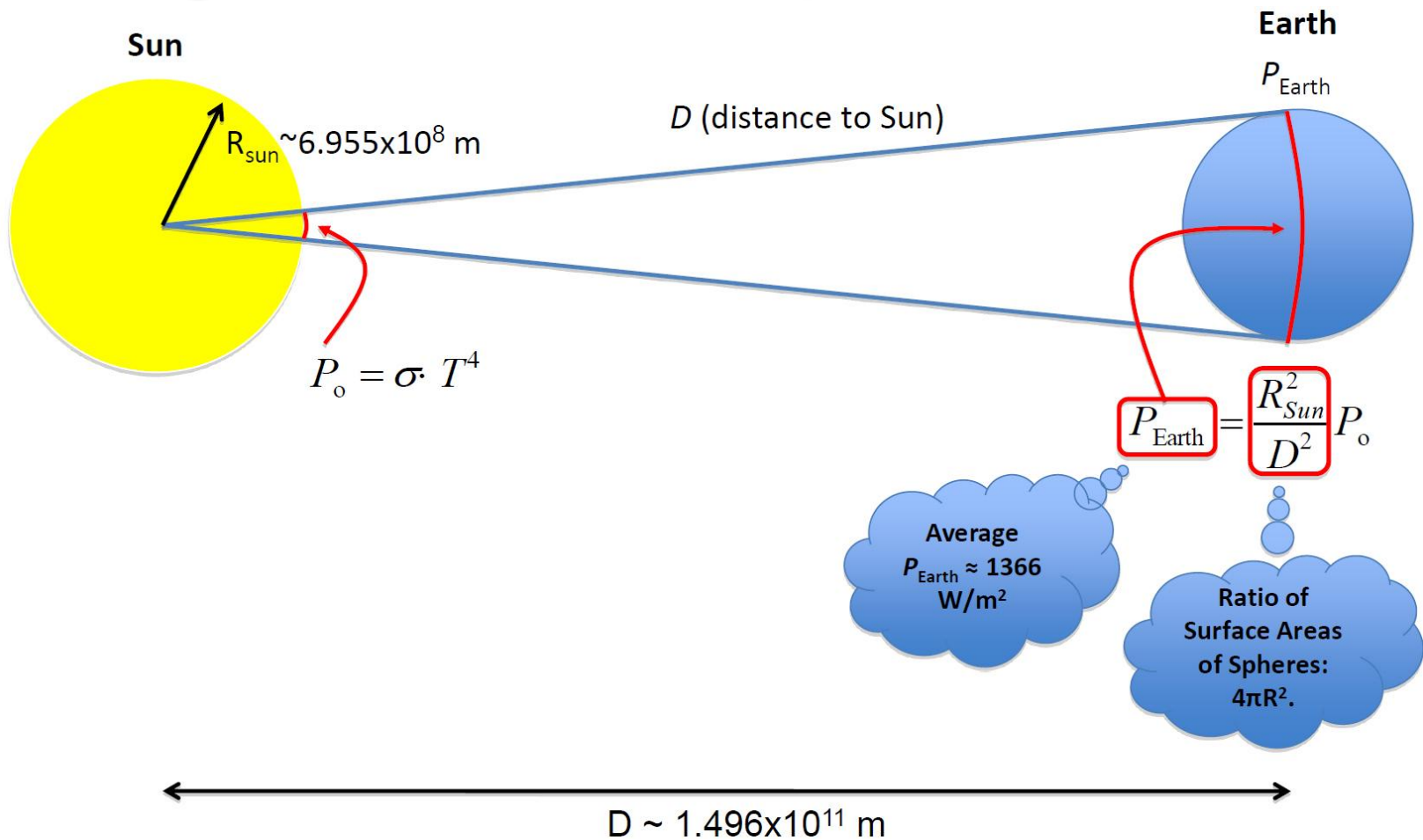


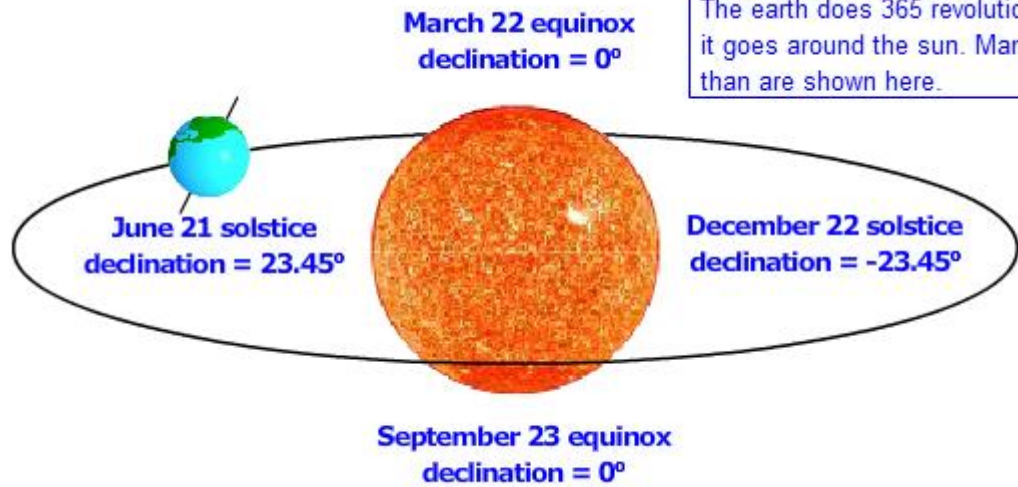
Fig. 18.2. Spectral intensity distribution of Planck's black-body radiation as a function of wavelength for different temperatures. The maximum of the intensity shifts to shorter wavelengths as the black-body temperature increases.

Energia solară disponibilă



Energia receptionată pe toata suprafața Pamantului
intr-o ora mai mare decat toata energia consumata
de intreaga populatie intr-un an

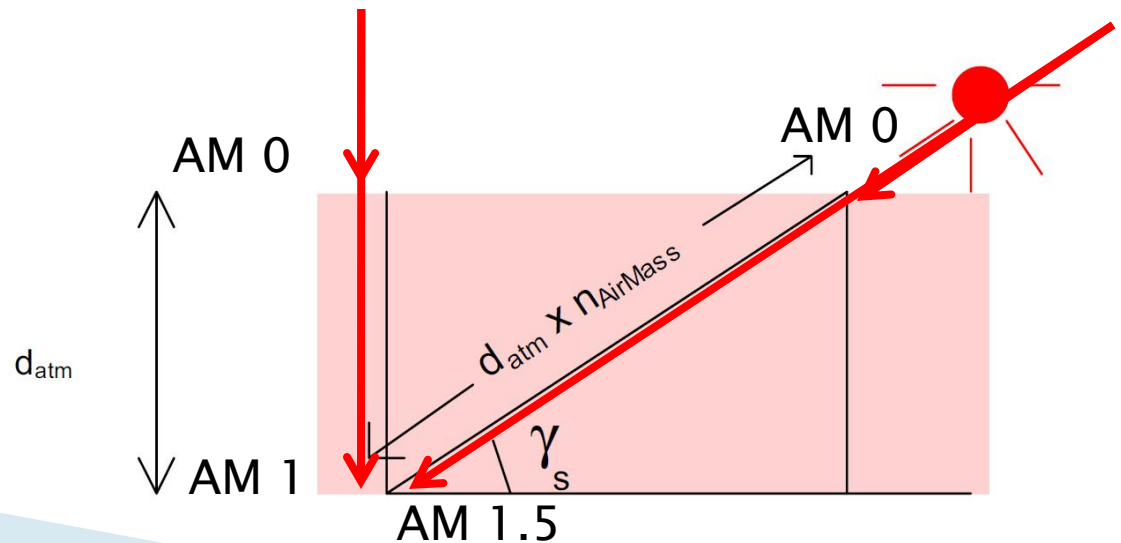
Energia solară disponibilă



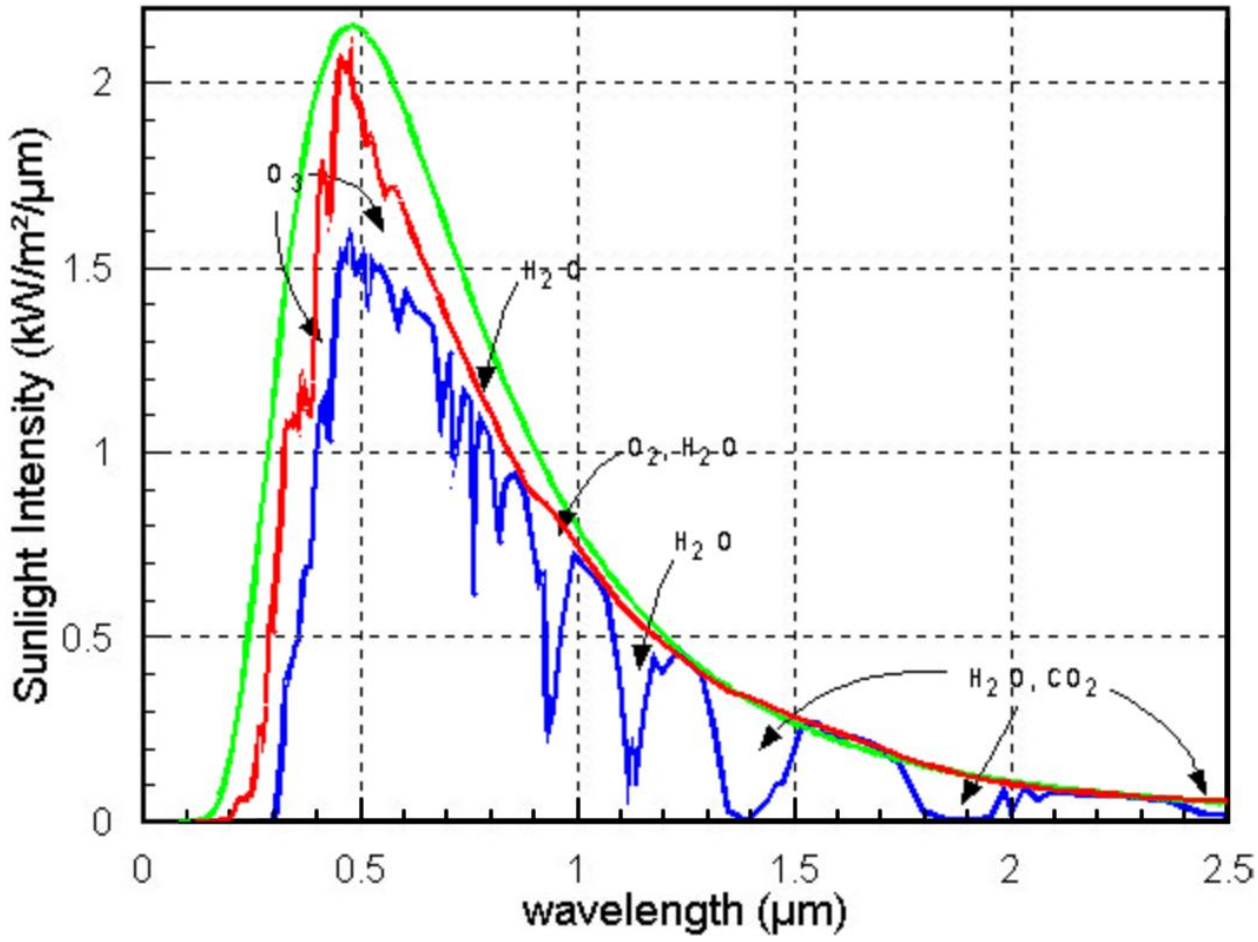
AM 0 = radiatia în afara atmosferei terestre

AM 1 = radiatia la suprafața terestră, incidentă normală

AM 1.5 = radiatia la suprafața terestră, incidentă corespunzătoare latitudinii de 48° (**standard**)

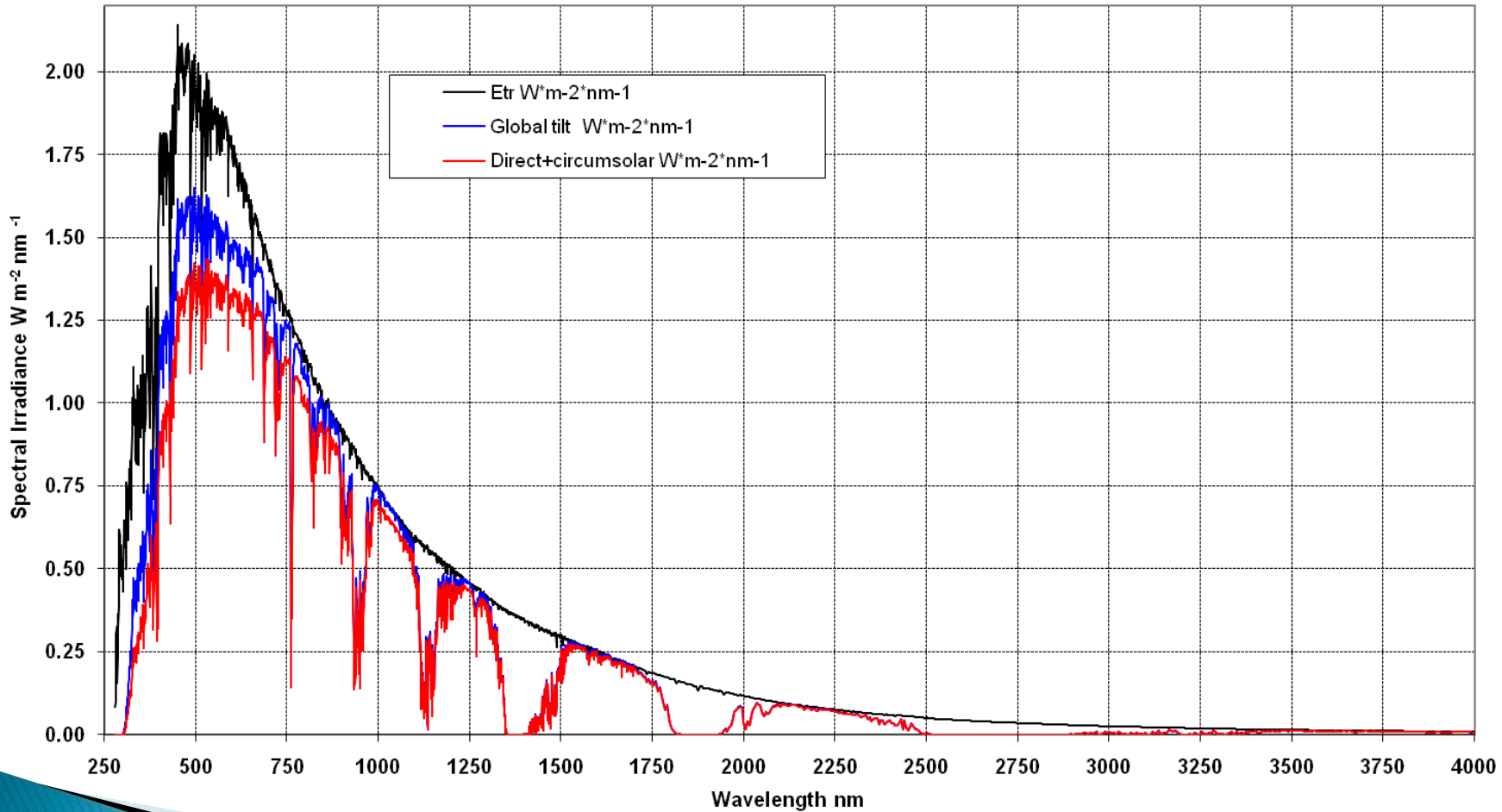


Energia solar disponibila

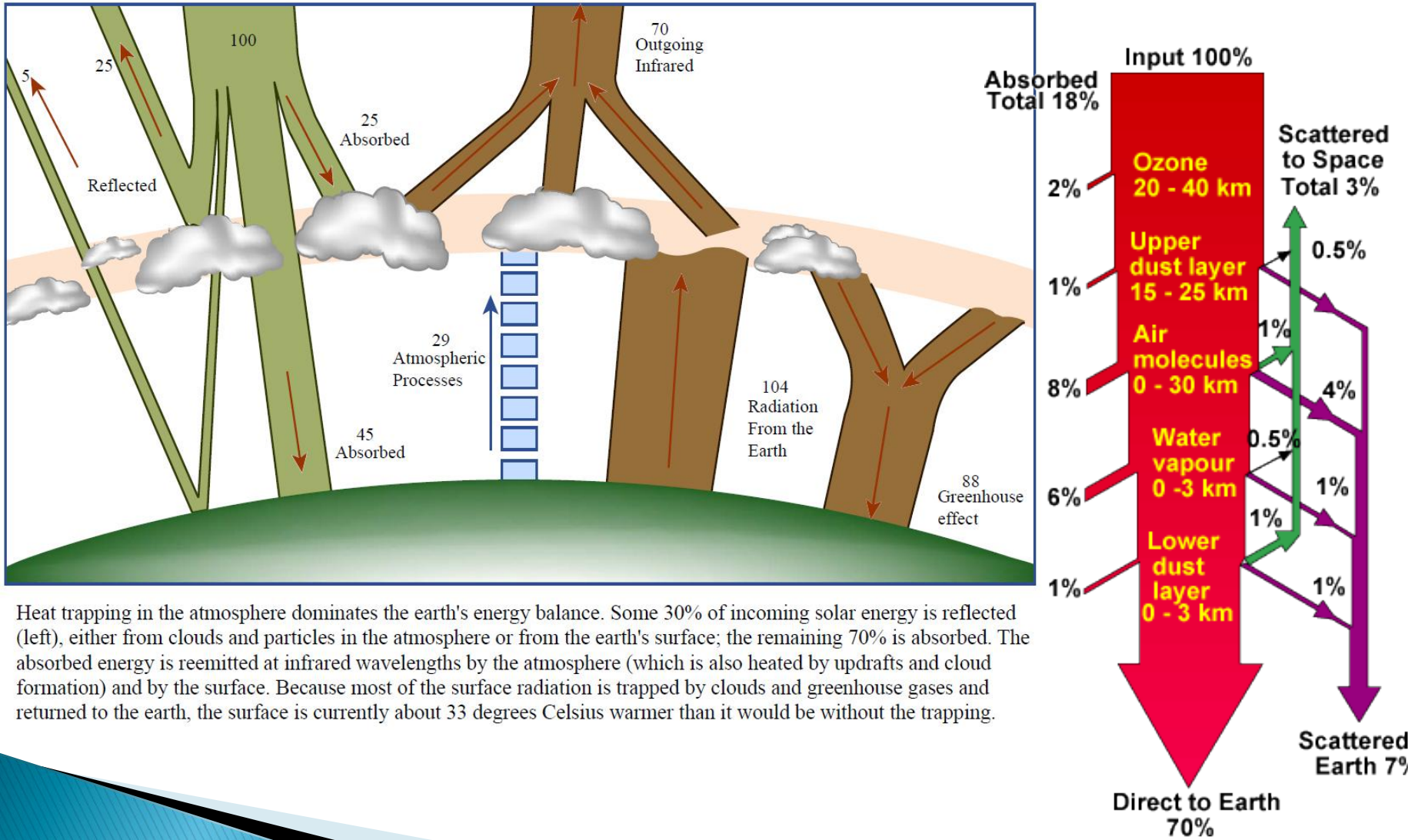


Energia solar disponibila

ASTM G173-03 Reference Spectra



Energia solara disponibila



Heat trapping in the atmosphere dominates the earth's energy balance. Some 30% of incoming solar energy is reflected (left), either from clouds and particles in the atmosphere or from the earth's surface; the remaining 70% is absorbed. The absorbed energy is reemitted at infrared wavelengths by the atmosphere (which is also heated by updrafts and cloud formation) and by the surface. Because most of the surface radiation is trapped by clouds and greenhouse gases and returned to the earth, the surface is currently about 33 degrees Celsius warmer than it would be without the trapping.

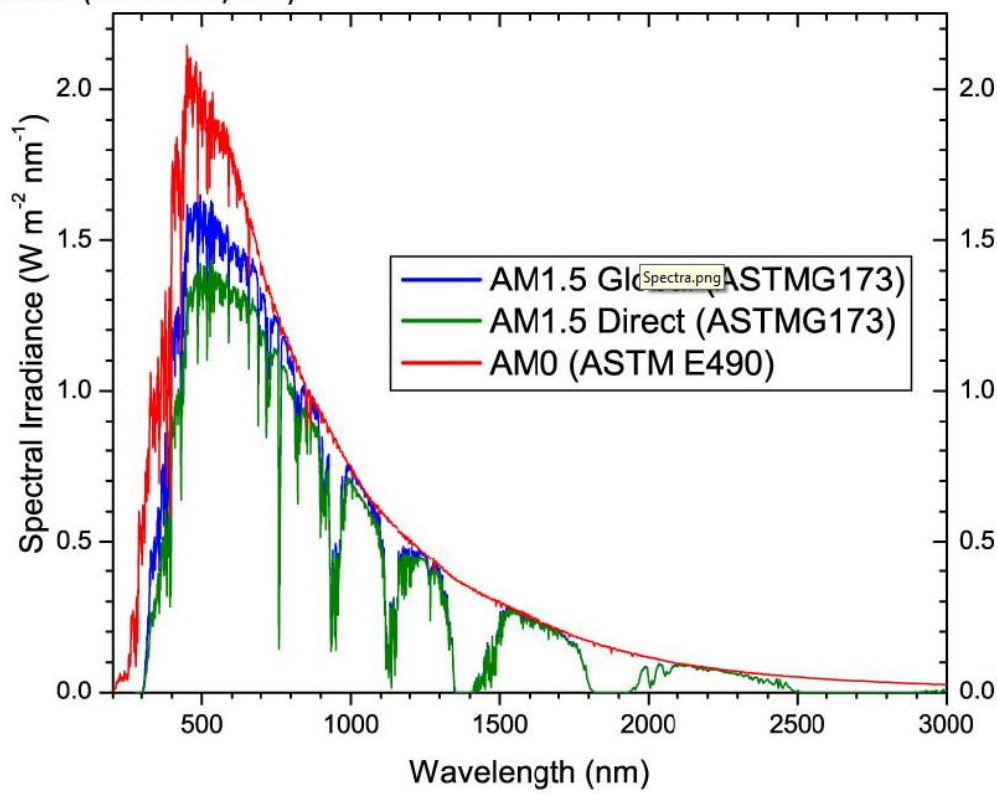
Energia solar disponibila

SOLAR SPECTRUM

AM1.5 Global: Used for testing of Flat Panels (Integrated power intensity: 1000 W/m²)

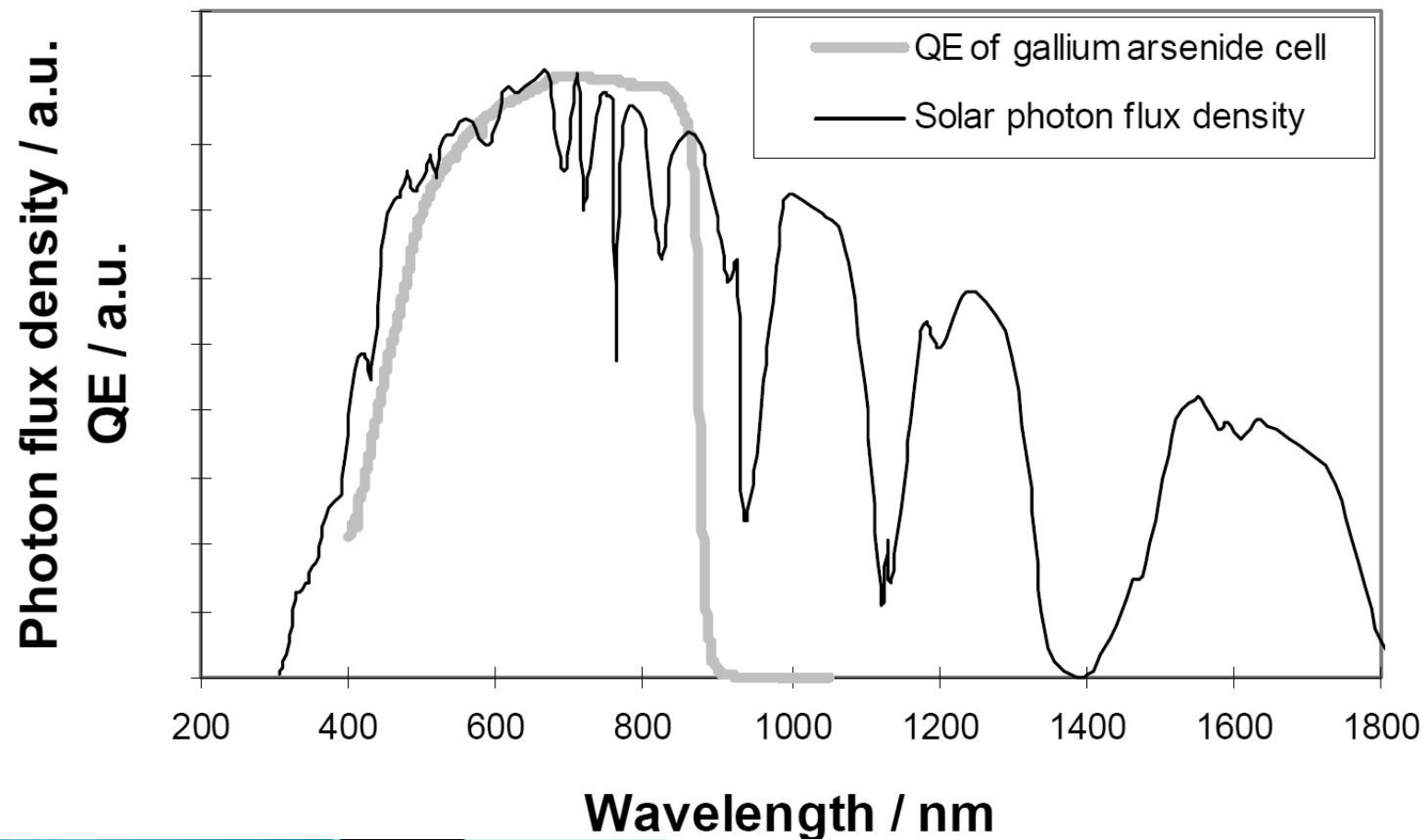
AM1.5 Direct: Used for testing of concentrators (900 W/m²)

AM0: Outer space (1366 W/m²)



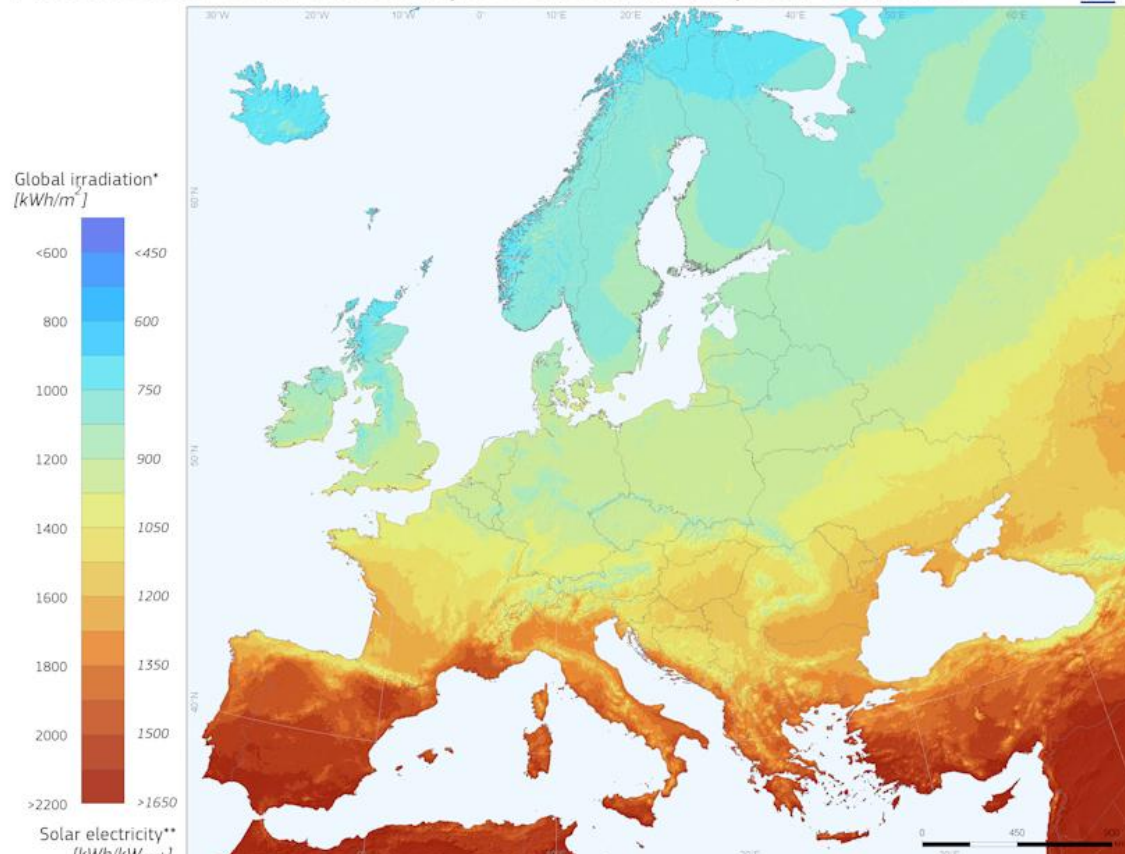
Motivatie eficienta limitata

- ▶ Toate materialele utilizeaza o banda care acopera **doar** partial spectrul solar (ex. GaAs)



Energia solara disponibila

Photovoltaic Solar Electricity Potential in European Countries



* Yearly sum of global irradiation incident on optimally-inclined south-oriented photovoltaic modules

** Yearly sum of solar electricity generated by optimally-inclined 1kW_c system with a performance ratio of 0.75

Authors: Thomas Huld, Irene Pinedo-Pascua
EC - Joint Research Centre
In collaboration with: CM SAF, www.camsaf.eu

Legal notice: Neither the European Commission nor any person acting on behalf of the Commission is responsible for the use which might be made of this publication.

<http://re.jrc.ec.europa.eu/pvnis/>

Energia solară disponibilă



Global irradiation and solar electricity potential

Optimally-inclined photovoltaic modules

ROMANIA / ROMÂNIA



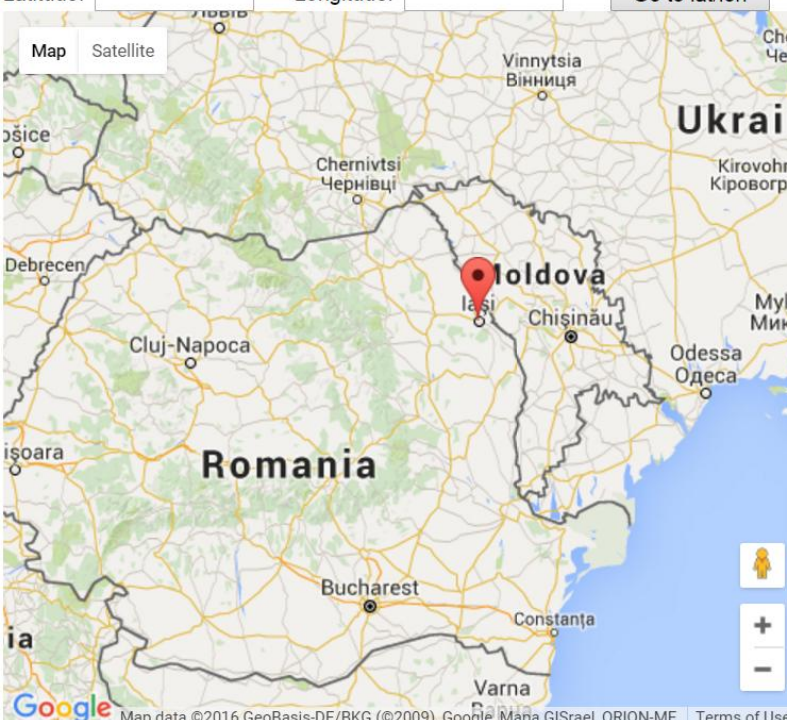
Energia solară disponibilă

JRC
EUROPEAN COMMISSION
CM SAF
Photovoltaic Geographical Information System - Interactive Maps

EUROPA > EC > JRC > IE > RE > SOLAREC > PVGIS > Interactive maps > europe

Contact Important legal notice

cursor position:
46.725, 31.882
selected position:
47.158, 27.601

e.g., "Ispra, Italy" or "45.256N, 16.9589E"
lasi
Search
Latitude: _____ Longitude: _____ Go to lat/lon
Map Satellite

Map data ©2016 GeoBasis-DE/BKG (©2009), Google, Mapa GISrael, ORION-ME | Terms of Use
Solar radiation Temperature Other maps

PV Estimation Monthly radiation Daily radiation Stand-alone PV

Monthly global irradiation data

Radiation database: Climate-SAF PVGIS ▾

Horizontal irradiation
 Irradiation at opt. angle
 Direct normal irradiation
 Irradiation at chosen angle: 90 deg.
 Linke turbidity
 Dif. / global radiation
 Optimal inclination angle

Monthly ambient temperature data

Average daytime temperature
 Daily average of temperature
 Number of heating degree days

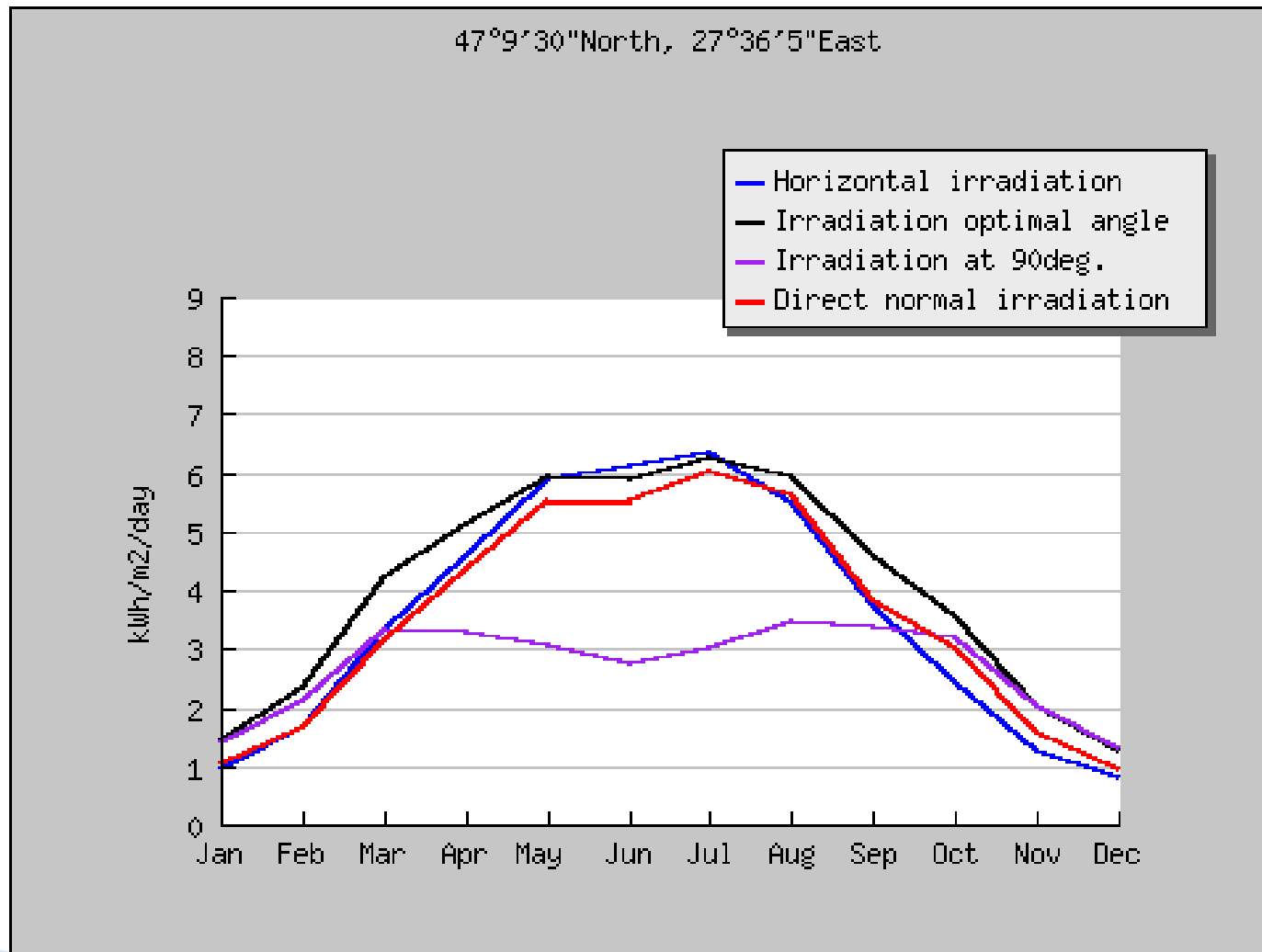
Output options

Show graphs Show horizon
 Web page Text file PDF

Calculate [help]

<http://re.jrc.ec.europa.eu/pvgis/>

Energia solara disponibila – Iasi



Unghi optim de inclinare

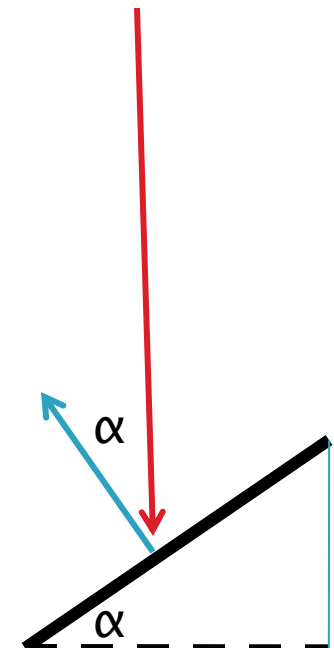
- ▶ Puterea optica depinde de fluxul energetic al luminii incidente si suprafata celulei
 - la **incidenta normală**
 - la **incidenta oarecare**

$$P_o = S \cdot \int_0^{\infty} \Phi_e(\lambda) d\lambda$$

◦ la **incidenta oarecare**

$$\Phi_e(\lambda) = \int_{\Sigma} \vec{S} \cdot \vec{n} dA = |S| \cdot A \cdot \cos \alpha$$

$$\vec{S} = \vec{E} \times \vec{H}$$



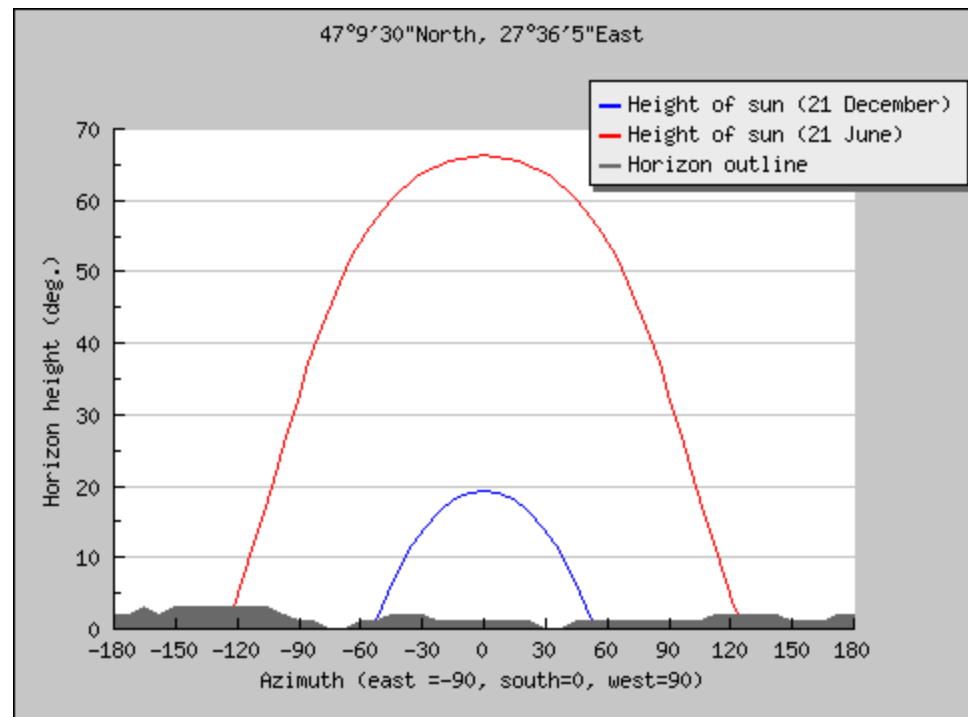
Unghi optim de inclinare

- ▶ Pozitia soarelui este diferita
 - in functie de ora
 - in functie de anotimp

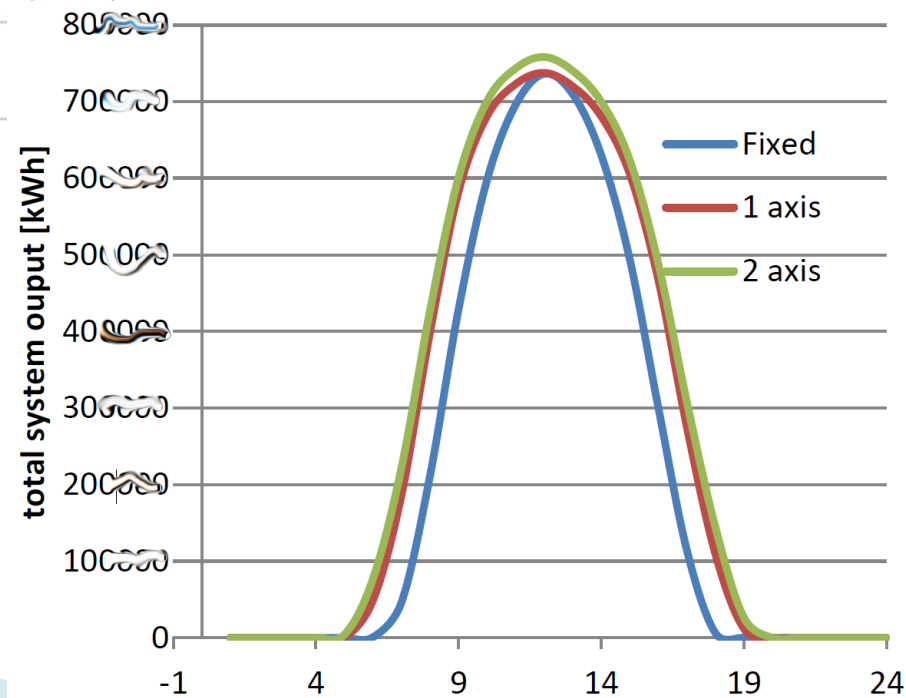
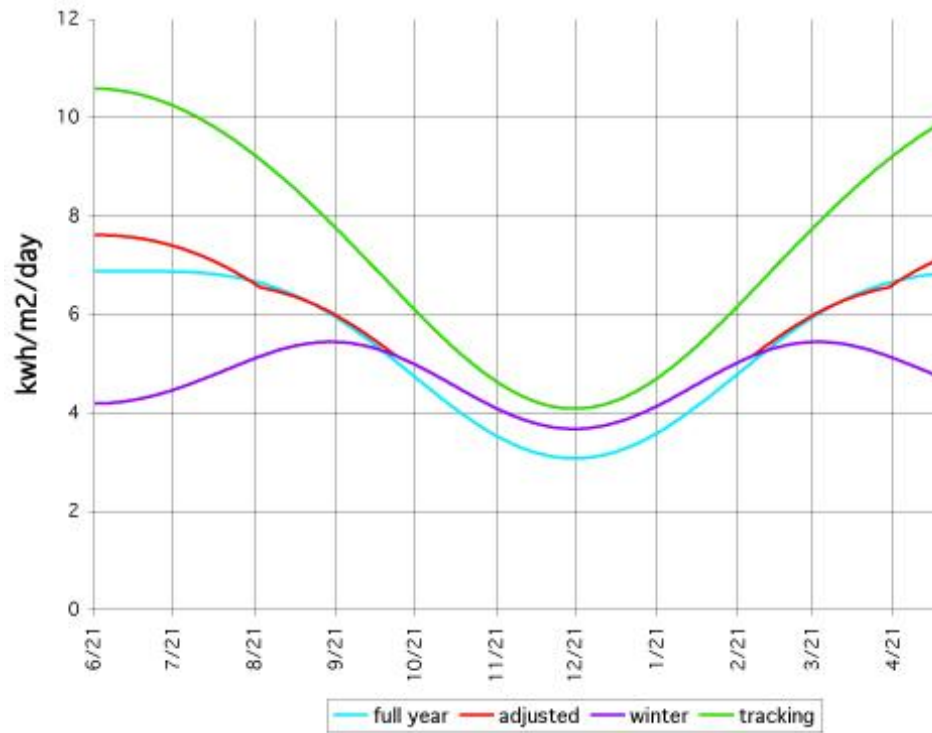


Sisteme de urmarire

- ▶ Sisteme motorizate de urmarire a soarelui
 - o axă
 - două axe
- ▶ Reglaj
 - fix (optim an)
 - două pozitii (anotimp)

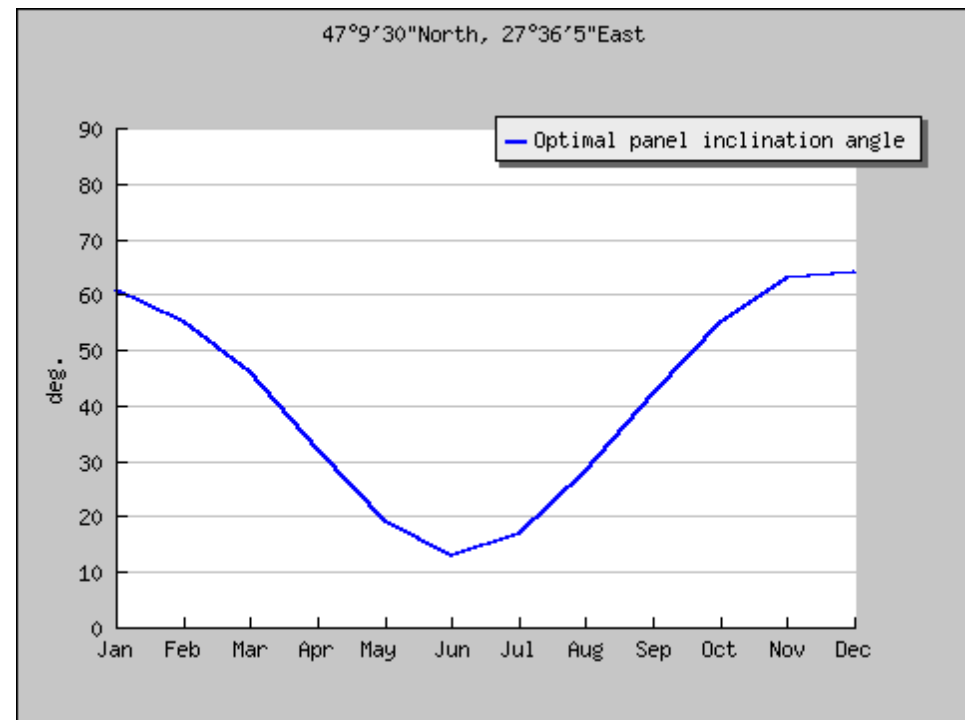


Sisteme de urmarire

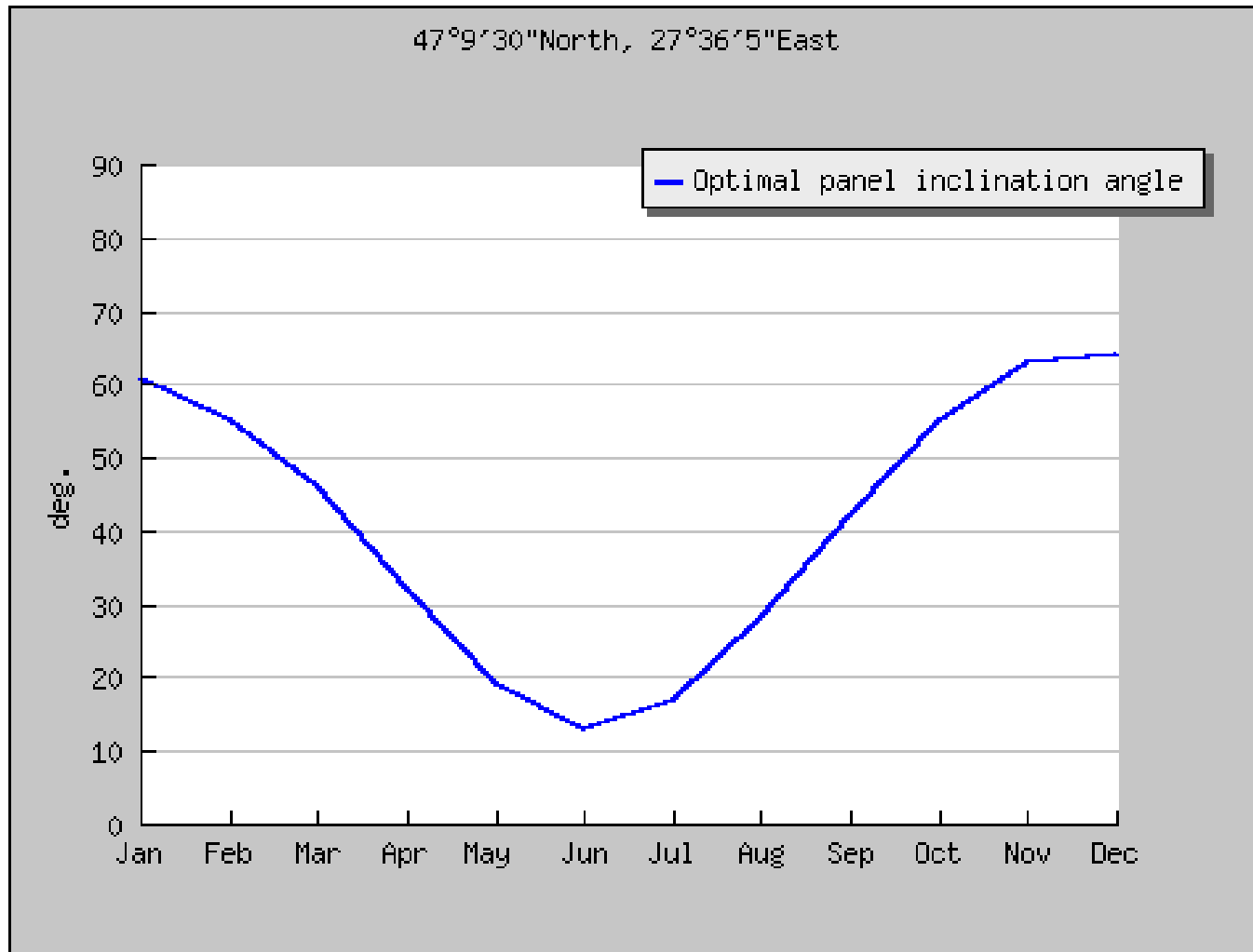


Unghi optim de inclinare

- ▶ Panourile se orienteaza spre sud (**geografic**)
- ▶ Inclinarea pe verticala se poate calcula din considerente
 - geometrice
 - astronomice

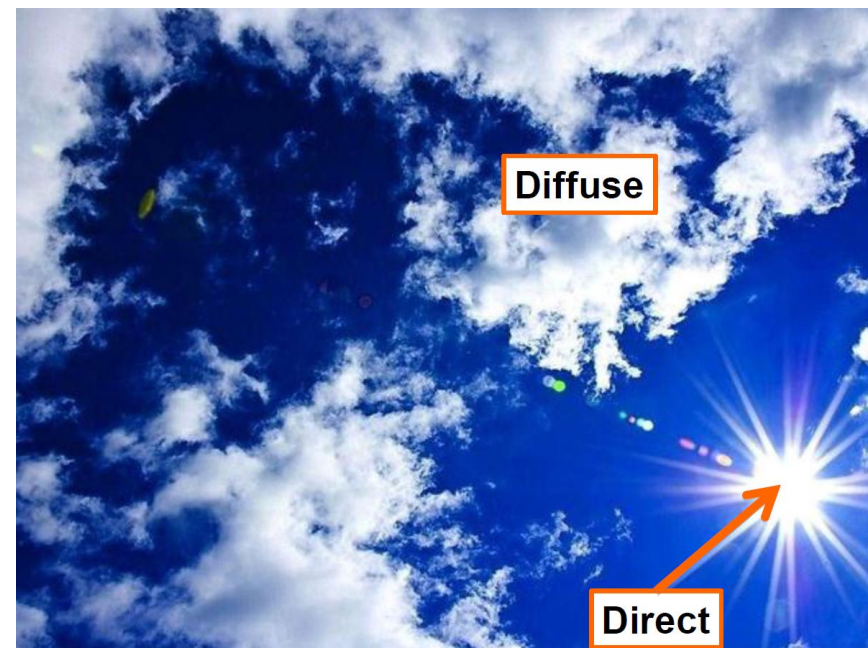
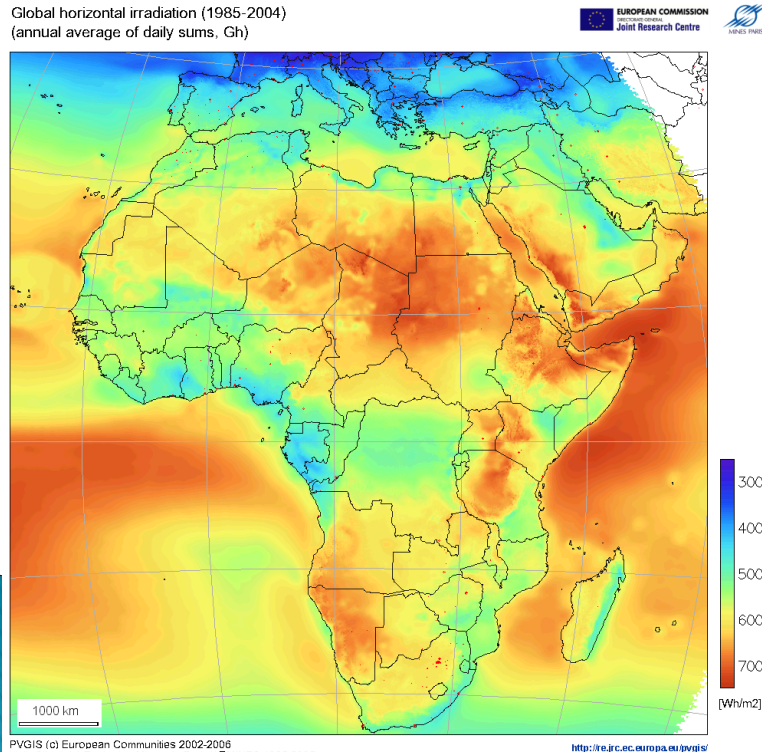


lasi

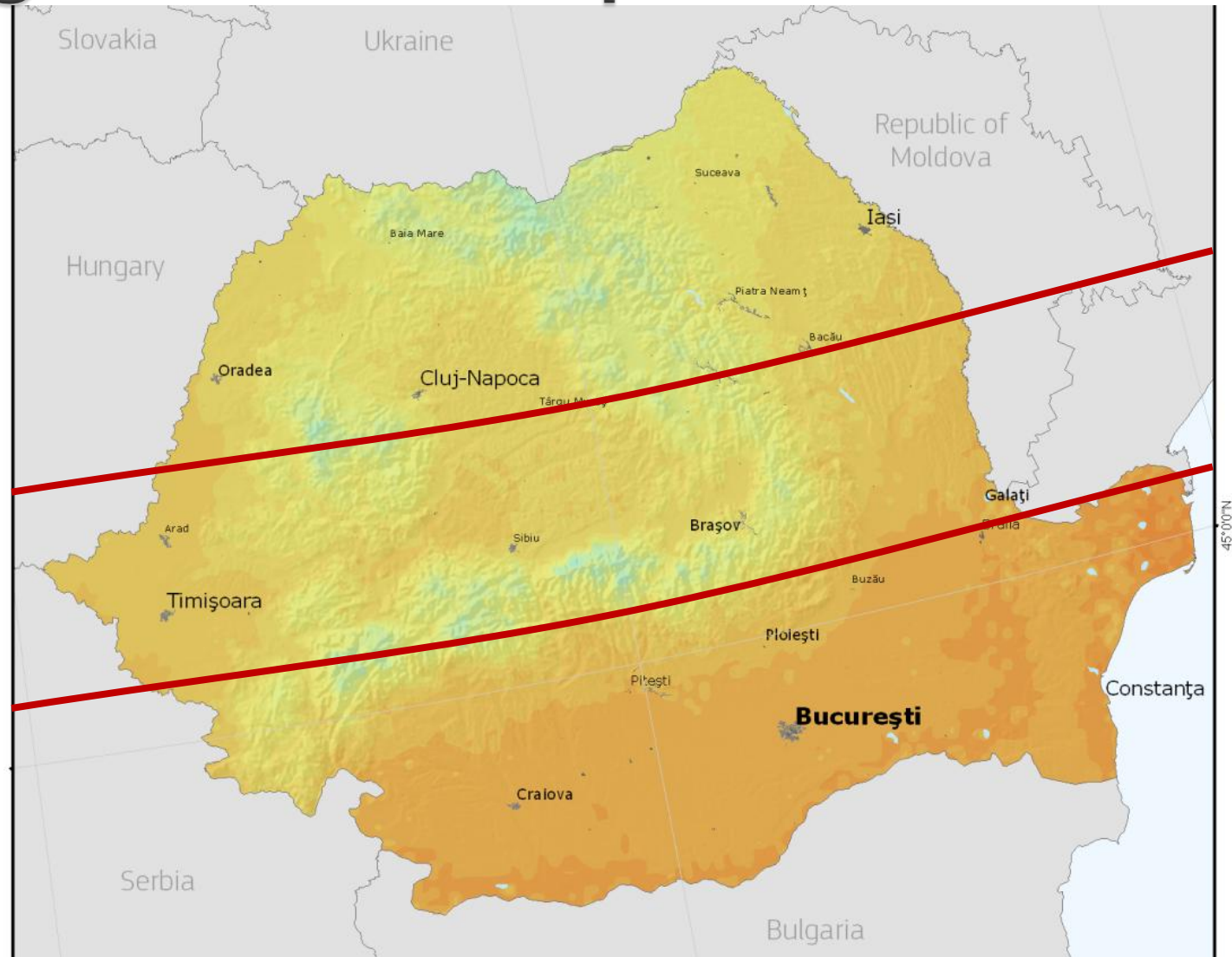


Tip de sistem de urmarire

- ▶ depinde de tipul de sistem solar
 - cu concentrare
 - fara concentrare
- ▶ depinde de conditii meteorologice



Energia solară disponibilă



lasí

Month	H _h	H _{opt}	H(90)	DNI	I _{opt}	T _{24h}
Jan	956	1440	1410	1020	61	-2.5
Feb	1680	2350	2130	1670	55	-1.4
Mar	3310	4210	3330	3150	46	4.0
Apr	4580	5150	3280	4380	32	10.6
May	5900	5960	3070	5530	19	16.7
Jun	6140	5900	2760	5530	13	20.0
Jul	6320	6240	3010	6010	17	22.3
Aug	5470	5960	3460	5630	28	21.4
Sep	3720	4600	3390	3820	42	16.1
Oct	2450	3570	3210	3000	55	10.2
Nov	1260	2000	2010	1600	63	5.5
Dec	802	1280	1310	959	64	-0.8
Year	3560	4070	2700	3540	35	10.2

Mont h	H_h	H_{opt}	$H(90)$	DNI	I_{opt}	T_{24h}
Jan	956	1440	1410	1020	61	-2.5
Feb	1680	2350	2130	1670	55	-1.4
Mar	3310	4210	3330	3150	46	4.0
Apr	4580	5150	3280	4380	32	10.6
May	5900	5960	3070	5530	19	16.7
Jun	6140	5900	2760	5530	13	20.0
Jul	6320	6240	3010	6010	17	22.3
Aug	5470	5960	3460	5630	28	21.4
Sep	3720	4600	3390	3820	42	16.1
Oct	2450	3570	3210	3000	55	10.2
Nov	1260	2000	2010	1600	63	5.5
Dec	802	1280	1310	959	64	-0.8
Year	3560	4070	2700	3540	35	10.2

H_h : Irradiation on horizontal plane (Wh/m²/day)

H_{opt} : Irradiation on optimally inclined plane (Wh/m²/day)

$H(90)$: Irradiation on plane at angle: 90deg. (Wh/m²/day)

DNI: Direct normal irradiation (Wh/m²/day)

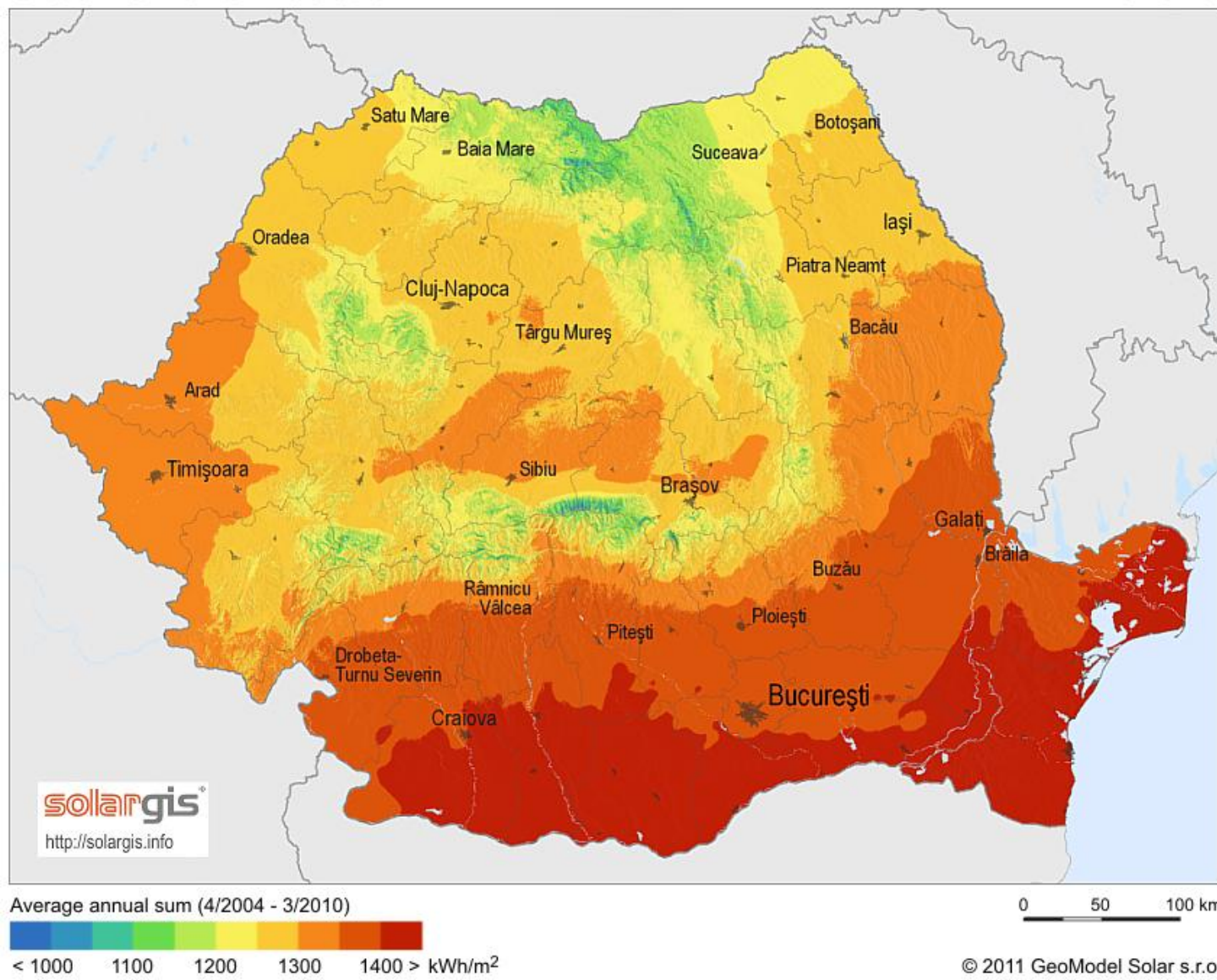
I_{opt} : Optimal inclination (deg.)

T_{24h} : 24 hour average of temperature (°C)

Romania

Global horizontal irradiation

Romania



Contact

- ▶ Laboratorul de microunde si optoelectronica
- ▶ <http://rf-opto.eti.tuiasi.ro>
- ▶ rdamian@etti.tuiasi.ro

- ▶ <http://ocw.mit.edu/>
- ▶ MIT Course Number 2.627
- ▶ Fundamentals of Photovoltaics

- ▶ <http://re.jrc.ec.europa.eu/pvgis/>
- ▶ <http://www.pveducation.org/>